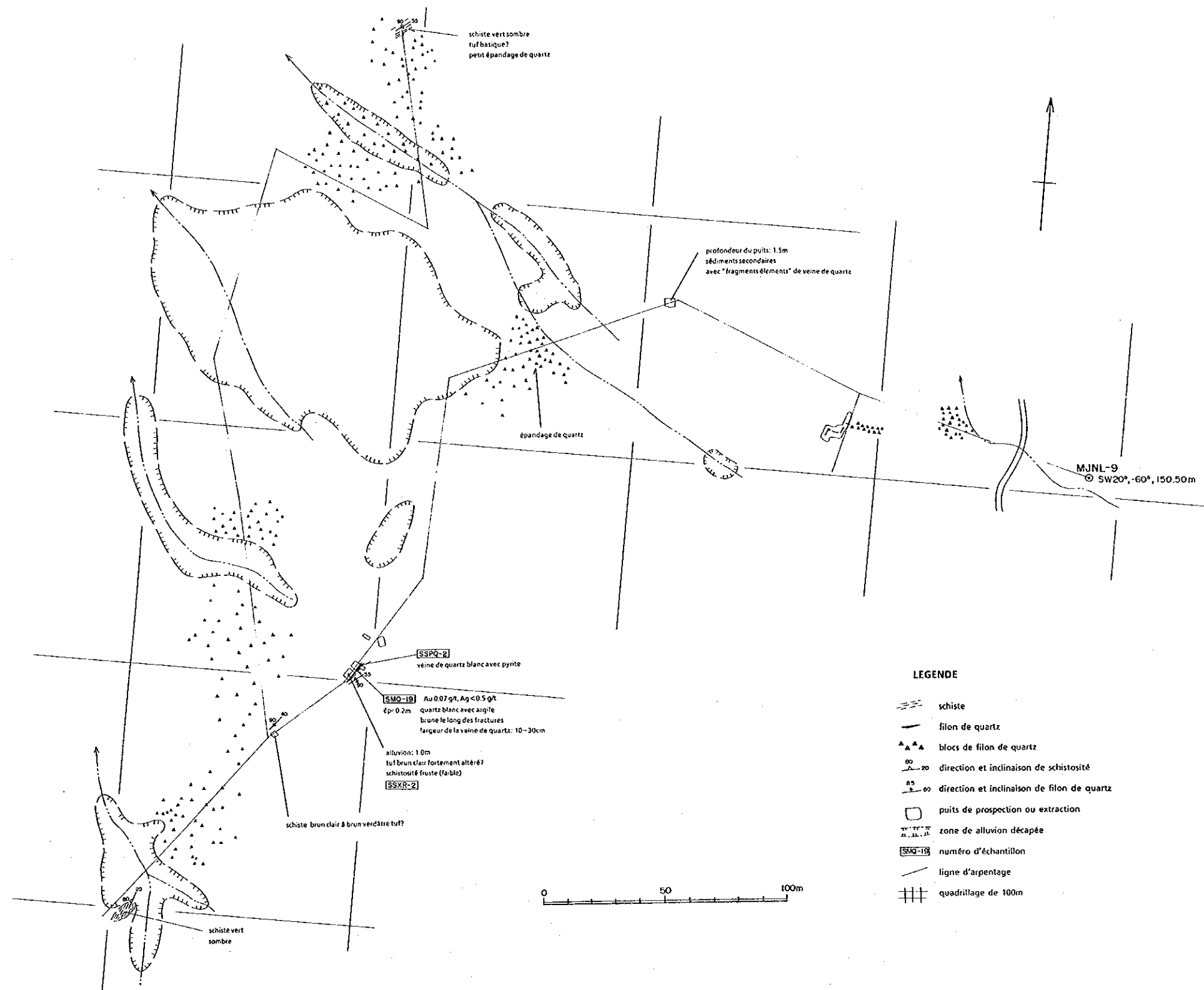
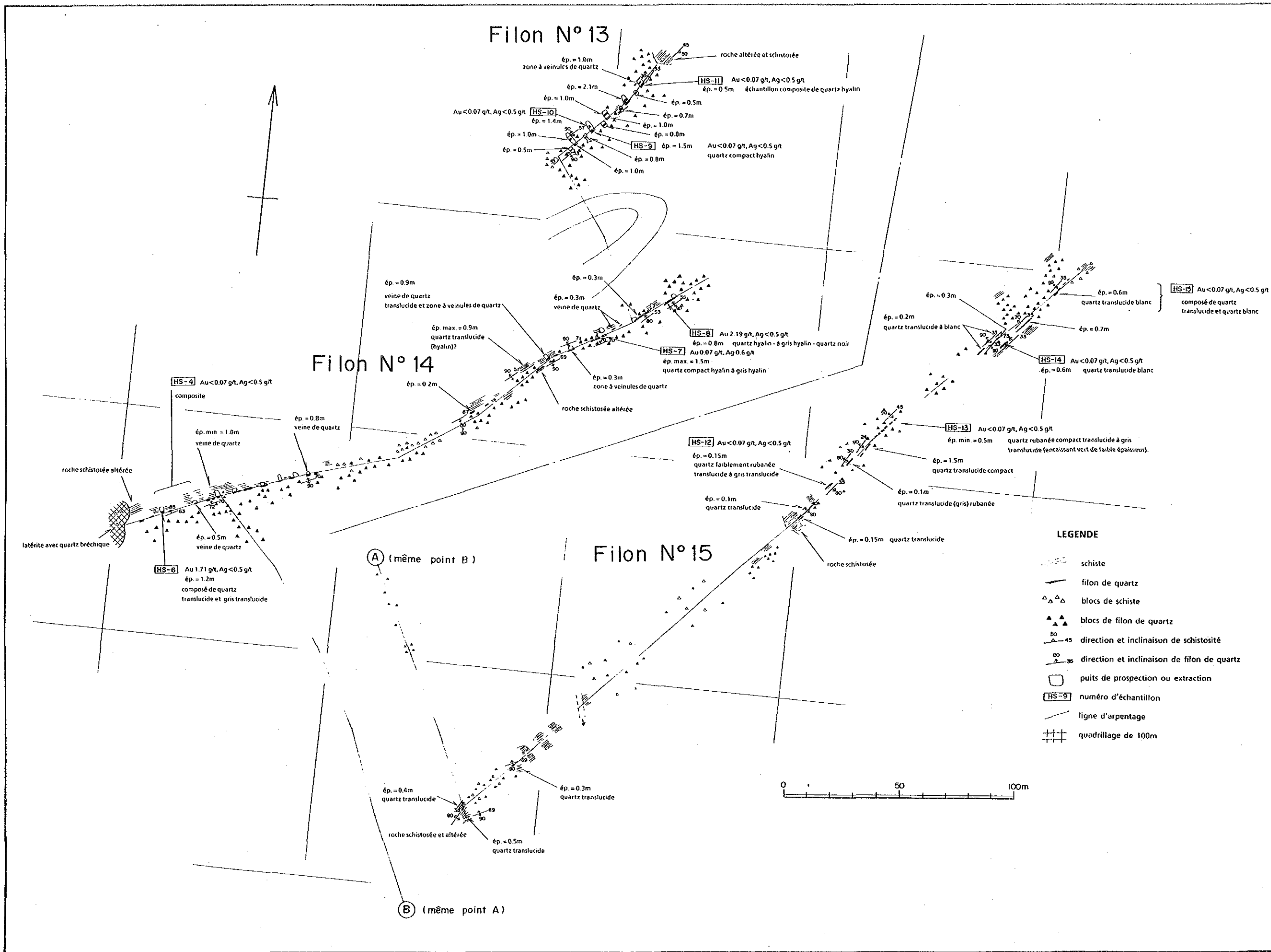




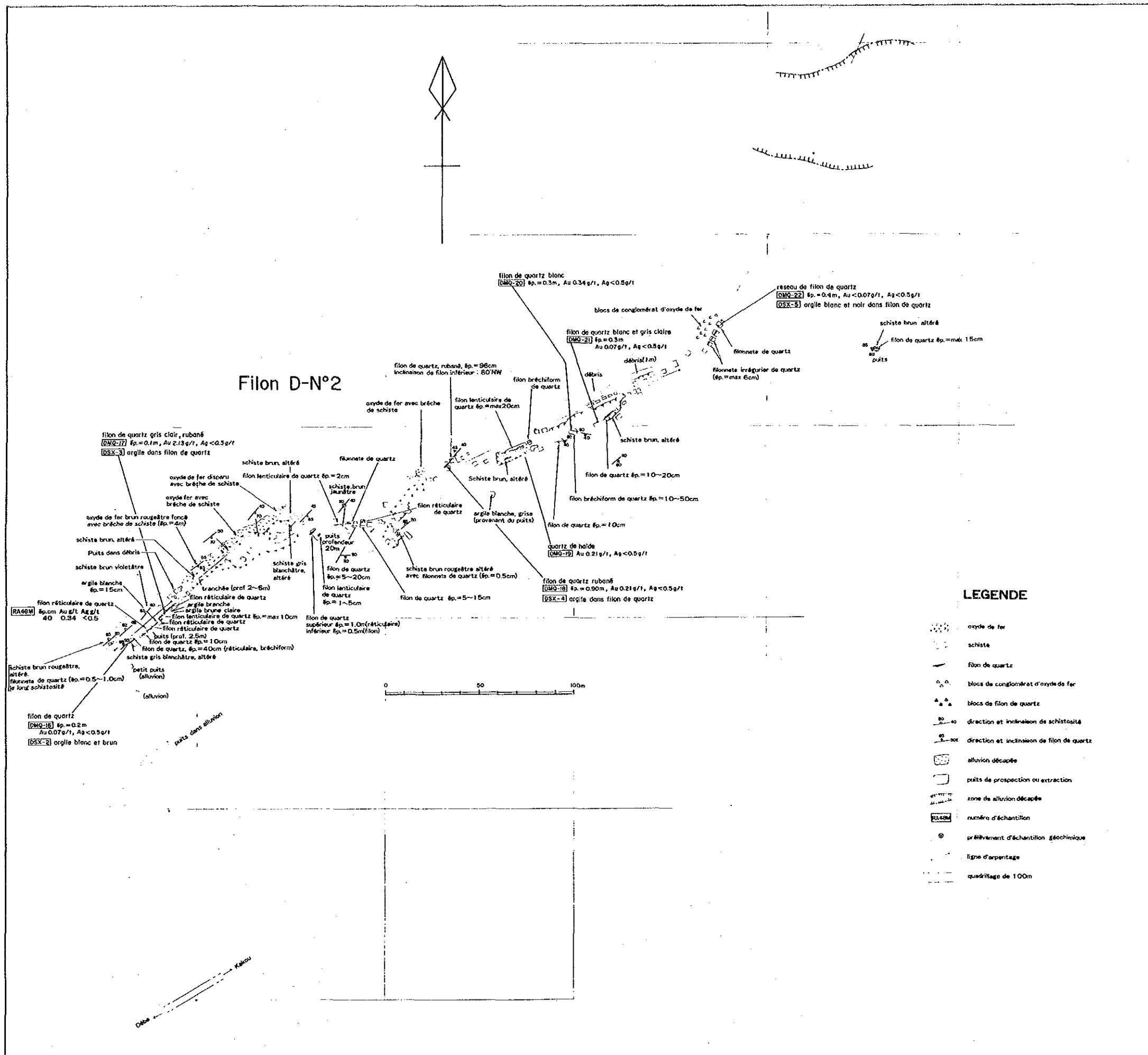
Ap.22 Croquis géologique de gisement de Séfa Nangue (Filon No 11)



Apc.23 Esquisse des zones des blocs de quartz ouest du filon N° 7



Apc.24 Croquis géologique de gisement de Séfa Nangue (Filon N° 13~15) A-99



Apc.25 Croquis géologique de gisement de Déba (Filon D-N° 2) A-101

Apc.27 Résultat d'analyse des minerais en surface

Apc.27(1) Résultat d'analyse des minerais en surface

Nu- mero	Echan- tillon	Coordonnees		A u (g/t)	A g (g/t)	C u (%)	P b (%)	Z n (%)	Secteurs	
		Latitude	Longitude							
1	LIF	1	13' 24. 28'	1' 14. 99'	0. 14	<0. 5	<0. 01	<0. 01	<0. 01	Libiri
2		3	"	"	0. 82	<0. 5	0. 01	0. 01	0. 01	"
3		6	13' 24. 22'	1' 15. 03'	<0. 07	<0. 5	<0. 01	<0. 01	<0. 01	"
4		8	13' 24. 18'	1' 15. 04'	<0. 07	<0. 5	<0. 01	<0. 01	<0. 01	"
5		9	13' 24. 14'	1' 15. 06'	1. 10	<0. 5	0. 01	<0. 01	<0. 01	"
6		10	"	"	0. 48	0. 5	0. 01	<0. 01	<0. 01	"
7		11	"	"	2. 40	0. 5	<0. 01	<0. 01	<0. 01	"
8		12	"	"	11. 90	1. 3	<0. 01	0. 01	<0. 01	"
9		13	"	"	0. 34	0. 6	<0. 01	<0. 01	<0. 01	"
10		14	"	"	1. 65	0. 6	<0. 01	<0. 01	<0. 01	"
11		15	"	"	0. 75	0. 5	<0. 01	<0. 01	<0. 01	"
12	LRZ	4	13' 22. 86'	1' 15. 62'	0. 14	<0. 5	<0. 01	<0. 01	<0. 01	"
13		5	13' 22. 86'	1' 15. 62'	1. 37	<0. 5	<0. 01	<0. 01	<0. 01	"
14		6	13' 24. 66'	1' 14. 87'	0. 07	<0. 5	<0. 01	<0. 01	<0. 01	"
15	MAG	1	13' 26. 13'	1' 17. 37'	1. 03	<0. 5	<0. 01	<0. 01	0. 01	"
16		2	"	"	0. 21	<0. 5	0. 01	<0. 01	0. 01	"
17		3	"	"	0. 07	<0. 5	<0. 01	<0. 01	<0. 01	"
18		4	"	"	1. 58	<0. 5	<0. 01	<0. 01	<0. 01	"
19		5	"	"	0. 41	<0. 5	0. 01	<0. 01	0. 01	"
20		6	"	"	0. 69	<0. 5	0. 01	<0. 01	0. 02	"
21	MAC	21	13' 26. 15'	1' 17. 39'	0. 21	<0. 5	0. 01	<0. 01	0. 01	"
22	KUG	8	13' 27. 56'	1' 16. 62'	7. 05	2. 6	<0. 01	<0. 01	0. 04	"
23		9	"	"	2. 06	<0. 5	0. 02	<0. 01	0. 02	"
24		11	13' 27. 65'	1' 16. 68'	<0. 07	<0. 5	<0. 01	<0. 01	<0. 01	"
25		12	"	"	<0. 07	<0. 5	0. 01	<0. 01	0. 02	"
26		13	"	"	0. 07	<0. 5	0. 01	<0. 01	0. 04	"
27	TWG	15	13' 29. 55'	1' 17. 07'	0. 14	<0. 5	<0. 01	<0. 01	<0. 01	"
28		17	"	"	1. 10	<0. 5	0. 01	<0. 01	<0. 01	"
29		18	"	"	0. 07	<0. 5	<0. 01	<0. 01	<0. 01	"
30	TCC	40	13' 29. 11'	1' 19. 50'	0. 07	<0. 5	0. 01	<0. 01	<0. 01	"
31		41	13' 29. 05'	1' 19. 33'	4. 59	1. 6	<0. 01	<0. 01	<0. 01	"
32		42	"	"	3. 43	1. 4	0. 02	<0. 01	0. 01	"
33		44	13' 29. 04'	1' 19. 28'	0. 07	<0. 5	<0. 01	<0. 01	<0. 01	"
34	LRA	17	13' 22. 76'	1' 15. 64'	<0. 07	<0. 5	<0. 01	<0. 01	<0. 01	"
35		41	13' 31. 90'	1' 17. 50'	<0. 07	<0. 5	<0. 01	<0. 01	<0. 01	"
36	LRB	1	13' 29. 71'	1' 19. 63'	<0. 07	<0. 5	<0. 01	<0. 01	<0. 01	"

Apç.27(2) Résultat d'analyse des minerais en surface

Nu- mero	Echan- tillon	Coordonnees		A u (g/t)	A g (g/t)	C u (%)	P b (%)	Z n (%)	Secteurs	
		Latitede	Longitude							
37	LRC	1	13' 30.10'	1' 18.51'	<0.07	<0.5	<0.01	<0.01	<0.01	Libiri
38		5	13' 27.47'	1' 18.29'	<0.07	<0.5	<0.01	<0.01	0.05	"
39		9	13' 29.92'	1' 15.86'	<0.07	<0.5	<0.01	<0.01	<0.01	"
40		13	13' 27.29'	1' 15.08'	<0.07	<0.5	<0.01	<0.01	<0.01	"
41		14	13' 27.02'	1' 14.28'	<0.07	<0.5	<0.01	<0.01	<0.01	"
42		15	13' 27.03'	1' 15.53'	<0.07	<0.5	<0.01	<0.01	<0.01	"
43		22	13' 26.43'	1' 22.18'	<0.07	<0.5	<0.01	<0.01	<0.01	"
44		24	13' 26.17'	1' 22.36'	<0.07	<0.5	<0.01	<0.01	<0.01	"
45	LAZ	9	13' 28.06'	1' 16.65'	<0.07	<0.5	<0.01	<0.01	<0.01	"
46		11	13' 30.10'	1' 18.44'	0.07	<0.5	<0.01	<0.01	<0.01	"
47		15	13' 28.21'	1' 19.42'	<0.07	<0.5	<0.01	<0.01	<0.01	"
48		20	13' 23.46'	1' 16.51'	<0.07	<0.5	<0.01	<0.01	<0.01	"
49		27	13' 23.58'	1' 15.05'	0.07	<0.5	<0.01	<0.01	<0.01	"
50	NRA	4	13' 2.12'	1' 24.27'	0.07	<0.5	<0.01	<0.01	<0.01	Tambolé
51		9	13' 0.84'	1' 22.33'	<0.07	<0.5	<0.01	<0.01	<0.01	"
52		11	13' 0.04'	1' 21.63'	<0.07	<0.5	<0.01	<0.01	<0.01	"
53		14	13' 1.67'	1' 22.77'	<0.07	<0.5	<0.01	<0.01	<0.01	"
54		16	13' 2.56'	1' 23.41'	<0.07	<0.5	<0.01	<0.01	<0.01	"
55		50	13' 2.49'	1' 22.84'	<0.07	<0.5	<0.01	<0.01	<0.01	"
56		52	13' 2.52'	1' 22.46'	<0.07	<0.5	<0.01	<0.01	<0.01	"
57		53	13' 2.95'	1' 22.91'	<0.07	<0.5	<0.01	<0.01	<0.01	"
58		56	12' 54.53'	1' 20.17'	<0.07	<0.5	<0.01	<0.01	<0.01	"
59		60	13' 6.52'	1' 15.16'	<0.07	<0.5	<0.01	<0.01	<0.01	Nasile
60		70	13' 2.36'	1' 25.41'	<0.07	<0.5	<0.01	<0.01	<0.01	Tambolé
61		71	"	"	<0.07	<0.5	<0.01	<0.01	<0.01	"
62		82	12' 57.14'	1' 10.89'	<0.07	<0.5	<0.01	<0.01	<0.01	Nasile
63		90	12' 56.27'	1' 19.60'	<0.07	<0.5	<0.01	<0.01	<0.01	Tambolé
64		100	13' 2.69'	1' 25.63'	<0.07	<0.5	<0.01	<0.01	<0.01	"
65		101	13' 2.91'	1' 25.45'	0.21	0.5	<0.01	<0.01	<0.01	"
66		200	13' 4.13'	1' 19.34'	<0.07	<0.5	<0.01	0.02	<0.01	Nasile
67	NRA	201	13' 4.13'	1' 19.34'	<0.07	<0.5	<0.01	<0.01	<0.01	"
68		203	"	"	<0.07	<0.5	<0.01	<0.01	<0.01	"
69		204	"	"	<0.07	<0.5	<0.01	<0.01	<0.01	"
70		205	"	"	<0.07	<0.5	<0.01	<0.01	<0.01	"
71		206	"	"	<0.07	<0.5	<0.01	<0.01	<0.01	"
72		212	13' 01.63'	1' 22.85'	<0.07	<0.5	<0.01	<0.01	<0.01	Tambolé

Apc.27(3) Résultat d'analyse des minerais en surface

Nu- mero	Echan- tillon	Coordonnees		A u (g/t)	A g (g/t)	C u (%)	P b (%)	Z n (%)	Secteurs
		Latituede	Longitude						
73	NRA 230	12' 54.55'	1' 20.54'	<0.07	<0.5	<0.01	<0.01	<0.01	Tambolé
74	231	12' 54.54'	1' 20.61'	<0.07	<0.5	<0.01	<0.01	<0.01	"
75	302	13' 3.01'	1' 27.58'	<0.07	<0.5	<0.01	<0.01	<0.01	"
76	307	13' 2.55'	1' 27.60'	<0.07	<0.5	<0.01	0.01	<0.01	"
77	308	13' 2.33'	1' 27.64'	<0.07	<0.5	<0.01	<0.01	<0.01	"
78	310	13' 2.31'	1' 27.75'	<0.07	<0.5	<0.01	<0.01	<0.01	"
79	311	13' 2.94'	1' 27.81'	<0.07	<0.5	<0.01	<0.01	<0.01	"
80	324	13' 0.55'	1' 28.19'	<0.07	<0.5	<0.01	<0.01	<0.01	"
81	325	13' 0.53'	1' 28.29'	<0.07	<0.5	<0.01	<0.01	<0.01	"
82	326	13' 0.29'	1' 28.33'	<0.07	<0.5	<0.01	<0.01	<0.01	"
83	400	13' 21.96'	1' 26.94'	<0.07	<0.5	<0.01	<0.01	<0.01	Allaréni
84	401	13' 26.87'	1' 25.83'	<0.07	<0.5	<0.01	<0.01	<0.01	"
85	403	13' 22.42'	1' 26.95'	<0.07	<0.5	<0.01	<0.01	<0.01	"
86	NRB 1	13' 7.52'	1' 21.66'	0.07	0.9	<0.01	<0.01	<0.01	Nasile
87	7	13' 3.74'	1' 18.46'	<0.07	<0.5	<0.01	<0.01	<0.01	"
88	13	12' 56.90'	1' 17.82'	<0.07	<0.5	<0.01	<0.01	<0.01	Tambolé
89	20	12' 59.36'	1' 25.22'	<0.07	<0.5	<0.01	<0.01	<0.01	"
90	21	12' 59.10'	1' 25.50'	<0.07	<0.5	<0.01	<0.01	<0.01	"
91	22	13' 2.14'	1' 26.47'	<0.07	<0.5	0.01	<0.01	<0.01	"
92	23	13' 1.19'	1' 26.58'	<0.07	<0.5	<0.01	<0.01	<0.01	"
93	28	13' 31.43'	1' 32.79'	<0.07	<0.5	<0.01	<0.01	<0.01	Allaréni
94	NRC 1	13' 13.41'	1' 26.27'	<0.07	<0.5	<0.01	<0.01	<0.01	"
95	3	13' 15.26'	1' 27.22'	<0.07	<0.5	<0.01	<0.01	<0.01	"
96	4	13' 5.21'	1' 23.36'	<0.07	<0.5	<0.01	<0.01	<0.01	Nasile
97	8	13' 10.56'	1' 26.76'	<0.07	<0.5	<0.01	<0.01	<0.01	Allaréni
98	10	13' 3.23'	1' 21.55'	<0.07	<0.5	<0.01	<0.01	<0.01	Nasile
99	18	13' 1.97'	1' 24.13'	<0.07	<0.5	<0.01	<0.01	<0.01	Tambolé
100	NRC 19	13' 1.97'	1' 24.13'	<0.07	<0.5	<0.01	<0.01	<0.01	"
101	20	"	"	<0.07	<0.5	<0.01	<0.01	<0.01	"
102	21	"	"	<0.07	<0.5	<0.01	<0.01	<0.01	"
103	30	12' 58.60'	1' 17.50'	<0.07	<0.5	<0.01	<0.01	<0.01	Nasile
104	33	12' 58.73'	1' 24.75'	<0.07	<0.5	<0.01	<0.01	<0.01	Tambolé
105	36	12' 58.43'	1' 23.43'	<0.07	<0.5	<0.01	<0.01	<0.01	"
106	37	12' 59.06'	1' 22.68'	<0.07	<0.5	<0.01	<0.01	<0.01	"
107	38	12' 58.18'	1' 22.44'	<0.07	<0.5	<0.01	<0.01	<0.01	"
108	40	12' 57.19'	1' 23.69'	<0.07	<0.5	<0.01	<0.01	<0.01	"

Apc.27(4) Résultat d'analyse des minerais en surface

Nu- merc	Echan- tillon	Coordonnees		A u (g/t)	A g (g/t)	C u (%)	P b (%)	Z n (%)	Secteurs	
		Latitude	Longitude							
109	NRC	45	13' 16.66'	1' 27.48'	<0.07	<0.5	<0.01	<0.01	<0.01	Allaréni
110		46	13' 18.85'	1' 25.77'	<0.07	<0.5	<0.01	<0.01	<0.01	"
111		47	13' 13.09'	1' 25.35'	<0.07	<0.5	0.01	<0.01	<0.01	"
112		48	13' 26.20'	1' 28.21'	<0.07	<0.5	<0.01	<0.01	<0.01	"
113		49	13' 27.85'	1' 27.09'	<0.07	<0.5	<0.01	<0.01	<0.01	"
114		52	13' 28.83'	1' 26.35'	<0.07	<0.5	<0.01	<0.01	<0.01	"
115		54	13' 33.22'	1' 31.98'	<0.07	<0.5	<0.01	<0.01	<0.01	"
116	NRF	3	13' 10.23'	1' 25.69'	<0.07	<0.5	<0.01	<0.01	<0.01	"
117		4	13' 08.33'	1' 21.08'	<0.07	<0.5	<0.01	<0.01	<0.01	Nasile
118		8	12' 52.89'	1' 19.33'	<0.07	<0.5	<0.01	<0.01	<0.01	Tambolé
119		9	12' 59.45'	1' 26.96'	<0.07	<0.5	<0.01	<0.01	<0.01	"
120	NRG	2	13' 06.84'	1' 24.48'	<0.07	<0.5	<0.01	<0.01	<0.01	Nasile
121		3	13' 04.64'	1' 23.39'	<0.07	<0.5	<0.01	<0.01	<0.01	"
122		10	13' 26.79'	1' 33.15'	0.07	<0.5	0.02	<0.01	<0.01	Allaréni
123	NRJ	25	13' 16.60'	1' 24.28'	0.07	<0.5	<0.01	<0.01	0.01	"
124		32	13' 16.67'	1' 23.02'	<0.07	<0.5	<0.01	<0.01	<0.01	"
125		34	13' 22.48'	1' 29.59'	<0.07	<0.5	<0.01	<0.01	<0.01	"
126	NRH	1	13' 15.63'	1' 27.26'	<0.07	<0.5	<0.01	<0.01	<0.01	"
127		5	13' 14.40'	1' 28.06'	<0.07	<0.5	<0.01	<0.01	<0.01	"
128	I -1	A	13' 15.92'	1' 3.67'	0.21	<0.5	0.02	<0.01	0.01	Séfa Nangue
129		B	"	"	1.30	<0.5	0.02	<0.01	0.01	"
130		C	"	"	0.41	<0.5	<0.01	<0.01	<0.01	"
131		D	"	"	2.74	<0.5	<0.01	<0.01	0.01	"
132		E	"	"	0.14	<0.5	<0.01	<0.01	<0.01	"
133		F	"	"	0.07	<0.5	<0.01	<0.01	<0.01	"
134		G	"	"	1.92	<0.5	<0.01	<0.01	<0.01	"
135	I -2	A	13' 15.93'	1' 3.74'	0.41	<0.5	0.01	<0.01	0.02	"
136		B	"	"	0.55	<0.5	<0.01	<0.01	<0.01	"
137		C	"	"	4.42	1.9	0.02	<0.01	0.01	"
138		D	"	"	0.41	<0.5	<0.01	<0.01	<0.01	"
139		E	"	"	0.48	<0.5	0.01	<0.01	0.02	"
140		F	"	"	0.75	<0.5	0.02	<0.01	0.02	"
141		G	"	"	0.34	<0.5	<0.01	<0.01	<0.01	"
142		H	"	"	1.30	0.5	0.01	<0.01	0.01	"
143		I	"	"	0.75	<0.5	<0.01	<0.01	<0.01	"
144		J	"	"	0.75	0.6	0.02	<0.01	0.02	"

Apc.27(5) Résultat d'analyse des minerais en surface

Nu- mero	Echan- tillon	Coordonnees		A u (g/t)	A g (g/t)	C u (%)	P b (%)	Z n (%)	Secteurs
		Latitude	Longitude						
145	1-3-A	13' 15.92'	1' 3.52'	1.65	<0.5	0.01	<0.01	0.01	Séfa Nangue
146	B	"	"	0.41	<0.5	<0.01	<0.01	<0.01	"
147	C	"	"	1.10	<0.5	<0.01	<0.01	<0.01	"
148	D	"	"	2.06	<0.5	0.01	<0.01	0.02	"
149	E	"	"	1.78	<0.5	<0.01	<0.01	<0.01	"
150	F	"	"	6.89	<0.5	0.01	<0.01	0.01	"
151	G	"	"	0.69	<0.5	<0.01	<0.01	<0.01	"
152	H	"	"	2.13	<0.5	<0.01	<0.01	<0.01	"
153	I	"	"	0.82	<0.5	0.01	<0.01	0.02	"
154	J	"	"	3.43	0.7	<0.01	<0.01	<0.01	"
155	K	"	"	3.84	0.5	<0.01	<0.01	<0.01	"
156	1-4-A	13' 15.92'	1' 3.54'	2.33	<0.5	<0.01	<0.01	<0.01	"
157	B	"	"	1.99	<0.5	0.01	<0.01	0.01	"
158	C	"	"	5.55	1.0	<0.01	<0.01	<0.01	"
159	2-1-A	13' 16.02'	1' 3.37'	0.34	<0.5	<0.01	<0.01	<0.01	"
160	B	"	"	1.44	<0.5	<0.01	<0.01	<0.01	"
161	3-1-A	13' 16.07'	1' 3.46'	0.07	<0.5	0.01	<0.01	<0.01	"
162	B	"	"	<0.07	<0.5	0.01	<0.01	<0.01	"
163	C	"	"	0.07	<0.5	0.01	<0.01	<0.01	"
164	4-1-A	13' 15.87'	1' 3.47'	1.44	<0.5	0.01	<0.01	0.01	"
165	B	"	"	0.41	<0.5	0.01	<0.01	<0.01	"
166	C	"	"	4.18	<0.5	<0.01	<0.01	<0.01	"
167	D	"	"	12.40	0.5	0.01	<0.01	0.01	"
168	E	"	"	0.89	<0.5	<0.01	<0.01	<0.01	"
169	F	"	"	7.35	<0.5	0.03	<0.01	0.02	"
170	G	"	"	0.96	<0.5	<0.01	<0.01	<0.01	"
171	H	"	"	0.62	<0.5	<0.01	<0.01	<0.01	"
172	I	"	"	0.55	<0.5	<0.01	<0.01	<0.01	"
173	4-2-A	13' 15.87'	1' 3.46'	0.27	<0.5	<0.01	<0.01	<0.01	"
174	B	"	"	0.55	<0.5	<0.01	<0.01	<0.01	"
175	C	"	"	2.67	<0.5	<0.01	<0.01	<0.01	"
176	D	"	"	8.61	0.7	<0.01	<0.01	<0.01	"
177	E	"	"	3.29	<0.5	<0.01	<0.01	<0.01	"
178	5-1-A	13' 15.86'	1' 3.53'	0.55	<0.5	0.01	<0.01	0.02	"
179	B	"	"	1.71	<0.5	<0.01	<0.01	<0.01	"
180	C	"	"	2.47	<0.5	0.02	<0.01	0.02	"

Apc.27(6) Résultat d'analyse des minerais en surface

Nu- mero	Echan- tillon	Coordonnees		A u (g/t)	A g (g/t)	C u (%)	P b (%)	Z n (%)	Secteurs
		Latituede	Longitude						
181	5-1-D	13' 15.86'	1' 3.53'	0.82	<0.5	<0.01	<0.01	<0.01	Séfa Nangue
182	E	"	"	3.60	<0.5	<0.01	<0.01	<0.01	"
183	F	"	"	0.89	0.5	<0.01	<0.01	<0.01	"
184	G	"	"	1.85	<0.5	<0.01	<0.01	<0.01	"
185	H	"	"	1.65	<0.5	<0.01	<0.01	<0.01	"
186	5-2-A	13' 15.85'	1' 3.55'	1.92	<0.5	0.01	<0.01	0.02	"
187	B	"	"	3.02	<0.5	<0.01	<0.01	<0.01	"
188	C	"	"	2.13	<0.5	0.02	<0.01	0.02	"
189	D	"	"	1.71	<0.5	0.01	<0.01	0.02	"
190	E	"	"	0.89	<0.5	<0.01	<0.01	<0.01	"
191	F	"	"	1.71	<0.5	0.02	<0.01	0.02	"
192	DH-9-1-A	13' 16.12'	1' 3.31'	0.41	<0.5	<0.01	0.01	<0.01	"
193	B	"	"	0.69	<0.5	<0.01	<0.01	<0.01	"
194	C	"	"	1.03	<0.5	<0.01	<0.01	<0.01	"
195	D	"	"	0.62	<0.5	<0.01	<0.01	<0.01	"
196	DH-9-2-A	13' 16.12'	1' 3.32'	0.21	<0.5	0.01	<0.01	<0.01	"
198	B	"	"	2.54	<0.5	0.01	<0.01	<0.01	"
199	C	"	"	0.75	<0.5	<0.01	<0.01	<0.01	"
200	D	"	"	1.65	<0.5	0.01	0.01	<0.01	"
201	E	"	"	0.27	<0.5	0.01	<0.01	<0.01	"
202	F	"	"	1.37	<0.5	0.01	<0.01	<0.01	"
203	G	"	"	0.21	<0.5	0.01	<0.01	<0.01	"
204	DH-9-3-A	13' 16.11'	1' 3.32'	1.30	<0.5	0.01	<0.01	<0.01	"
205	B	"	"	0.21	<0.5	0.01	<0.01	<0.01	"
206	C	"	"	0.14	<0.5	0.01	<0.01	<0.01	"
207	DMQ 1	13' 12.84'	1' 4.31'	0.07	<0.5	<0.01	0.01	<0.01	Déba
208	2	13' 12.83'	1' 4.31'	0.07	<0.5	<0.01	<0.01	<0.01	"
209	3	"	"	0.27	0.5	<0.01	0.01	<0.01	"
210	4	"	"	0.41	0.5	0.01	<0.01	<0.01	"
211	5	"	"	0.55	0.6	0.01	<0.01	<0.01	"
212	6	"	"	0.41	0.5	<0.01	<0.01	<0.01	"
213	7	"	"	1.23	0.5	0.01	<0.01	<0.01	"
214	8	"	"	0.62	0.5	0.01	<0.01	<0.01	"
215	9	13' 13.15'	1' 4.26'	0.07	<0.5	<0.01	<0.01	<0.01	"
216	10	13' 13.14'	1' 4.27'	<0.07	<0.5	<0.01	<0.01	<0.01	"

Apc.27(7) Résultat d'analyse des minerais en surface

Nu- mero	Echan- tillon	Coordonnees		A u (g/t)	A g (g/t)	C u (%)	P b (%)	Z n (%)	Secteurs
		Latituede	Longitude						
217	DMQ 11	13° 13.15'	1° 4.28'	<0.07	<0.5	<0.01	<0.01	<0.01	Séfa Nangue
218	12	13° 13.30'	1° 4.10'	<0.07	<0.5	<0.01	<0.01	<0.01	"
219	13	13° 13.31'	1° 4.10'	<0.07	<0.5	<0.01	<0.01	<0.01	"
220	14	13° 13.37'	1° 4.07'	<0.07	<0.5	<0.01	<0.01	<0.01	"
221	15	13° 13.36'	1° 4.06'	<0.07	<0.5	<0.01	<0.01	<0.01	"
222	16	13° 12.14'	1° 4.04'	0.07	<0.5	<0.01	<0.01	<0.01	"
223	17	13° 12.15'	1° 4.05'	2.13	<0.5	<0.01	<0.01	<0.01	"
224	18	13° 12.20'	1° 4.13'	0.21	<0.5	<0.01	<0.01	<0.01	"
225	19	13° 12.20'	1° 4.15'	0.21	<0.5	<0.01	<0.01	<0.01	"
226	20	13° 12.21'	1° 4.17'	0.34	<0.5	<0.01	<0.01	<0.01	"
227	21	13° 12.22'	1° 4.18'	0.07	<0.5	<0.01	<0.01	<0.01	"
228	22	13° 12.23'	1° 4.20'	0.07	<0.5	<0.01	<0.01	<0.01	"
229	23	13° 12.34'	1° 4.24'	<0.07	<0.5	<0.01	<0.01	<0.01	"
230	24	13° 12.34'	1° 4.24'	<0.07	<0.5	<0.01	<0.01	<0.01	"
231	25	13° 12.34'	1° 4.24'	<0.07	<0.5	<0.01	<0.01	<0.01	Déba
232	26	13° 12.38'	1° 4.30'	<0.07	<0.5	<0.01	<0.01	<0.01	"
233	27	13° 12.40'	1° 4.33'	<0.07	<0.5	<0.01	<0.01	<0.01	"
234	28	13° 12.42'	1° 4.28'	0.21	<0.5	<0.01	<0.01	<0.01	"
235	29	13° 12.42'	1° 4.28'	0.14	<0.5	<0.01	<0.01	<0.01	"
236	30	13° 12.43'	1° 4.34'	<0.07	<0.5	<0.01	<0.01	<0.01	"
237	31	13° 12.50'	1° 4.39'	<0.07	<0.5	<0.01	<0.01	<0.01	"
238	32	"	"	0.41	<0.5	<0.01	<0.01	<0.01	"
239	33	13° 12.50'	1° 4.40'	<0.07	<0.5	<0.01	<0.01	<0.01	"
240	34	13° 12.51'	1° 4.40'	<0.07	<0.5	<0.01	<0.01	<0.01	"
241	35	13° 12.52'	1° 4.42'	<0.07	<0.5	<0.01	<0.01	<0.01	"
242	36	13° 12.51'	1° 4.42'	<0.07	<0.5	0.01	<0.01	<0.01	"
243	37	13° 12.52'	1° 4.43'	0.21	<0.5	<0.01	<0.01	<0.01	"
244	38	13° 12.53'	1° 4.43'	<0.07	<0.5	<0.01	<0.01	<0.01	"
245	39	13° 12.54'	1° 4.44'	<0.07	<0.5	<0.01	<0.01	<0.01	"
246	40	13° 12.55'	1° 4.46'	<0.07	<0.5	<0.01	<0.01	<0.01	"
247	41	"	"	<0.07	<0.5	<0.01	<0.01	<0.01	"
248	42	13° 12.59'	1° 4.53'	<0.07	<0.5	<0.01	<0.01	<0.01	"
249	43	13° 12.59'	1° 4.54'	<0.07	<0.5	<0.01	<0.01	<0.01	"
250	44	13° 12.64'	1° 4.60'	<0.07	<0.5	<0.01	<0.01	<0.01	"
251	HS 1	13° 15.65'	1° 3.00'	<0.07	<0.5	<0.01	<0.01	<0.01	Séfa Nangue
252	2	13° 15.50'	1° 2.98'	<0.07	<0.5	<0.01	<0.01	<0.01	"

Apc.27(8) Résultat d'analyse des minerais en surface

Nu- mero	Echan- tillon	Coordonnees		A u (g/t)	A g (g/t)	C u (%)	P b (%)	Z n (%)	Secteurs	
		Latitude	Longitude							
253	HS	3	13° 15.38'	1° 2.86'	<0.07	<0.5	<0.01	<0.01	<0.01	Stfa Nangue
254		4	13° 15.52'	1° 2.78'	<0.07	<0.5	<0.01	<0.01	<0.01	"
255		5-A	13° 15.96'	1° 3.63'	0.41	<0.5	<0.01	<0.01	<0.01	"
256		B	"	"	0.62	<0.5	<0.01	<0.01	<0.01	"
257		C	13° 15.96'	1° 3.59'	0.62	<0.5	<0.01	<0.01	<0.01	"
258		D	13° 15.97'	1° 3.54'	0.07	<0.5	<0.01	<0.01	<0.01	"
259		E	"	"	1.03	1.2	0.01	0.02	<0.01	"
260		F	13° 15.97'	1° 3.53'	0.07	<0.5	<0.01	<0.01	<0.01	"
261		6	13° 15.52'	1° 2.77'	1.71	<0.5	<0.01	<0.01	<0.01	"
262		7	13° 15.56'	1° 2.86'	0.07	0.6	0.02	0.04	0.01	"
263		8	13° 15.56'	1° 2.88'	2.19	<0.5	0.01	<0.01	<0.01	"
264		9	13° 15.60'	1° 2.86'	<0.07	<0.5	0.01	<0.01	<0.01	"
265		10	"	"	<0.07	<0.5	0.01	<0.01	<0.01	"
266		11	13° 15.61'	1° 2.87'	<0.07	<0.5	0.02	<0.01	<0.01	"
267		12	13° 15.45'	1° 2.94'	<0.07	<0.5	0.01	<0.01	<0.01	"
268		13	13° 15.47'	1° 2.95'	<0.07	<0.5	0.01	<0.01	<0.01	"
269		14	13° 15.49'	1° 2.99'	<0.07	<0.5	0.02	<0.01	<0.01	"
270		15	13° 15.50'	1° 3.00'	<0.07	<0.5	<0.01	<0.01	<0.01	"
271	SMQ	1	13° 15.96'	1° 3.37'	0.27	<0.5	<0.01	<0.01	<0.01	"
272		2	13° 15.97'	1° 3.36'	3.91	<0.5	<0.01	<0.01	<0.01	"
273		3	13° 15.97'	1° 3.35'	1.92	<0.5	0.01	<0.01	<0.01	"
274		4	13° 16.02'	1° 3.39'	1.37	<0.5	0.01	<0.01	<0.01	"
275		5	13° 16.04'	1° 3.40'	2.13	4.0	0.03	<0.01	<0.01	"
276		6	13° 16.05'	1° 3.42'	<0.07	<0.5	<0.01	<0.01	<0.01	"
277		7	13° 16.04'	1° 3.43'	0.07	<0.5	0.01	<0.01	<0.01	"
278		8	13° 16.03'	1° 3.45'	<0.07	<0.5	<0.01	<0.01	<0.01	"
279		9	13° 16.05'	1° 3.44'	<0.07	<0.5	0.01	<0.01	<0.01	"
280		10	13° 15.97'	1° 3.52'	<0.07	<0.5	<0.01	<0.01	<0.01	"
281		11	13° 16.00'	1° 3.52'	<0.07	<0.5	0.01	<0.01	<0.01	"
282		12	13° 15.99'	1° 3.55'	0.55	0.5	0.01	<0.01	<0.01	"
283		13	13° 16.16'	1° 3.43'	0.27	<0.5	<0.01	<0.01	<0.01	"
284		14	13° 16.18'	1° 3.42'	0.41	1.3	0.01	<0.01	<0.01	"
285		15	13° 16.21'	1° 3.41'	0.07	<0.5	<0.01	<0.01	<0.01	"
286		16	13° 16.24'	1° 3.34'	<0.07	<0.5	0.02	<0.01	<0.01	"
287		17	13° 16.42'	1° 3.24'	<0.07	<0.5	0.01	<0.01	<0.01	"
288		18	13° 16.44'	1° 3.22'	3.19	<0.5	0.01	<0.01	<0.01	"

Apç.27(9) Résultat d'analyse des minerais en surface

Nu- mero	Echan- tillon	Coordonnees		A u (g/t)	A g (g/t)	C u (%)	P b (%)	Z n (%)	Secteurs	
		Latituede	Longitude							
289	SMQ	19	13° 16.08'	1° 3.17'	0.07	<0.5	0.02	<0.01	0.01	Sefa Nangue
290		20	13° 15.83'	1° 2.69'	422.00	28.2	0.01	<0.01	<0.01	"
291	SNR	1	13° 16.35'	1° 3.25'	2.06	<0.5	<0.01	<0.01	<0.01	"
292		2	13° 16.45'	1° 3.22'	0.27	<0.5	<0.01	<0.01	<0.01	"
293		3	13° 16.51'	1° 3.18'	0.21	<0.5	<0.01	<0.01	<0.01	"
294		4	13° 16.41'	1° 3.15'	0.07	<0.5	<0.01	<0.01	<0.01	"
295		5	13° 16.54'	1° 3.37'	<0.07	<0.5	<0.01	<0.01	<0.01	"
296		6	13° 16.66'	1° 3.40'	<0.07	<0.5	<0.01	<0.01	<0.01	"
297		7	13° 16.65'	1° 3.28'	<0.07	<0.5	<0.01	<0.01	<0.01	"
298		8	13° 16.57'	1° 3.03'	0.27	<0.5	<0.01	<0.01	<0.01	"
299		9	13° 16.52'	1° 2.89'	<0.07	<0.5	<0.01	<0.01	<0.01	"
300		10	13° 16.30'	1° 2.93'	<0.07	<0.5	<0.01	<0.01	<0.01	"
301	MUC	65	13° 37.20'	1° 34.83'	7.13	1.9	<0.01	<0.01	<0.01	Nbanga
302		76	13° 36.98'	1° 34.53'	14.20	2.2	<0.01	<0.01	<0.01	"
303		77	13° 37.20'	1° 34.83'	0.14	<0.5	<0.01	<0.01	<0.01	"
304		78	"	"	0.21	<0.5	<0.01	<0.01	<0.01	"
305		79	13° 36.98'	1° 34.53'	0.07	<0.5	0.02	<0.01	0.02	"
306		80	"	"	67.20	20.2	<0.01	<0.01	<0.01	"
307		81	"	"	21.70	4.1	0.01	<0.01	0.01	"
308	MUF	21	13° 37.20'	1° 34.83'	8.46	2.5	<0.01	<0.01	<0.01	"
309	KMC	60	13° 36.65'	1° 33.08'	0.27	<0.5	<0.01	<0.01	<0.01	"
310		61	"	"	58.40	12.1	0.01	<0.01	0.01	"
311		62	"	"	1.99	0.7	<0.01	<0.01	<0.01	"
312		66	13° 36.31'	1° 33.36'	7.71	<0.5	<0.01	<0.01	<0.01	"
313		67	"	"	1.30	<0.5	<0.01	<0.01	<0.01	"
314		69	13° 36.63'	1° 33.08'	0.14	<0.5	<0.01	<0.01	<0.01	"
315		70	"	"	0.07	<0.5	0.01	<0.01	<0.01	"
316		71	"	"	0.96	<0.5	0.01	<0.01	<0.01	"
317		72	13° 36.70'	1° 33.21'	33.00	11.2	<0.01	<0.01	<0.01	"
318		73	"	"	1.37	0.6	<0.01	<0.01	<0.01	"
319	KLC	46	13° 35.20'	1° 30.38'	0.07	<0.5	<0.01	<0.01	<0.01	Touré Ouest
320		47	"	"	0.07	<0.5	<0.01	<0.01	<0.01	"
321		48	"	"	0.07	<0.5	<0.01	<0.01	<0.01	"
322		55	13° 34.86'	1° 30.18'	2.17	<0.5	<0.01	<0.01	<0.01	"
323		56	"	"	1.44	<0.5	0.01	<0.01	0.01	"
324	TOB	7	13° 34.25'	1° 25.90'	0.07	1.1	0.01	0.01	<0.01	"

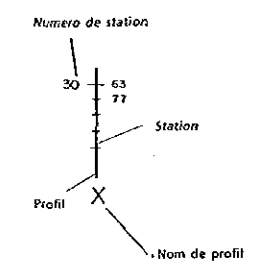
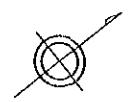
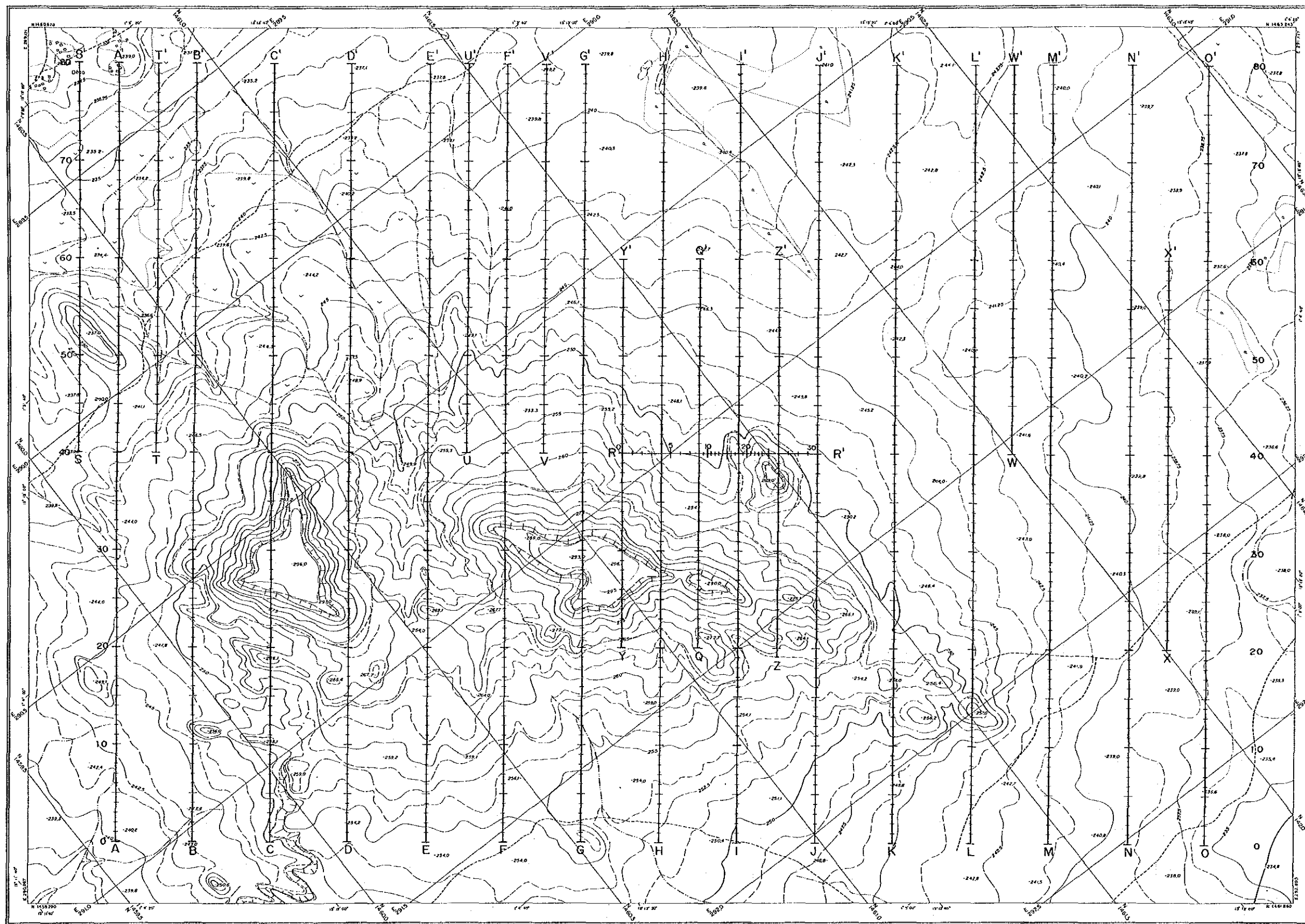
Apç.27(10) Résultat d'analyse des minerais en surface

Nu- mero	Echan- tillon	Coordonnees		A u (g/t)	A g (g/t)	C u (%)	P b (%)	Z n (%)	Secteurs	
		Latitede	Longitude							
325	TOB	8	13' 34. 25'	1' 25. 90'	0. 14	0. 5	0. 03	<0. 01	0. 01	Tourt Ouest
326		9	"	"	0. 07	0. 6	0. 01	0. 01	<0. 01	"
327		10	"	"	0. 07	<0. 5	0. 01	<0. 01	<0. 01	"
328		11	"	"	0. 21	6. 8	0. 08	0. 04	0. 02	"
329		12	"	"	0. 14	3. 9	0. 01	<0. 01	0. 01	"
330	TOE	2	"	"	0. 14	<0. 5	0. 02	<0. 01	<0. 01	"
331		3	13' 34. 25'	1' 25. 90'	<0. 07	<0. 5	<0. 01	<0. 01	<0. 01	"
332		4	13' 33. 98'	1' 26. 01'	<0. 07	<0. 5	0. 01	<0. 01	<0. 01	"
333		5	"	"	0. 27	<0. 5	0. 01	<0. 01	<0. 01	"
334		6	"	"	<0. 07	<0. 5	<0. 01	<0. 01	<0. 01	"
335		7	13' 33. 88'	1' 25. 88'	<0. 07	<0. 5	<0. 01	<0. 01	0. 02	"
336		8	"	"	<0. 07	<0. 5	0. 01	<0. 01	0. 03	"
337		10	"	"	<0. 07	<0. 5	<0. 01	<0. 01	<0. 01	"
338		11	"	"	<0. 07	<0. 5	<0. 01	<0. 01	<0. 01	"
339	DII	1	13' 34. 81'	1' 26. 91'	<0. 07	<0. 5	0. 01	<0. 01	0. 01	"
340		2	"	"	<0. 07	<0. 5	<0. 01	<0. 01	<0. 01	"
341	DIC	45	"	"	<0. 07	<0. 5	<0. 01	<0. 01	<0. 01	"
342	TIC	84	13' 31. 83'	1' 24. 08'	<0. 07	<0. 5	<0. 01	<0. 01	<0. 01	Tiambi
343		85	"	"	<0. 07	<0. 5	<0. 01	<0. 01	<0. 01	"
344		86	"	"	0. 27	<0. 5	<0. 01	<0. 01	<0. 01	"
345		87	13' 31. 70'	1' 24. 00'	<0. 07	<0. 5	<0. 01	<0. 01	<0. 01	"
346		88	"	"	<0. 07	<0. 5	<0. 01	<0. 01	<0. 01	"
347		89	"	"	<0. 07	<0. 5	<0. 01	<0. 01	<0. 01	"
348		90	"	"	<0. 07	<0. 5	<0. 01	<0. 01	<0. 01	"
349		91	"	"	<0. 07	<0. 5	<0. 01	<0. 01	<0. 01	"
350		92	"	"	<0. 07	<0. 5	<0. 01	<0. 01	<0. 01	"
351		93	"	"	<0. 07	<0. 5	<0. 01	<0. 01	<0. 01	"
352		94	"	"	<0. 07	<0. 5	<0. 01	<0. 01	0. 05	"
353		95	13' 31. 51'	1' 23. 88'	<0. 07	<0. 5	<0. 01	<0. 01	<0. 01	"
354		96	"	"	<0. 07	<0. 5	<0. 01	<0. 01	<0. 01	"
355		97	"	"	<0. 07	<0. 5	<0. 01	<0. 01	<0. 01	"
356		98	13' 31. 41'	1' 23. 90'	<0. 07	<0. 5	<0. 01	<0. 01	<0. 01	"
357		99	"	"	<0. 07	<0. 5	<0. 01	<0. 01	<0. 01	"
358		100	"	"	<0. 07	<0. 5	<0. 01	<0. 01	<0. 01	"
359		101	"	"	<0. 07	<0. 5	<0. 01	<0. 01	<0. 01	"
360		102	13' 31. 30'	1' 23. 95'	<0. 07	<0. 5	<0. 01	<0. 01	<0. 01	"

Ap. 28 Résultat de mesure de resistivité dans laboratoire

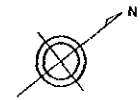
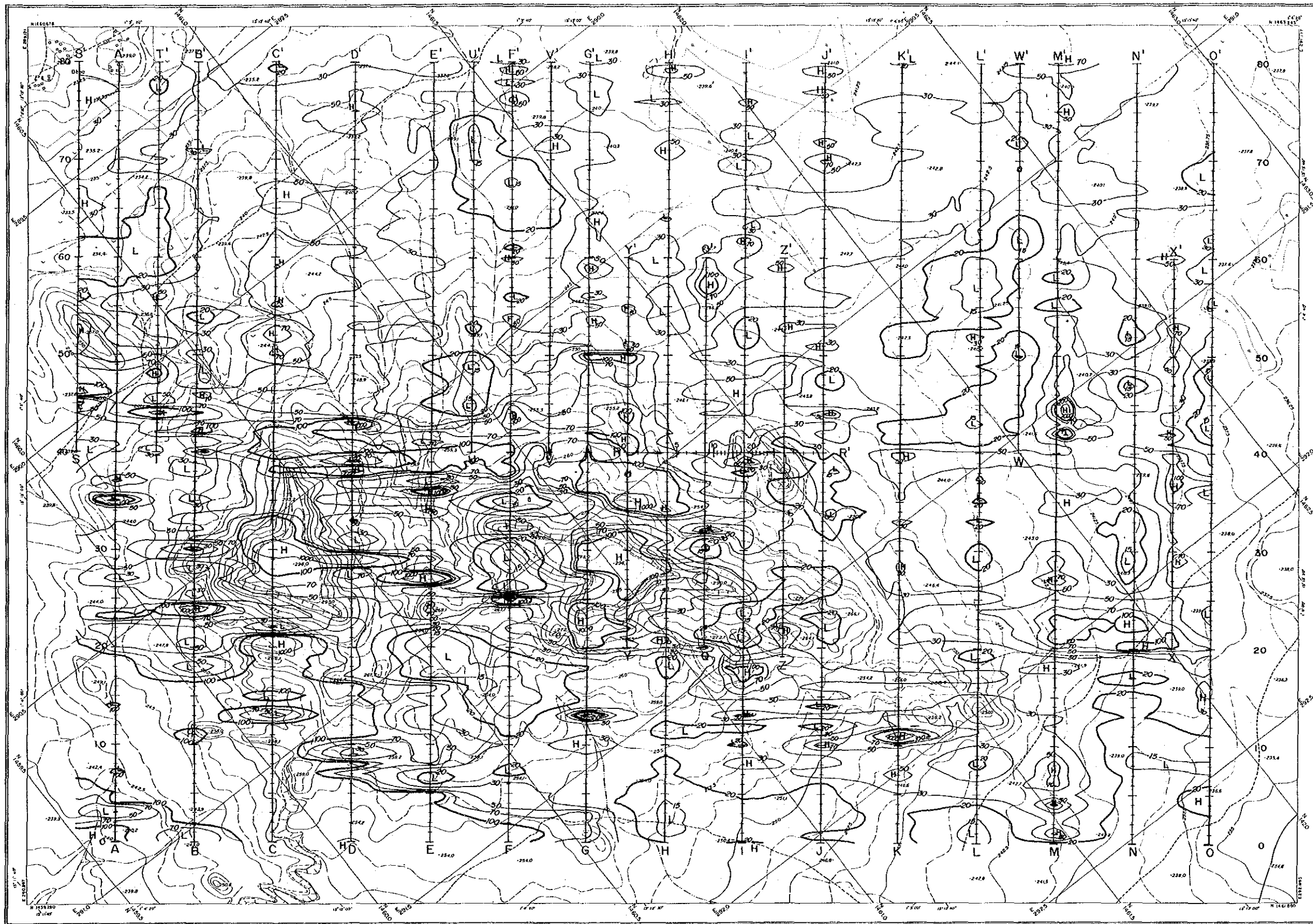
Numero de échantillon	Description de roche	Résistivité (Ω·m)	Densité (g/cc)	Remarque
EM-1	Schiste brun altéré	380	2.15	Perpendiculaire à schistosité
EM-2	Veine de quartz	75.8	2.46	Parallèle à schistosité
EM-3	Schiste altérée avec veinules de quartz	9,590	1.34	
EM-4	Schiste brun rougeâtre altéré	86.7	2.14	Perpendiculaire à schistosité
EM-5	Andésite brun altérée	67.1	2.01	Parallèle à schistosité
EM-6	Latérite brune rougeâtre avec bréchiqque	27.9	2.56	
EM-7	Schiste brun rougeâtre avec veinules de quartz	183	2.52	Perpendiculaire à schistosité
EM-8	Latérite brune avec bréchiqque	407	2.24	Parallèle à schistosité
EM-9	Andésite brune rougeâtre	7,920	2.03	
EM-10	Veine de quartz blanc	1,270	2.35	
EM-11	Veine de quartz brun clair	1,320	2.44	
EM-12	Schiste gris, fortement altéré, schistosité faible	144	1.69	
EM-13	Andésite noire, fortement silicifiée	157,000	2.64	
EM-14	Andésite verte massive	3,670	2.85	
EM-15	Veine de quartz gris sombre	30.9	2.56	
EM-16	Andésite verte massive	31,400	2.69	
EM-17	Veine de quartz gris	467,000	2.51	
EM-18	Latérite brune rougeâtre avec bréchiqque de veine	36,700	2.26	
EM-19	Plagiortholyte brune claire, artérée	395,000	2.26	
EM-20	Plagiortholyte brune claire, argilisée	79,800	1.37	Effitement dans l'eau
DGR-1	Plagiortholyte argilisée	2,380	1.80	MJNL-1(Prof. 6.7m)
DGR-2	Plagiortholyte argilisation faible	3,501	2.63	" (" 45.1m)
DGR-3	Plagiortholyte silification faible	14.2	2.56	" (" 60.6m)
DGR-4	Plagiortholyte porphyrique massive dure	63,800	2.66	" (" 84.5m)
DGR-5	Plagiortholyte porphyrique massive dure	1,270	2.66	" (" 126.5m)
SGR-1	Tuf vert sombre	87,500	2.90	Séfa Nangue MJNL-2(Prof. 133m)
SGR-2	schiste ardoiser	50,000	2.82	" (" 51m)
SGR-3	Tuf lapilli	73,300	2.80	" MJNL-3(" 72m)
		17,900		
		86,300		

DEBA

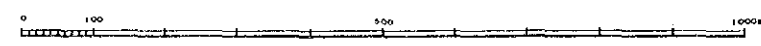
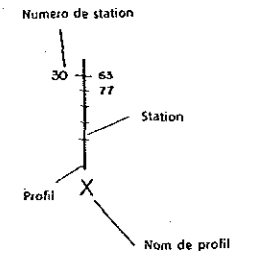


Apc.29 Carte des lignes de mesure et des points de mesure

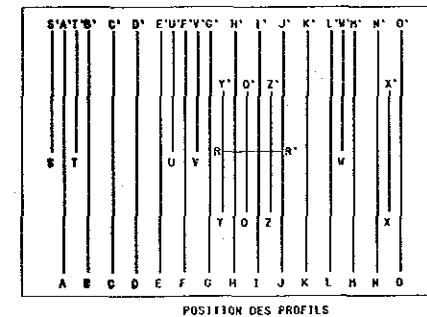
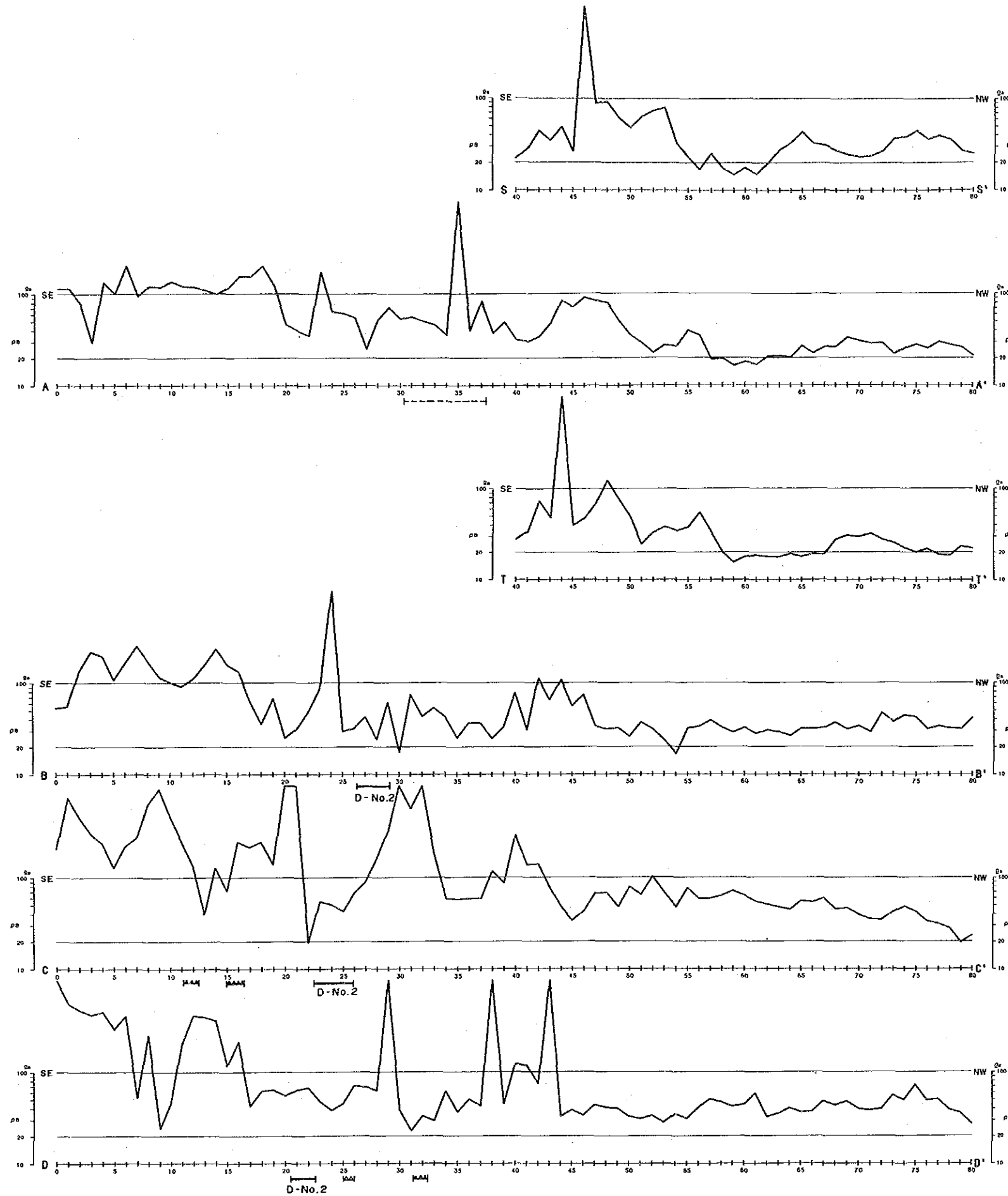
DEBA



- H Anomalie résistante
- L Anomalie conducteur
- 50 — Contour de résistivité apparente



Apc.30 Plan de contours: Resistivité apparentée



LEGENDES

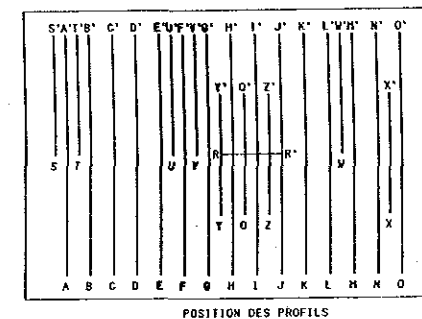
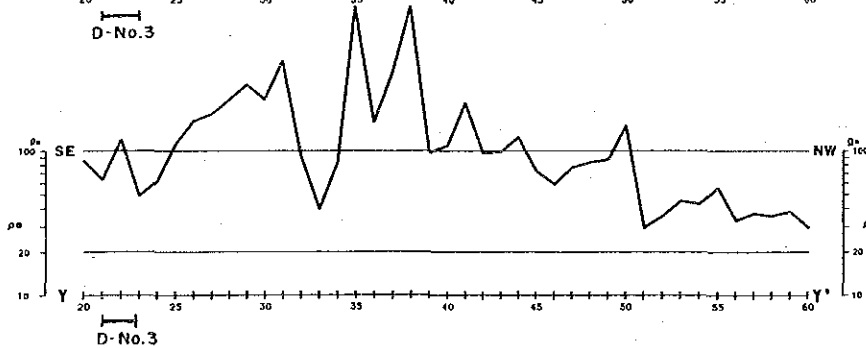
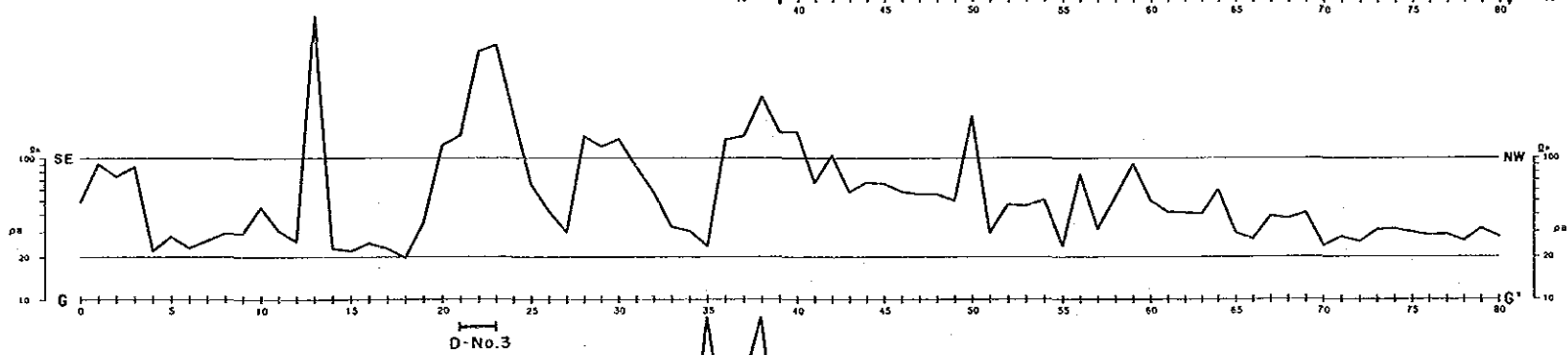
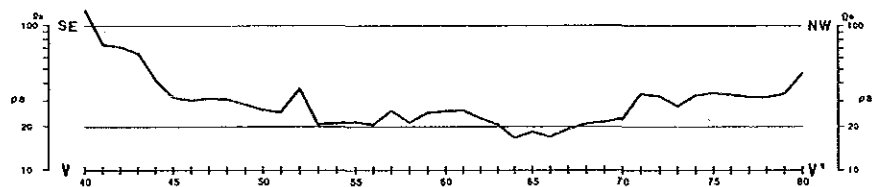
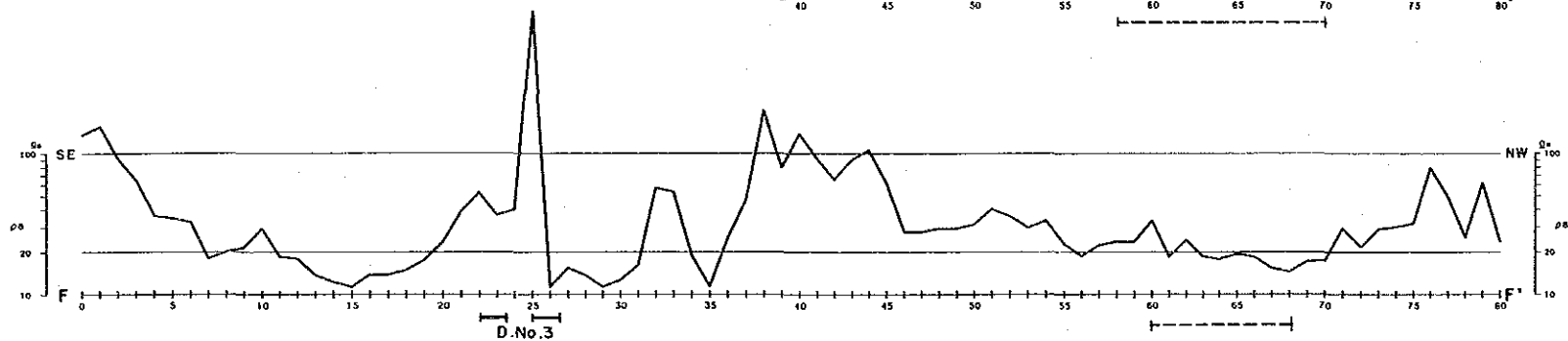
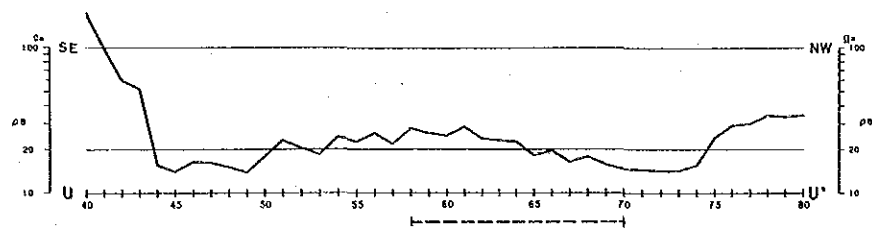
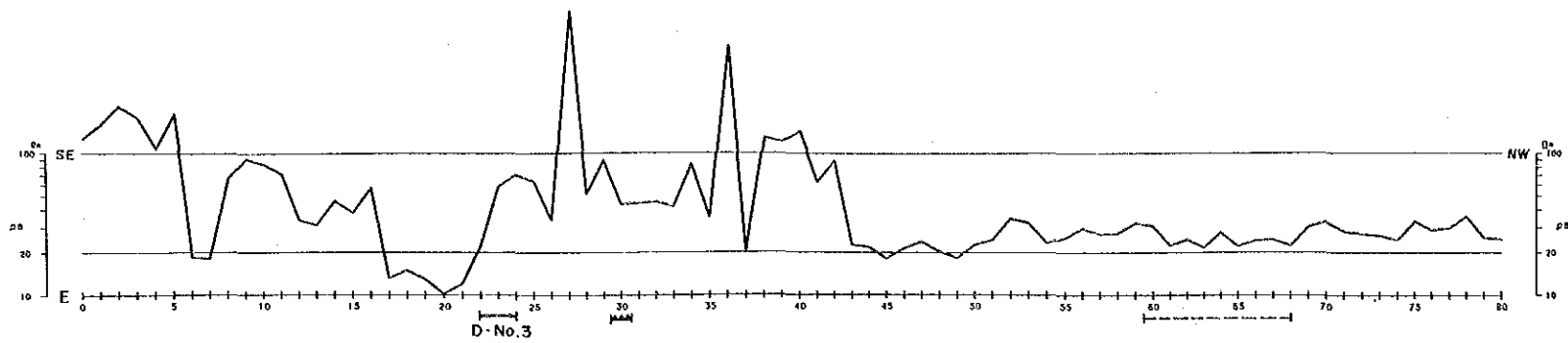
COURBE DE LA RESISTIVITE APPARENTE

— FREQUENCE = 6.4 kHz.
INTERVALLE DES BOBINES = 10 m

— FREQUENCE = 1.6 kHz.
INTERVALLE DES BOBINES = 20 m

— FREQUENCE = 0.4 kHz.
INTERVALLE DES BOBINES = 40 m

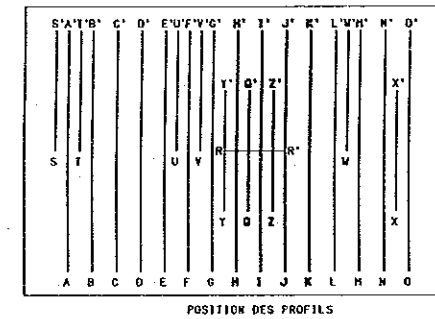
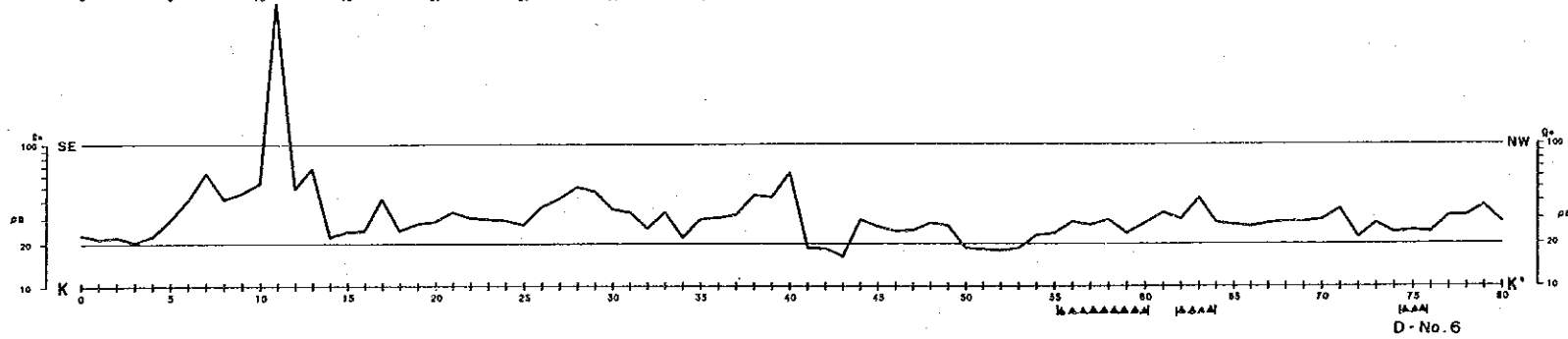
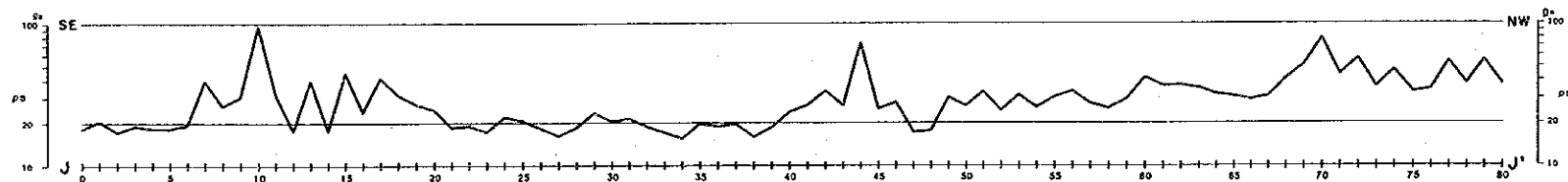
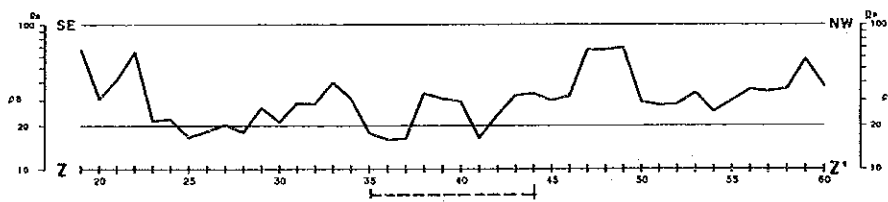
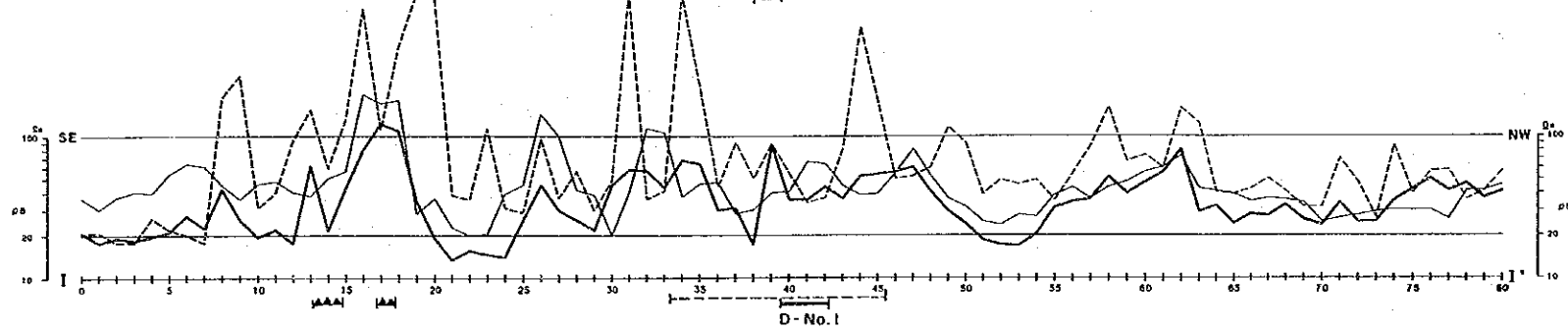
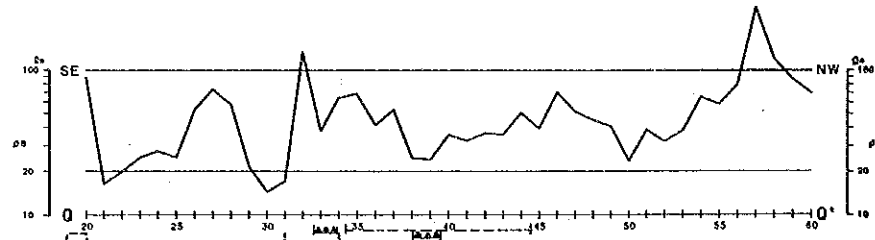
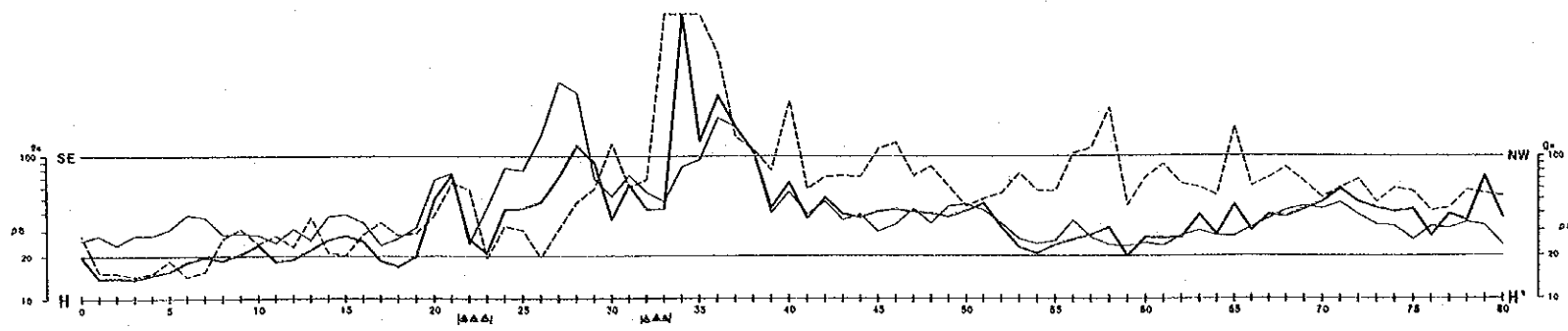
Apc.31 Section de resistivité apparentée le long des ligne A,B,C,D,S et T



LEGENDES

- COURBE DE LA RESISTIVITE APPARENTE
- FREQUENCE = 6.4 kHz.
INTERVALLE DES BOBINES = 10 m
 - FREQUENCE = 1.6 kHz.
INTERVALLE DES BOBINES = 20 m
 - FREQUENCE = 0.4 kHz.
INTERVALLE DES BOBINES = 40 m

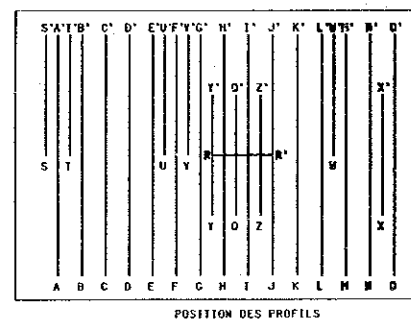
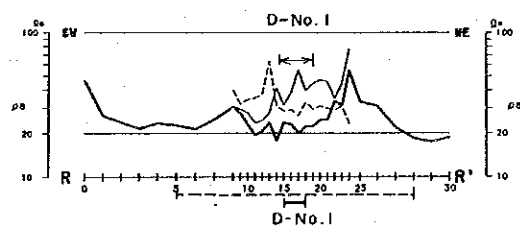
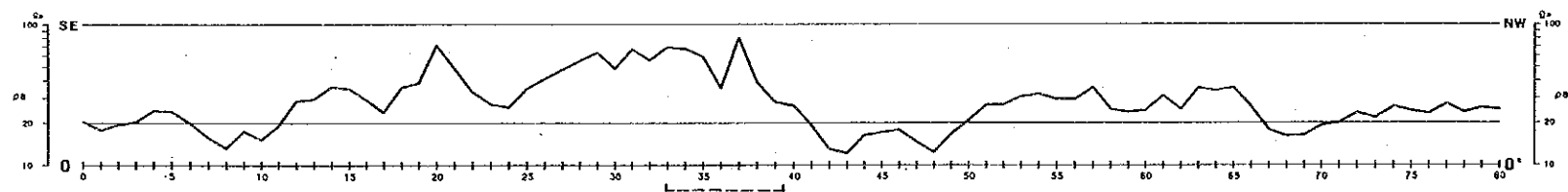
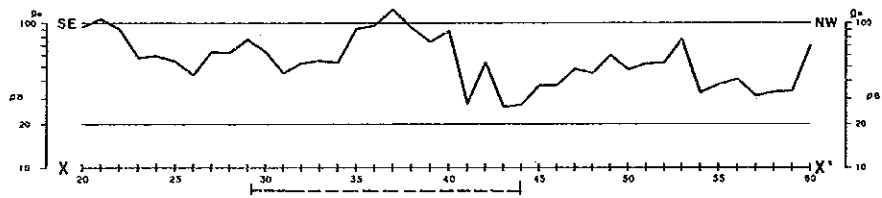
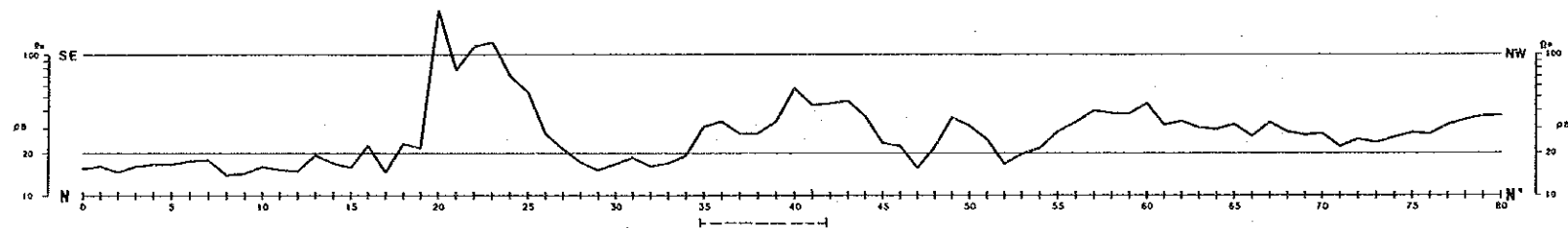
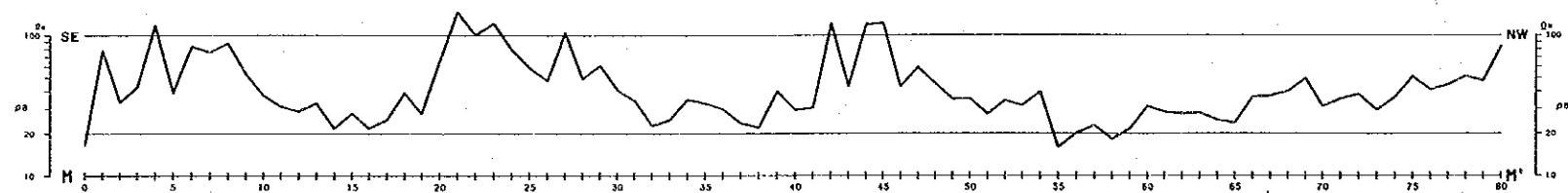
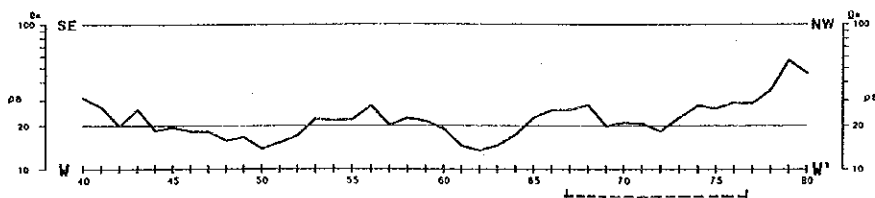
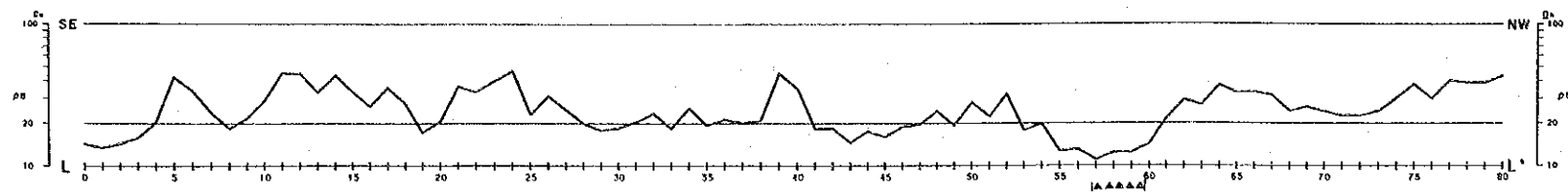
Apc.32 Section de resistivité apparentée le long des ligne E, F, G, U, V et Y



LEGENDES

- COURBE DE LA RESISTIVITE APPARENTE
- FREQUENCE = 6.4 kHz.
INTERVALLE DES BOBINES = 10 m
 - - - FREQUENCE = 1.6 kHz.
INTERVALLE DES BOBINES = 20 m
 - · · FREQUENCE = 0.4 kHz.
INTERVALLE DES BOBINES = 40 m

Apc.33 Section de resistivité apparentée le long des ligne H, I, J, K, Q et Z
A-127



LEGENDES

COURBE DE LA RESISTIVITE APPARENTE

— FREQUENCE = 6.4 kHz.
INTERVALLE DES BOBINES = 10 m.

— FREQUENCE = 1.6 kHz.
INTERVALLE DES BOBINES = 20 m.

--- FREQUENCE = 0.4 kHz.
INTERVALLE DES BOBINES = 40 m.

Apc.34 Section de resistivité apparentée le long des ligne L, M, N, O, R, W et X
A-129

Ap.35 Des résultats de sondage

Item/Numéro de trou	MOBILISATION	MINI-1	MINI-2	MINI-3	MINI-4	MINI-5	MINI-6	MINI-7	MINI-8	MINI-9	DÉMobilISATION	TOTAL
Elements de Sondage												
Longueur de trou (m)	11.25-12.3	151.0	153.8	153.5	150.5	150.4	150.7	150.3	152.3	150.5	2.28-3.11	1.363
Longueur de carotte (m)	9	145.5	135.7	146.0	137.9	143.8	146.6	140.45	140.4	147.8		1.284.15
Réparation de carotte (%)	0	95	88	95	92	96	97	93	92	98		94
Profondeur sondée par HQ (m)		151	153.8	153.5	150.5	150.4	150.7	150.3	152.3	150.5		1.363
Profondeur sondée par NQ (m)		33	27	27	24	30	27	30	24	30		198
Longueur d'enveloppe de HQ (m)		L-38	L-38	L-38	L-38	L-38	L-38	L-38	L-38	L-38		
Periode des travaux		12.4-12.17	12.18-1.21	1.15-1.21	2.4-2.10	2.11-2.18	1.8-1.14	1.22-1.27	1.28-2.3	2.19-2.27		
Periode de travail (j)		14	16	7	7	8	7	6	7	9		102
Nombre de jours de travail (j)		0	0	0	0	0	0	0	0	0		0
Nombre de jours de non-travail (j)		14	16	7	7	8	7	6	7	9		102
Total des jours		3	3	1	1	1	1	0.5	1	1		12.5
Installation Forage (équipe) (j)		8(16)	11(19)	5(15)	5(15)	6(15)	5(14)	4.5(15)	5(15)	7(13)		55.5(199)
Démontage (j)		3	1	1	1	1	1	1	1	1		11
Les autres (j)		0	1	0	0	0	0	0	0	0		1
Total (j)		14	16	7	7	8	7	6	7	9		81
Longueur de trou/Periode de travail (m/j)		10.8	9.6	22.0	21.5	18.8	21.5	25.1	21.8	16.7		
Longueur de trou/Periode de forage (m/j)		18.9	14.0	30.7	30.1	25.1	30.1	33.4	30.5	21.5		
Longueur de trou/Nombre des équipes (m/j)		8.5	8.1	10.2	10.0	10.0	10.8	10.0	10.2	11.6		
Heures des travaux												
Heure de forage (h)		84.3	80	60	68	76	75	62	69	52		625.3
Chargement et déchargement des tuyaux (h)		83.7	93	60	52	60	37	58	51	30		524.7
Reparation (h)		2	10	0	0	0	0	0	0	0		12
Sous-total (h)		170	183	120	120	136	112	120	120	82		1.163
Installation (h)		24	30	9	9	9	9	2	9	9		110
Démontage (h)		20	9	9	9	9	9	9	9	9		92
Les autres (h)												
Total (h)		214	222	138	138	154	130	131	138	100		1.365
Longueur de trou/Heure de forage (m/h)		0.7	1.9	2.5	2.2	2.0	2.0	2.4	2.2	2.9		
Personnel												
Sondeur		42	48	21	21	24	21	18	15	18		279
Sondeur nigérien		27	48	21	21	24	21	18	15	27		288
Quvrier		80	90	42	42	48	42	36	30	54		565
Pompier		28	32	14	14	16	14	12	14	18		188
Gardien		5	64	28	28	32	28	24	20	36		333
Quvrier pour accès		84	96	35	35	40	35	30	32	54		507
Total		304	378	161	161	184	161	138	126	207		2.160
Total des personnes/Longueur de trous (n/m)		2.0	2.5	1.0	1.1	1.2	1.1	0.9	0.8	1.4		

Apc.36 Représentation graphique des opérations

	1990	1990	1991	1991	1991
	Novembre	Decembre	Janvier	Février	Mars
Mobilisation Tokyo-Niamey-Déba	21-25				
Préparation	26-6				
MJNL-1 151.0m	7-14				
MJNL-2 153.8m		21---1			
MJNL-6 150.7m		9-13			
MJNL-3 153.5m		16-20			
MJNL-7 150.3m		22-26			
MJNL-8 152.3m		29-2			
MJNL-4 150.5m			5-9		
MJNL-5 150.4m			12-17		
MJNL-9 150.5m			20-26		
Démontage				27--12	
Démobilisation Déba-Niamey-Tokyo					13--23

Apç.37 Des sondes et des accessoires

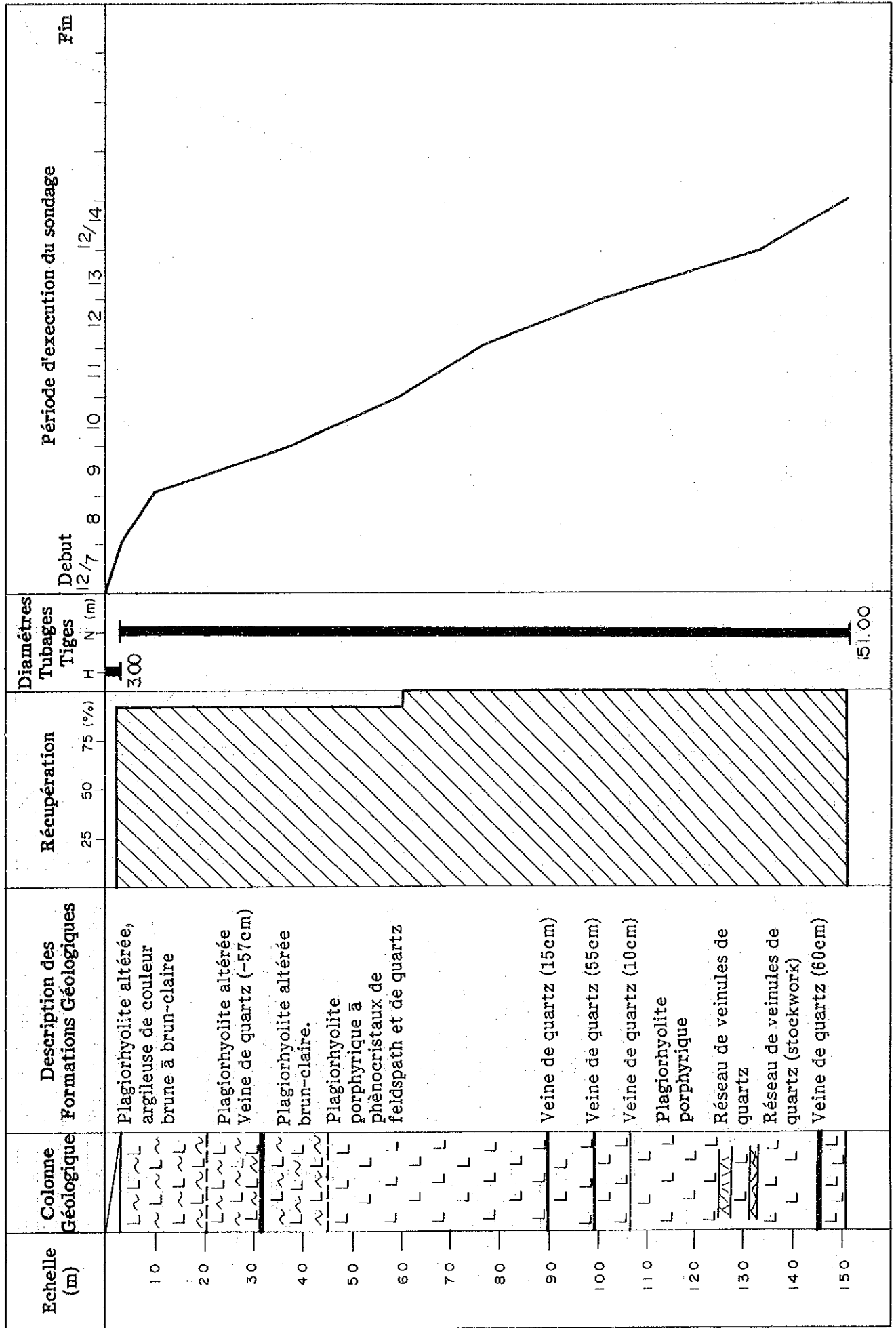
Article	Modèle	Spécification	Quantité
Sonde	L-38 (Longyear)	Capacité: NQWL 560m Diamètre intérieur d'axe: 98mm Vitesse d'axe: 172, 357, 653, 1,100rpm Poids: 1450	1 jeu
Moteur	L-38 (Longyear)	Moteur électrique Force motrice: 22kw Force liée: 48P.S	1 jeu
Pompe	MG-15th (KOKEN)	Type: 2 piston Capacité(max): 130/min Pression(max): 40kg/cm	1 jeu
Moteur	MG-15th (KOKEN)	Moteur électrique Force motrice: 11kw Force liée: 20P.S	1 jeu
Pompe d'alimenta- tion	MS1503 (YANMAR)	Type: 2piston Capacité(max): 80/min Pression(max): 40kg/cm	1 jeu
Moteur	NFO13EK (YANMAR DIESEL)	Moteur diesel Rotation: 3,000 rpm Force liée: 13.5P.S	1 jeu
Treuil de fil métallique	FOR L-38	Attaché à la sonde: 300m	1 jeu
Tour de forage	HRS-6	Tour structuré de tuyau	1 jeu
Générateur	DCA-60SS (DENYO)	Moteur Diesel: 60kva	1 jeu
Tuyau	WL rod	NQWL 3m HQWL 3m	70 pcs. 30 pcs.
Réservoir d'eau		2m	4 sets
Tuyau d'alimentation		19mm tuyau polyvinylique	4,000 m

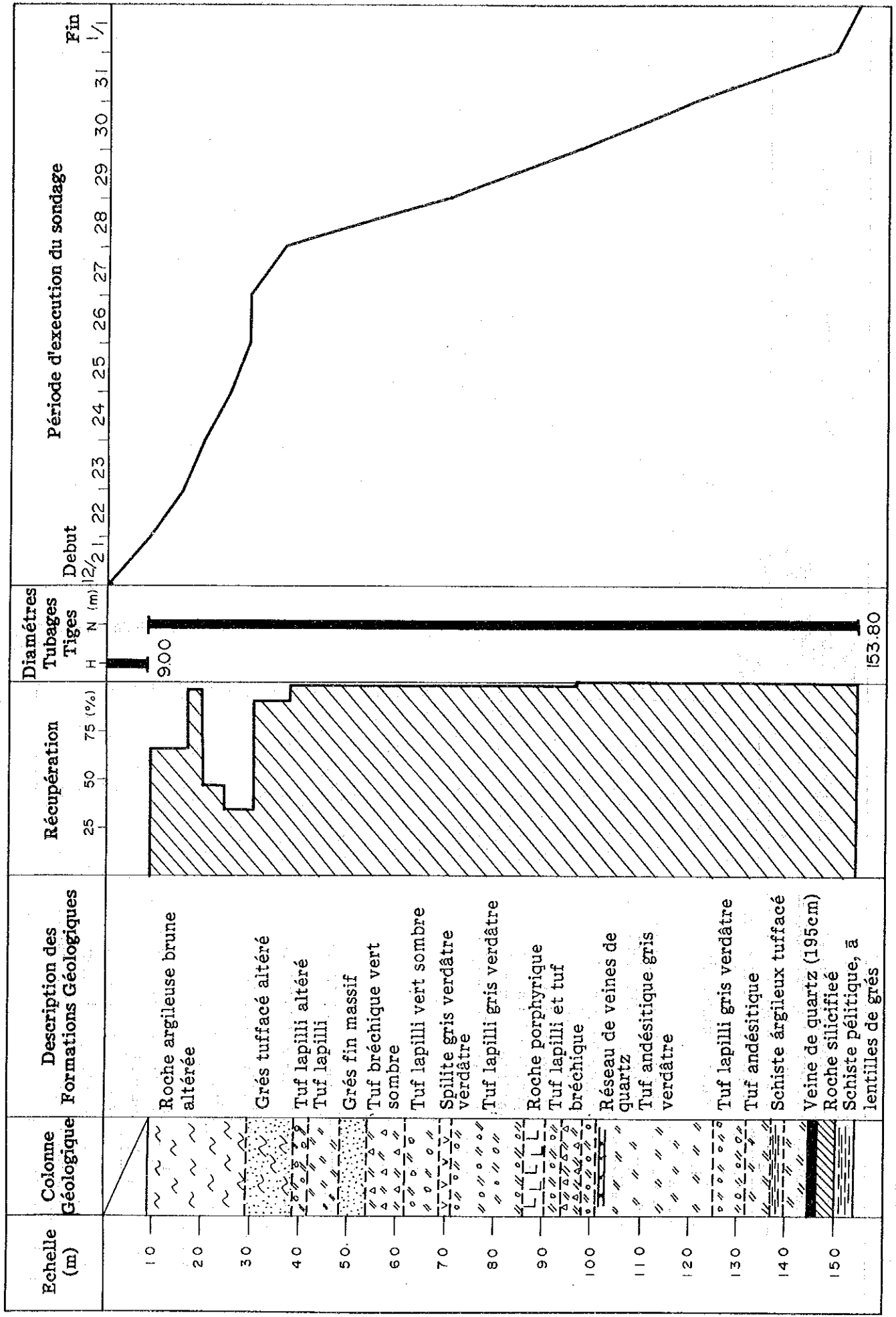
Apc.38 Tableau de consommation des matieres consommatives
(diamant ets.)

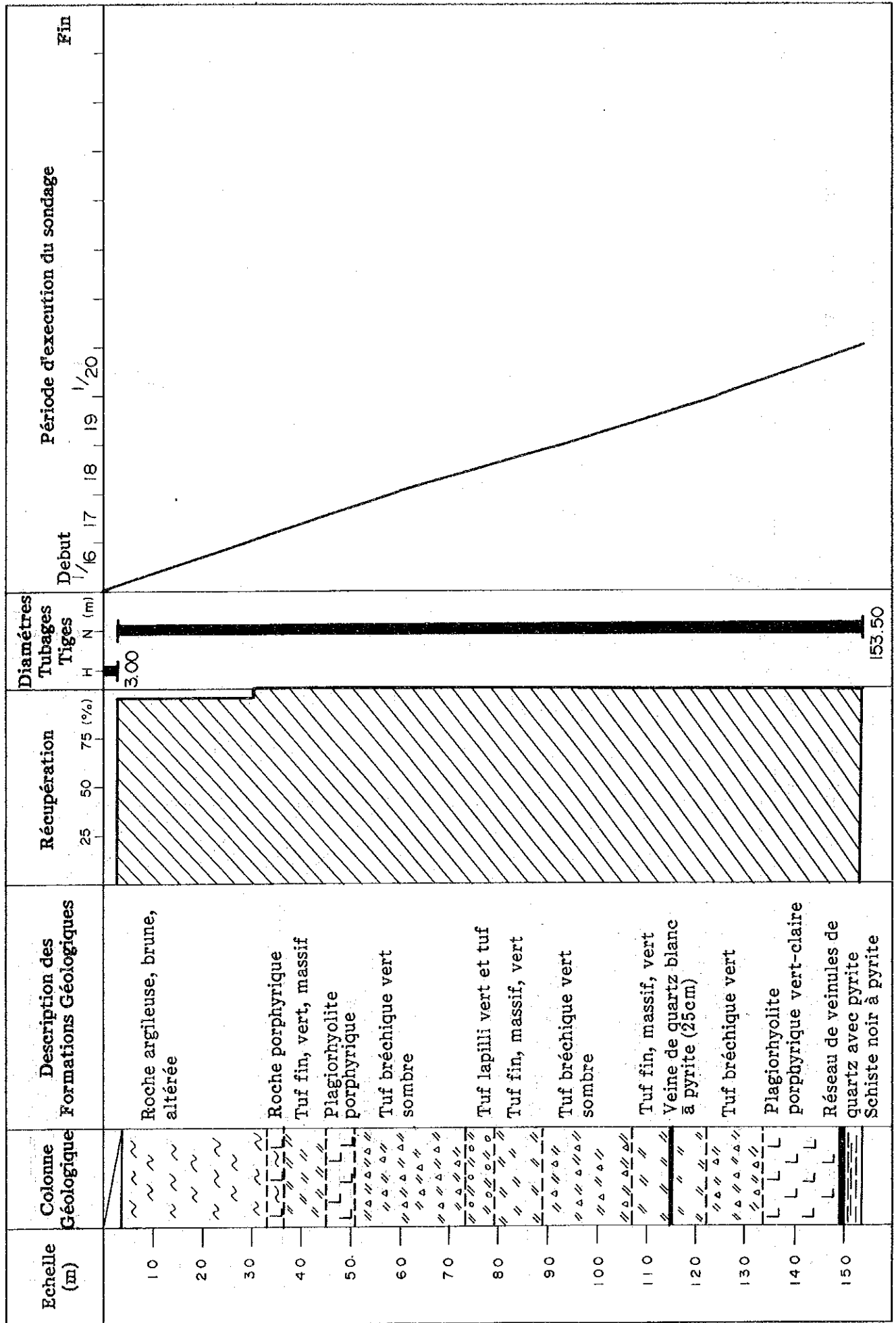
Article	Unité	MJNL											Total
		-1	-2	-3	-4	-5	-6	-7	-8	-9			
Dent de diamant(NQ)	Pcs	5	6	5	5	4	2	6	5	5	43		
Cosse de diamant(NQ)	Pcs	1	1	1	1	1	1	1	1	1	9		
Dent pour enveloppe(HQ)	Pcs					1					2		
Elévateur de carotte (NQ)	Pcs	4	6	6	6	6	5	6	6	6	51		
Elévateur de carotte case (NQ)	Pcs	2	2	2	3	2	2	3	3	2	21		
Boite de carotte	Pcs	22	20	22	21	22	22	21	19	23	192		
Huile de coupe	Pcs	9	27	30	26	30	25	45	30	27	249		
Huile de diesel	l	95	110	95	110	100	105	95	85	90	885		
Huile turbine	l	3	5	4	2	5	4	5	5	4	37		
Huile à graisser	l	6	3	5	8	4	5	5	6	5	47		
Graisse	Kg	1	2	1	1.5	2.5	1	1	1.5	1	12.5		

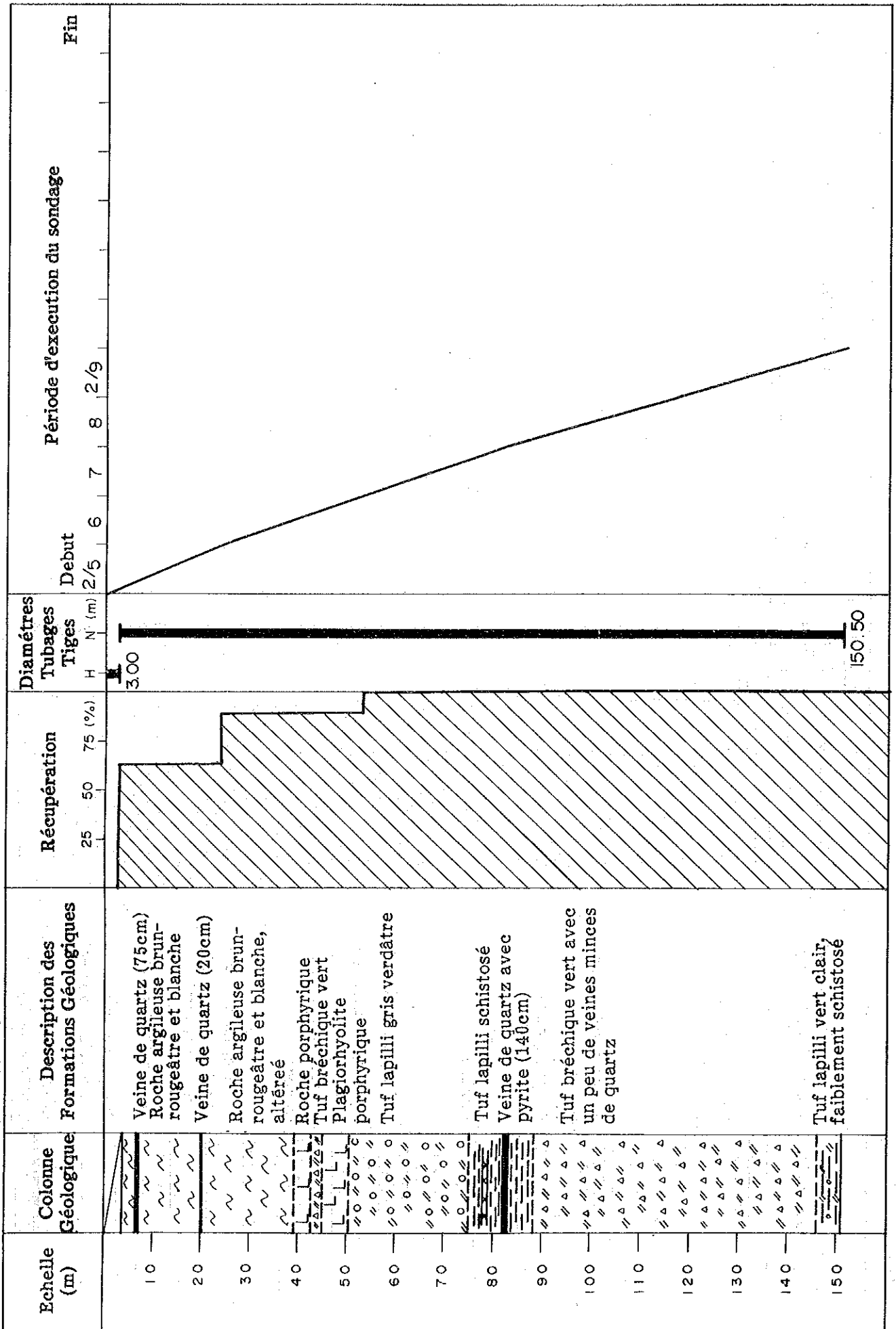
Apc.39 Avancement de sondage

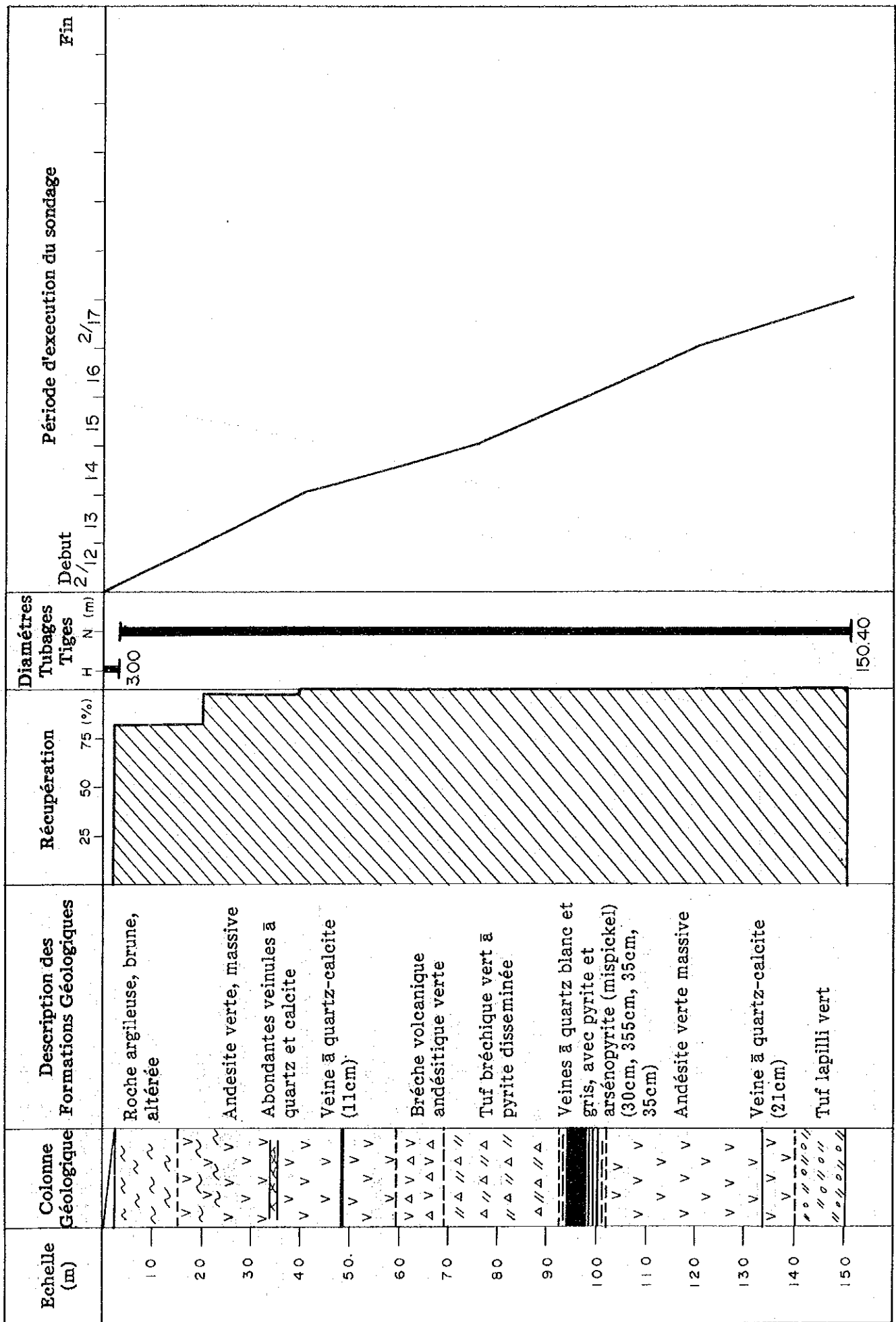
M J N L - 1

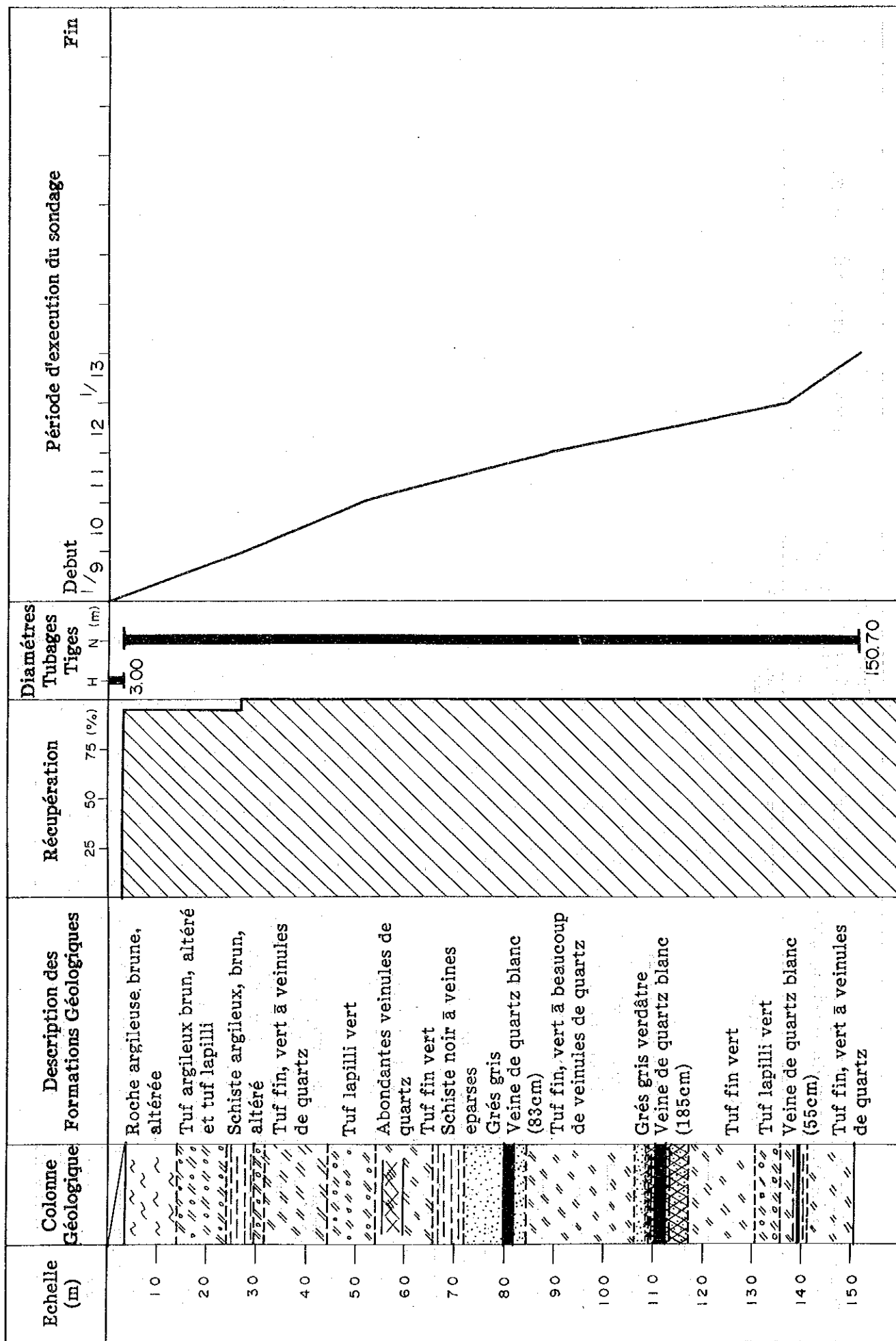


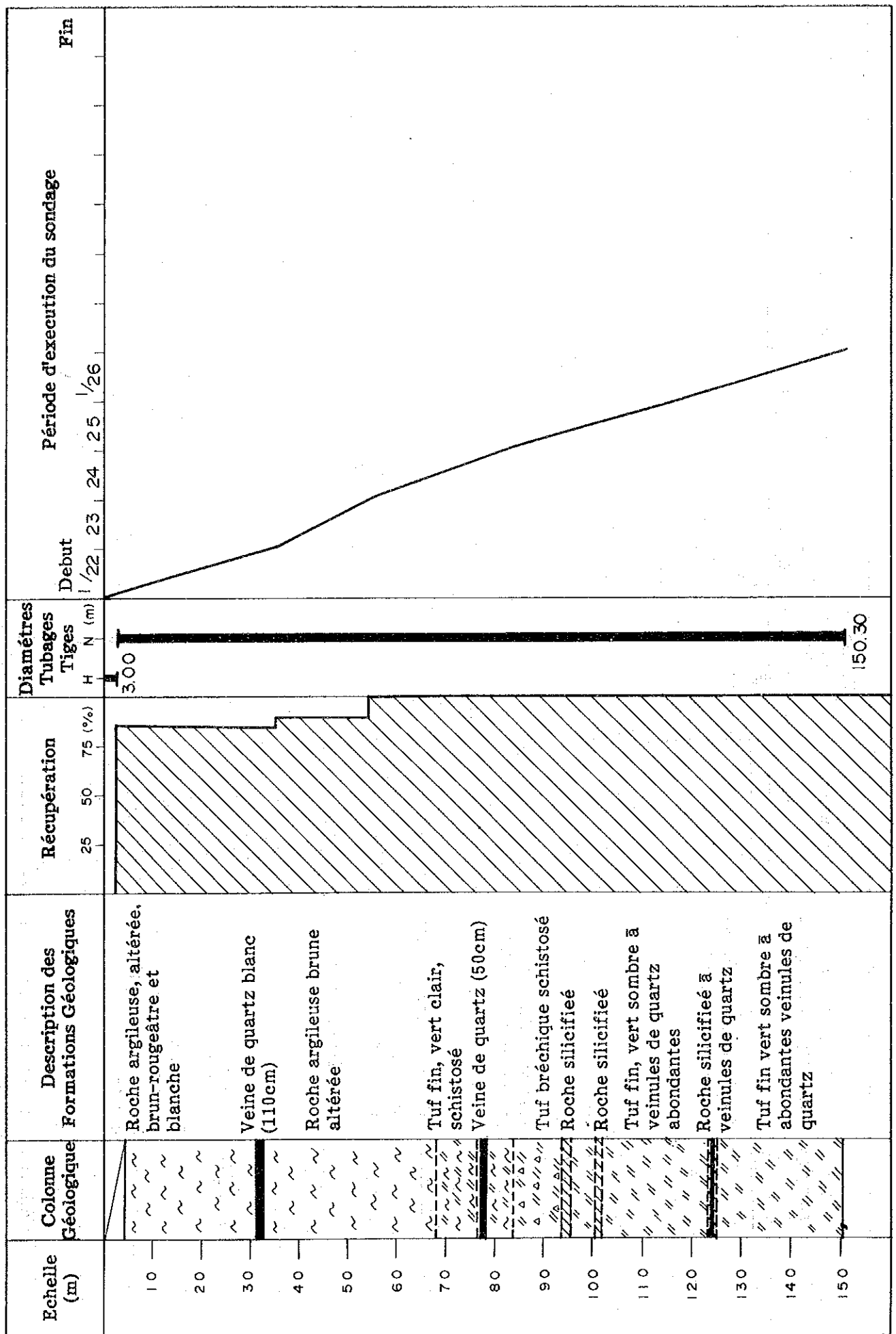


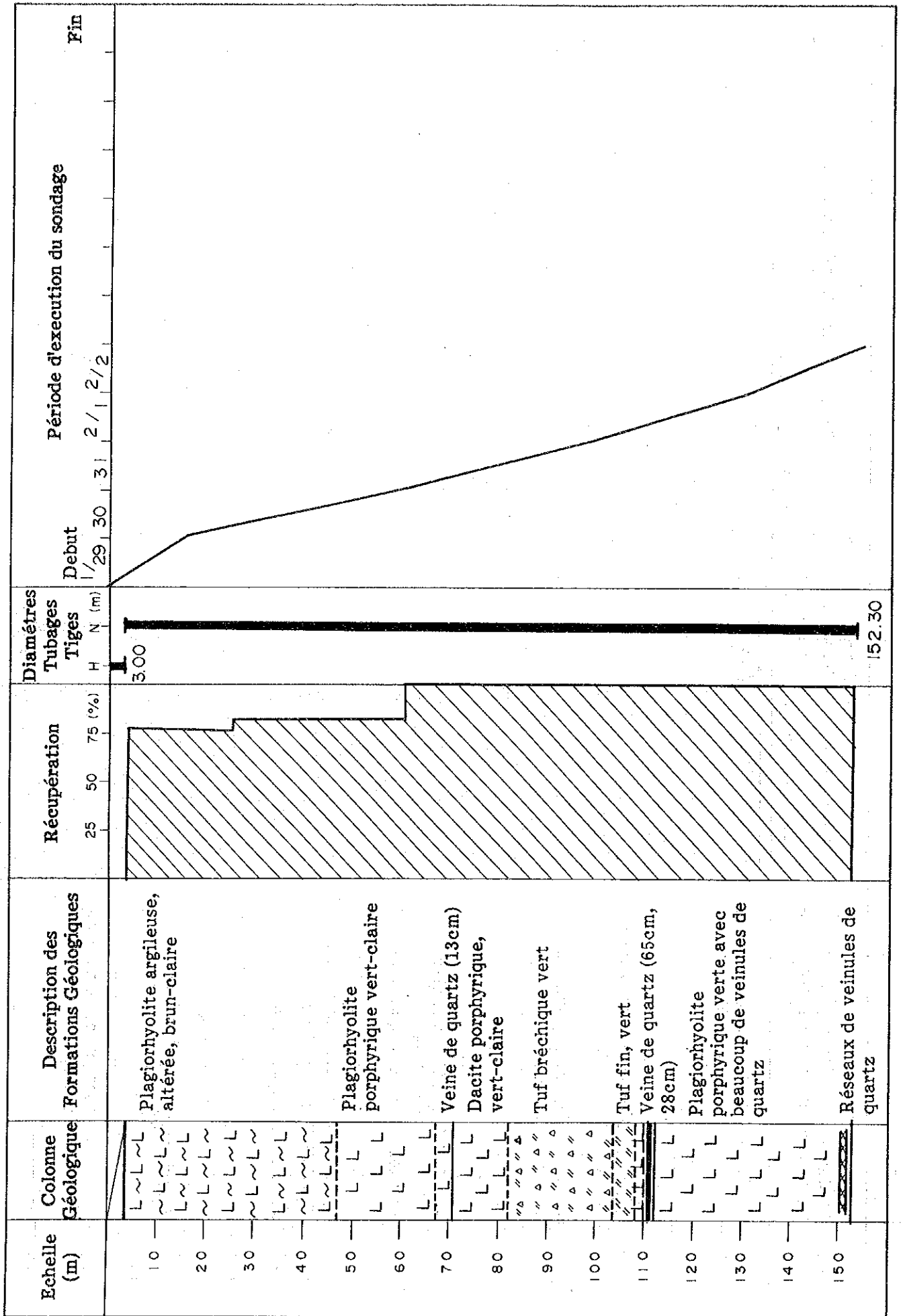


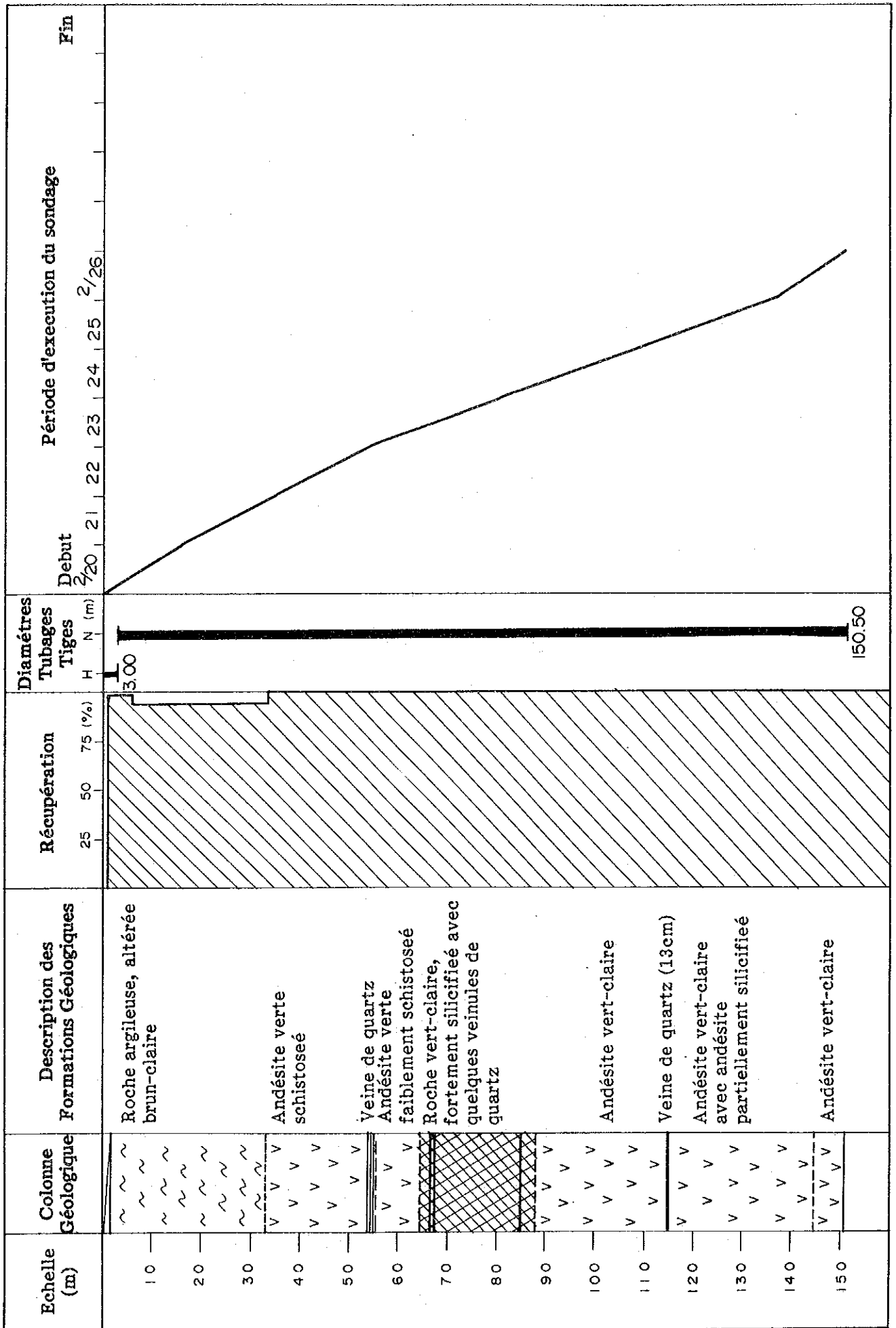








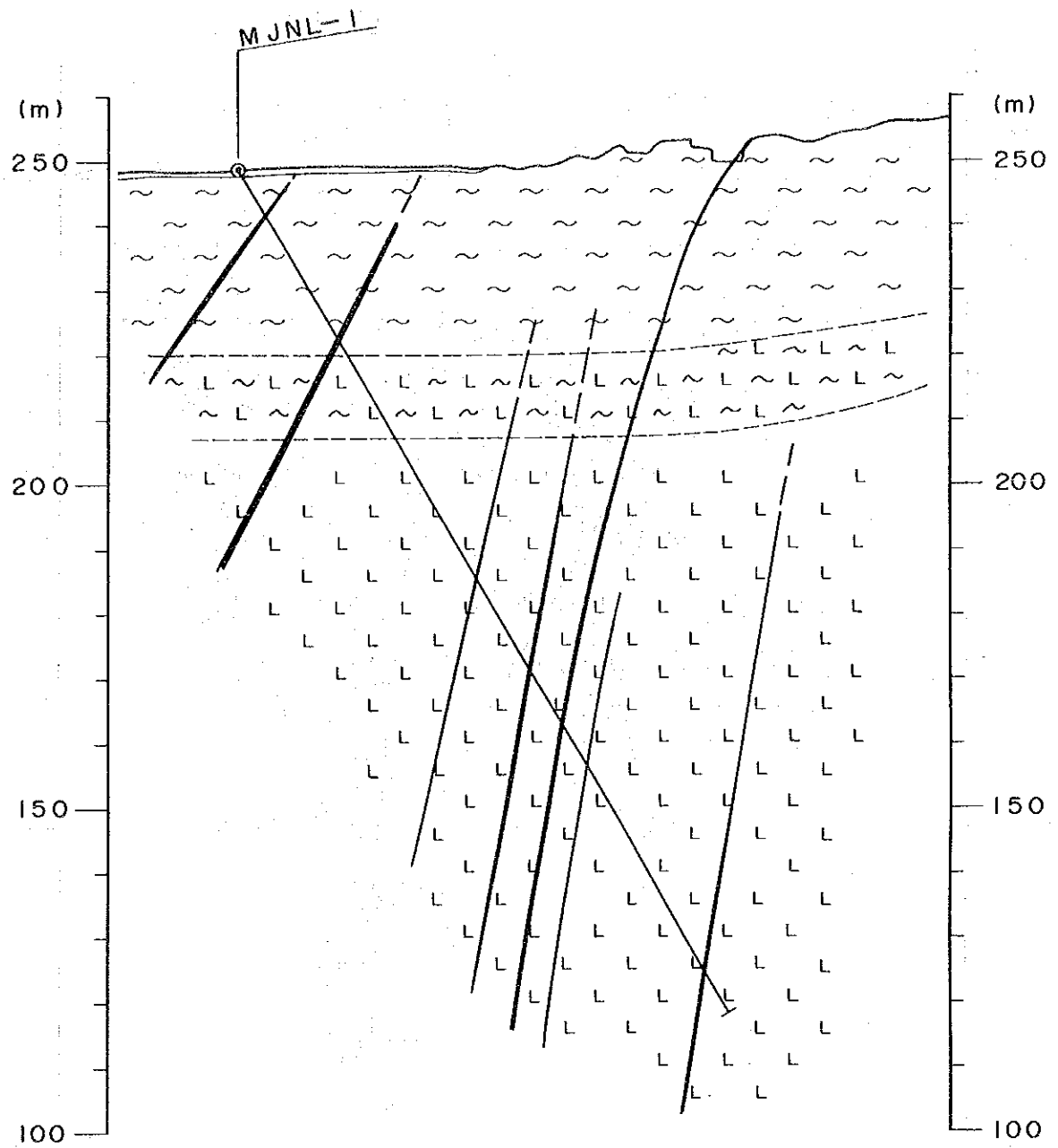




Apc.40 Coupe géologique du trou de sondage

MJNL-1 (Déba) et

MJNL-2~9 (Séfa Nangue)

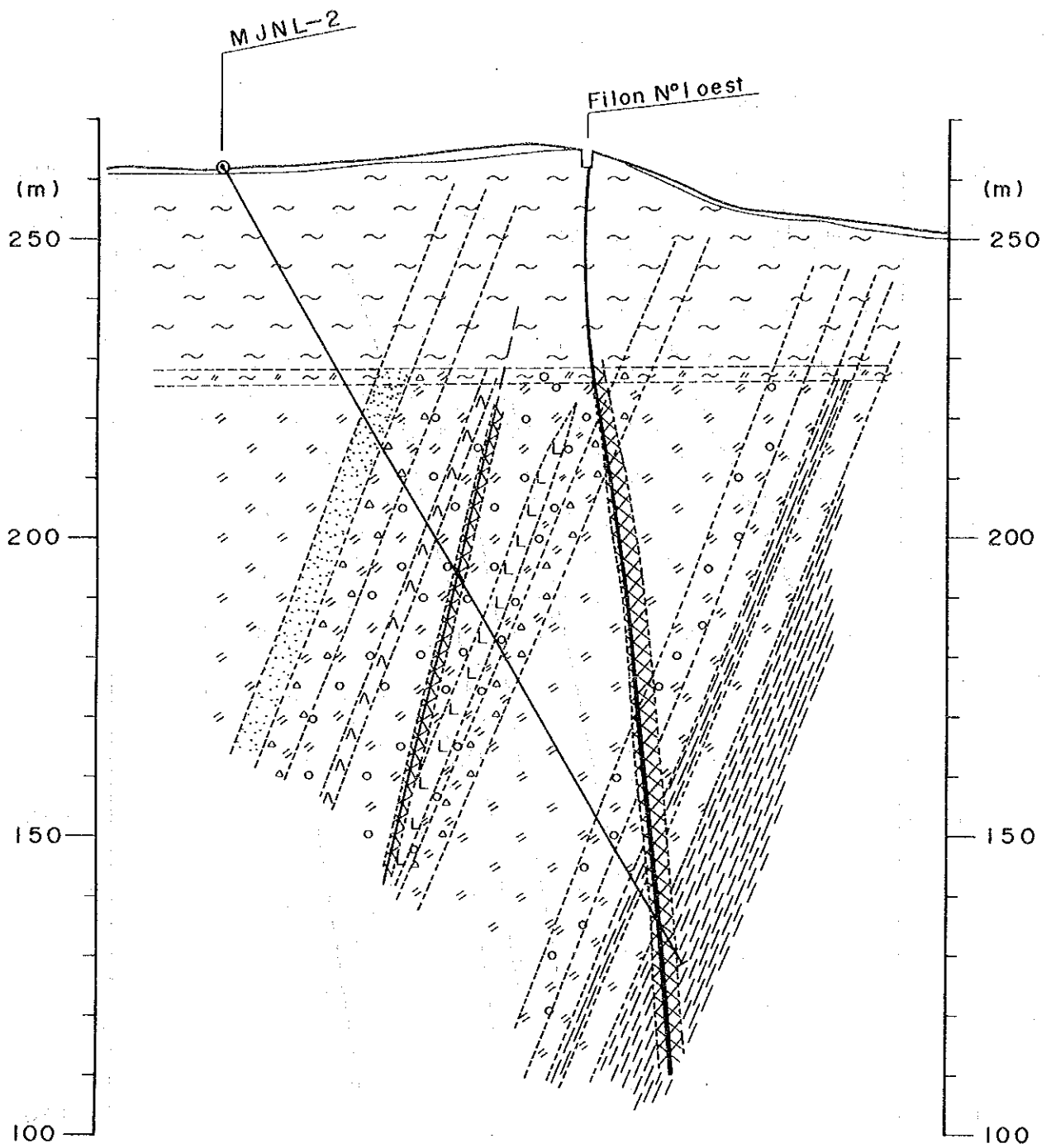


MJNL-1

Altitude: 248.8m, Profondeur: 151.00m

Direction: NE 70°, Angle: -60°

Apc. 40(1) Coupe géologique du trou de sondage MJNL-1 à la région de Déba

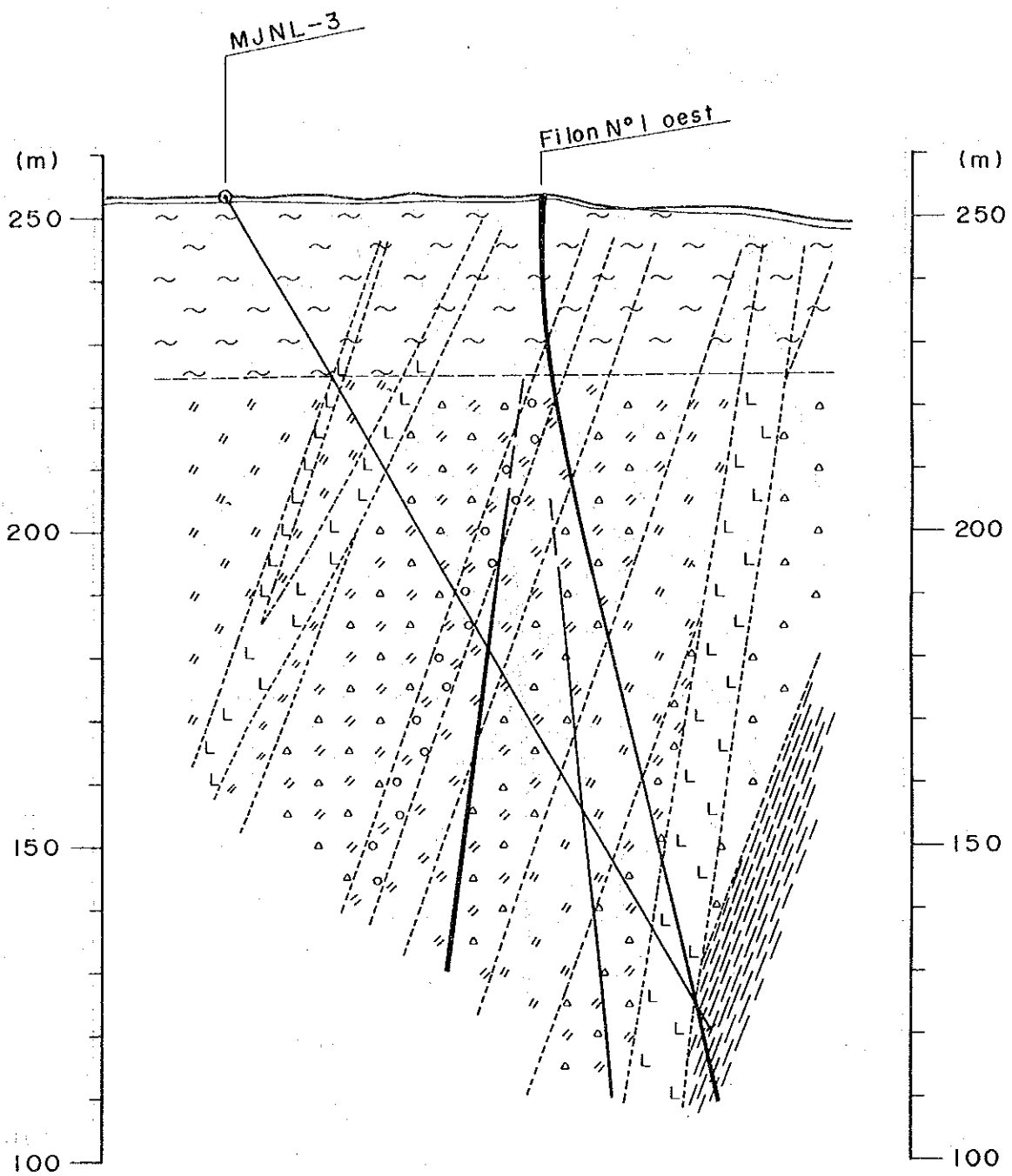


MJNL-2

Altitude: 261.6m, Profondeur: 153.80m

Direction: SW 20°, Angle: -60°

Apc. 40 (2) Coupe géologique du trou de sondage MJNL-2 à la région de Séfa Nangue.

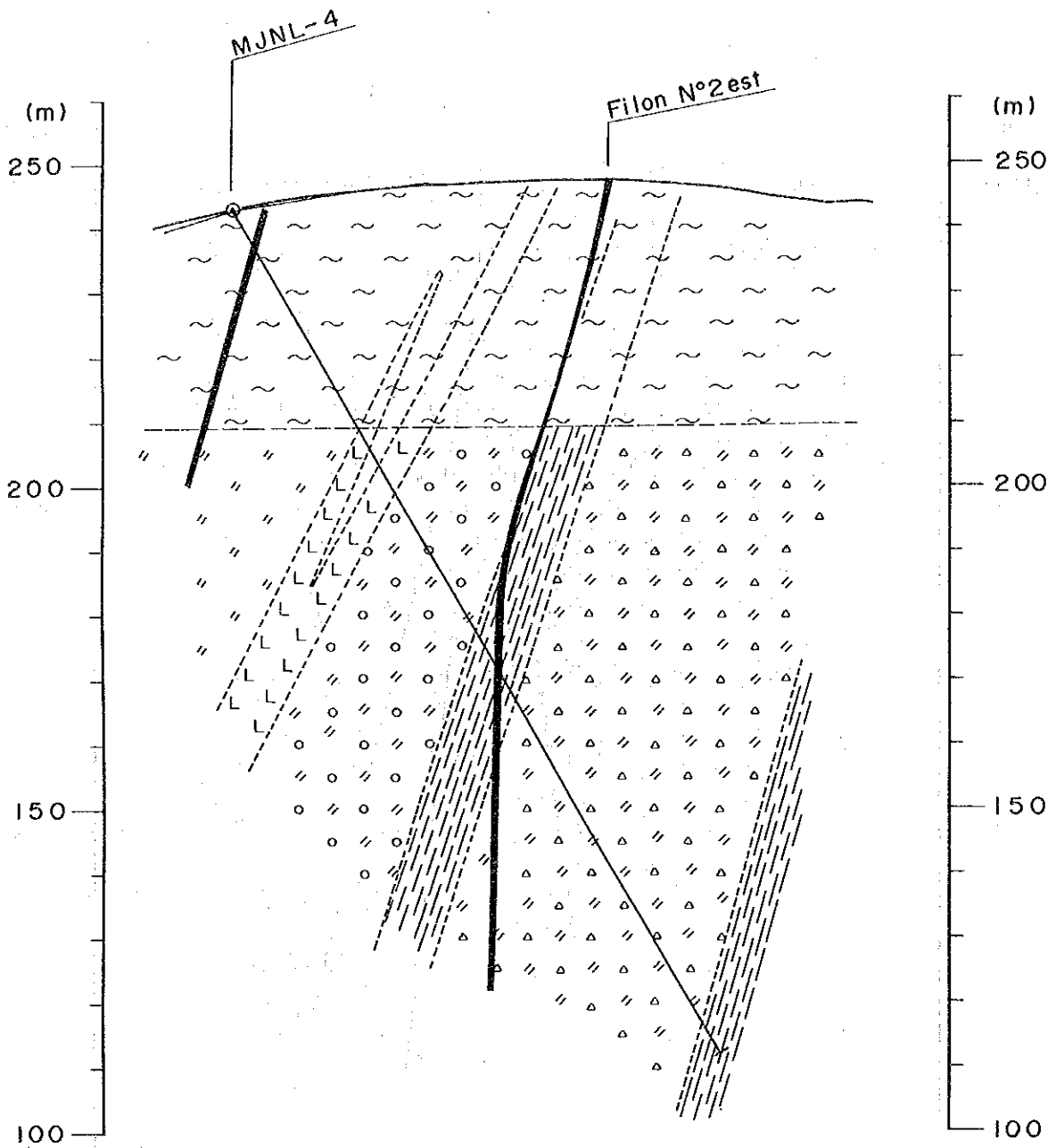


MJNL-3

Altitude: 252.7m, Profondeur: 153.50m

Direction: S, Angle: -60°

Apc. 40 (3) Coupe géologique du trou de sondage MJNL-3 à la région de Séfa Nangue

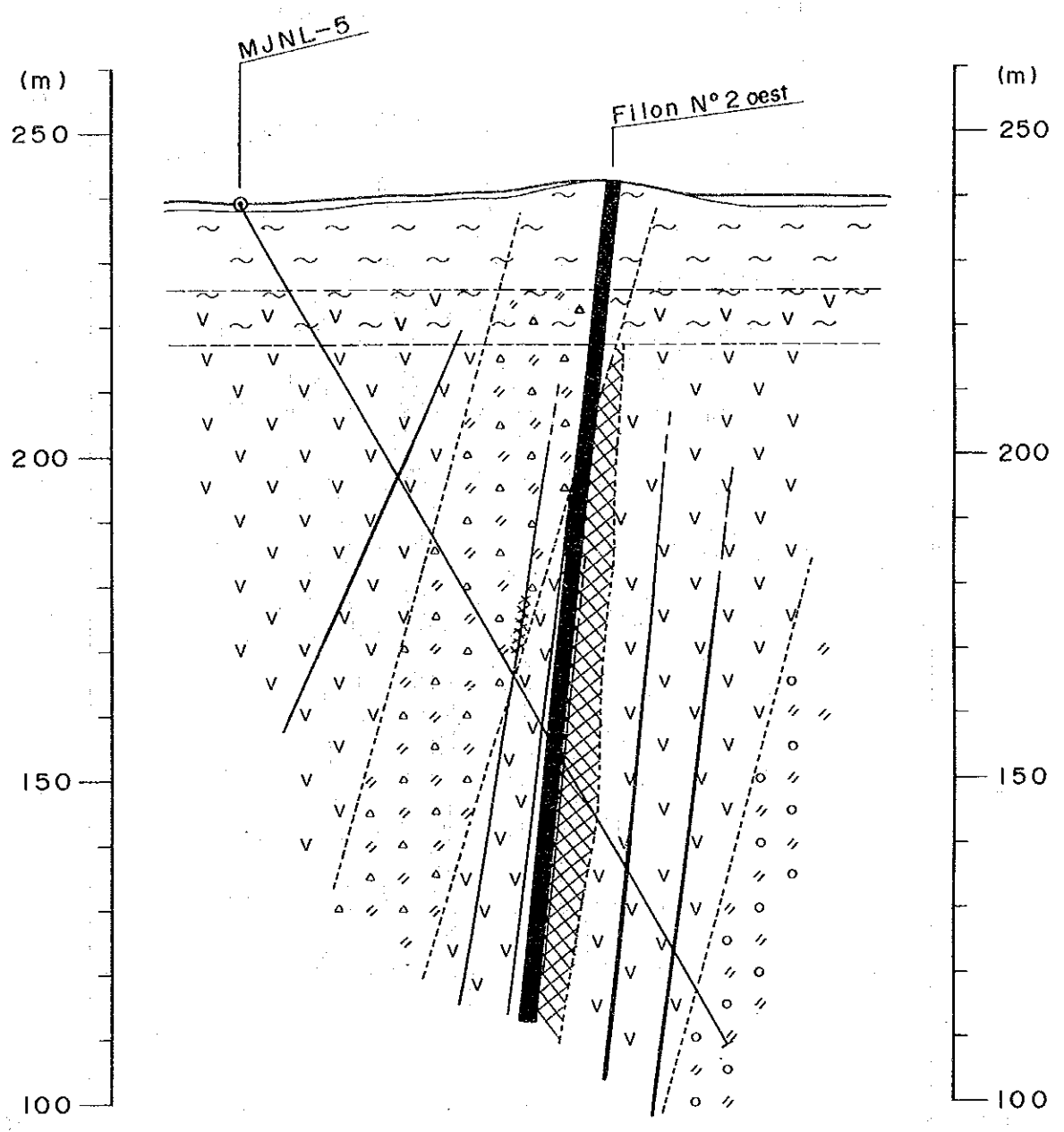


MJNL-4

Altitude: 243.3m, Profondeur: 150.50m

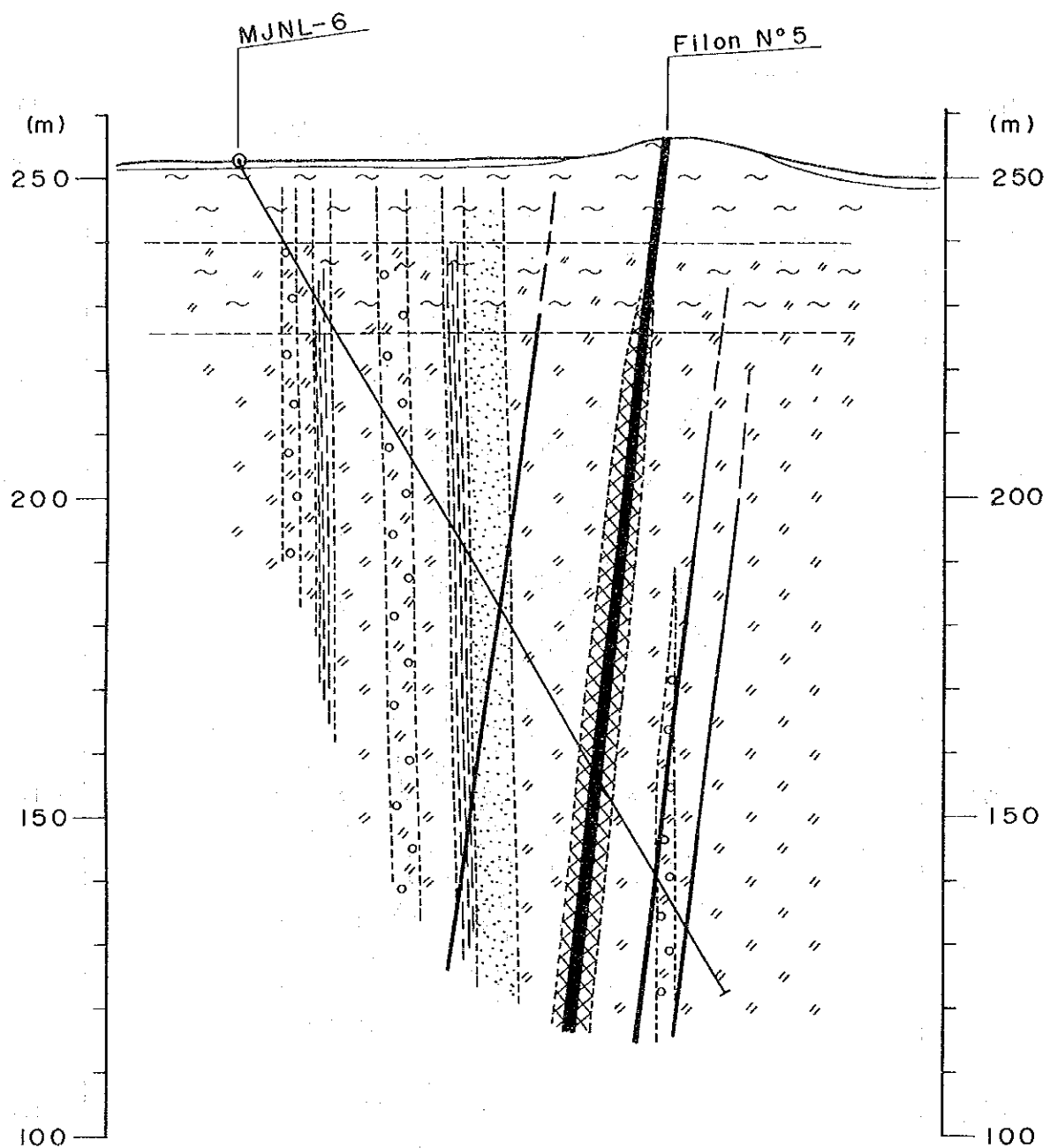
Direction: SW 10°, Angle: -60°

Apc. 40(4) Coupe géologique du trou de sondage MJNL-4 à la région de Séfa Nangue.



MJNL-5
 Altitude: 239.1m, Profondeur: 150.40m
 Direction: SW 20°, Angle: -60°

Apc. 40(5) Coupe géologique du trou de sondage MJNL-5 à la région de Séfa Nangue

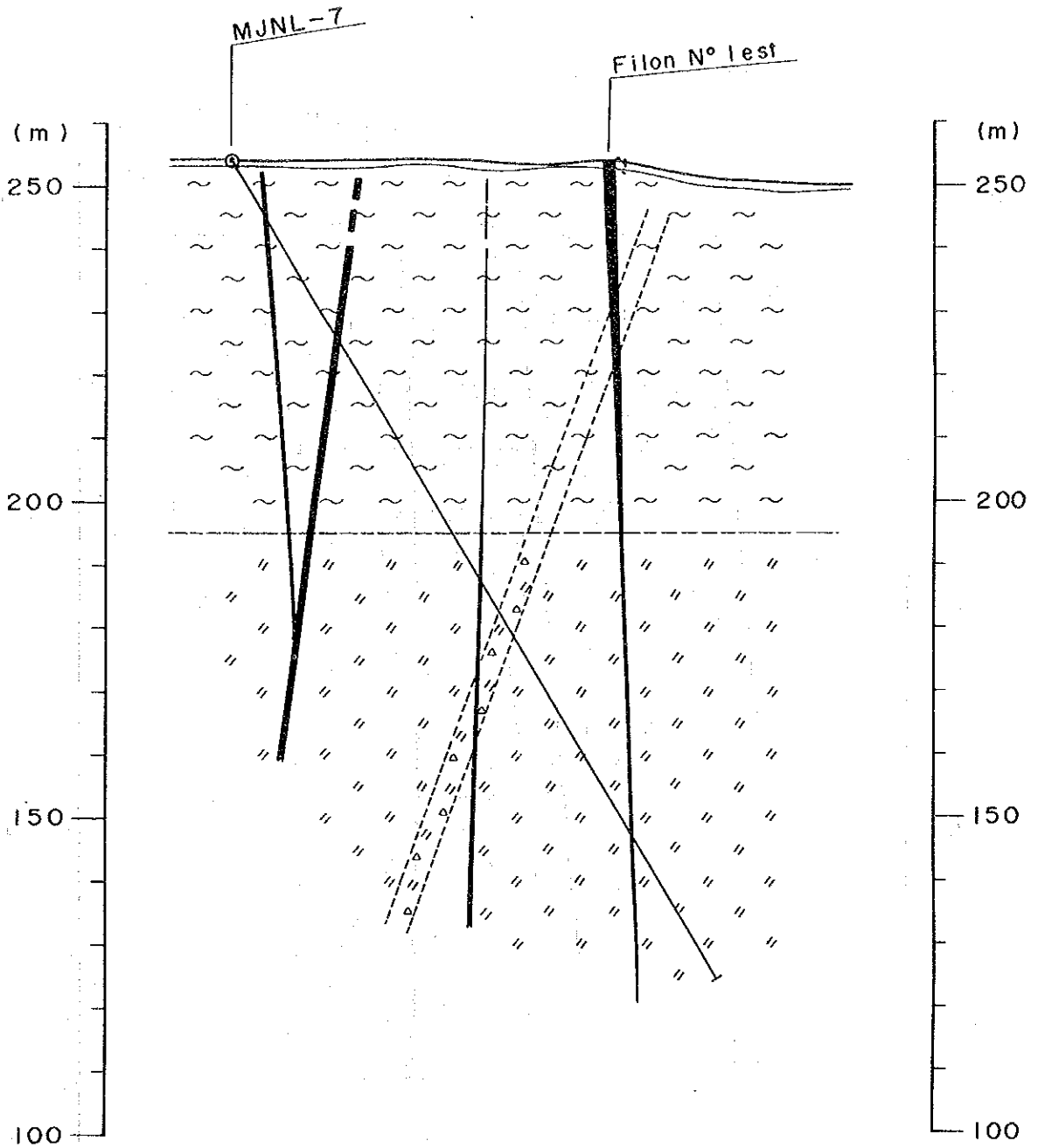


MJNL - 6

Altitude: 252.8m, Profondeur: 150.70m

Direction: S, Angle: -60°

Apc. 40 (6) Coupe géologique du trou de sondage MJNL - 6 à la région de Séfa Nangué

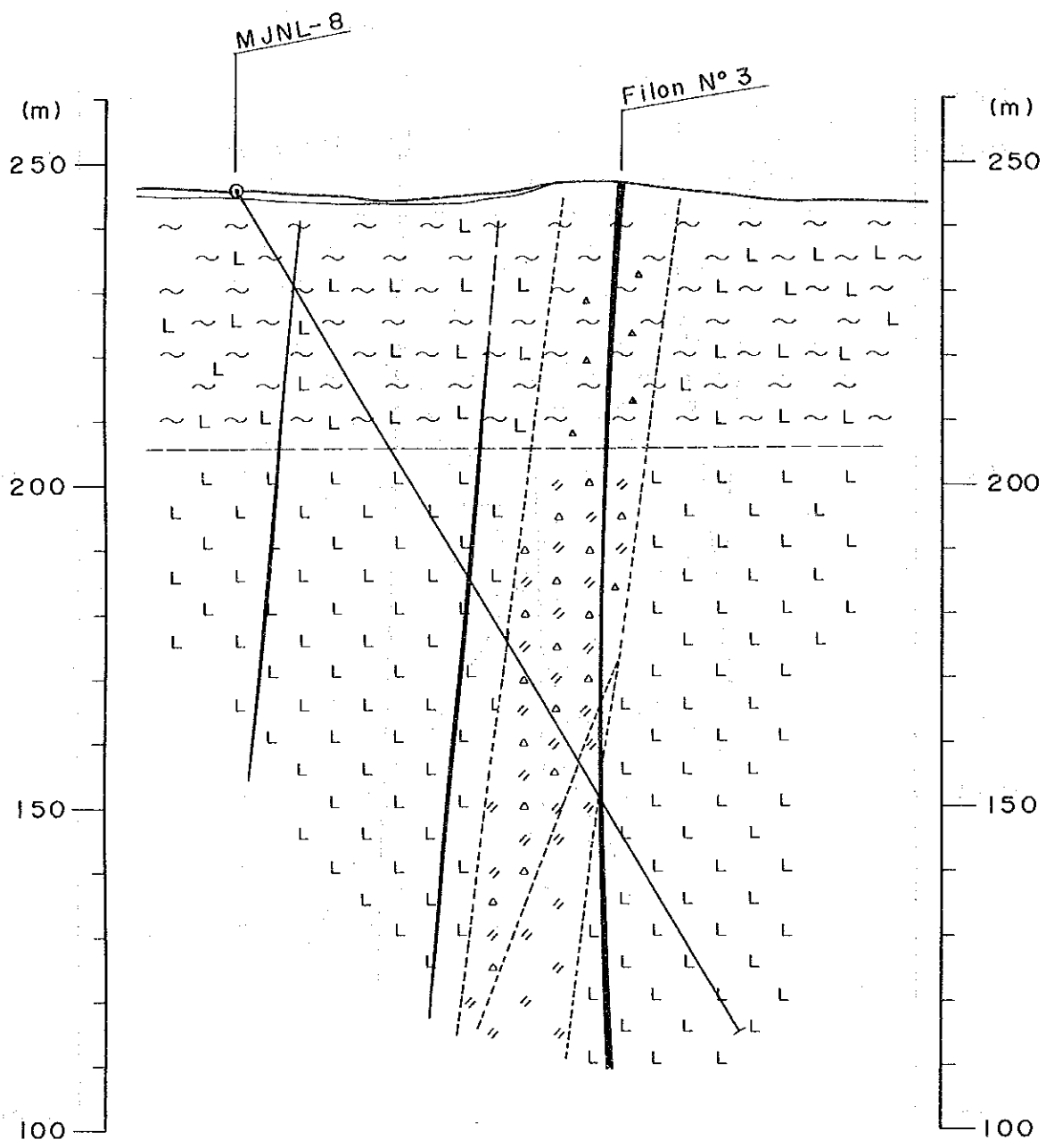


MJNL-7

Altitude: 254.0m, Profondeur: 150.30m

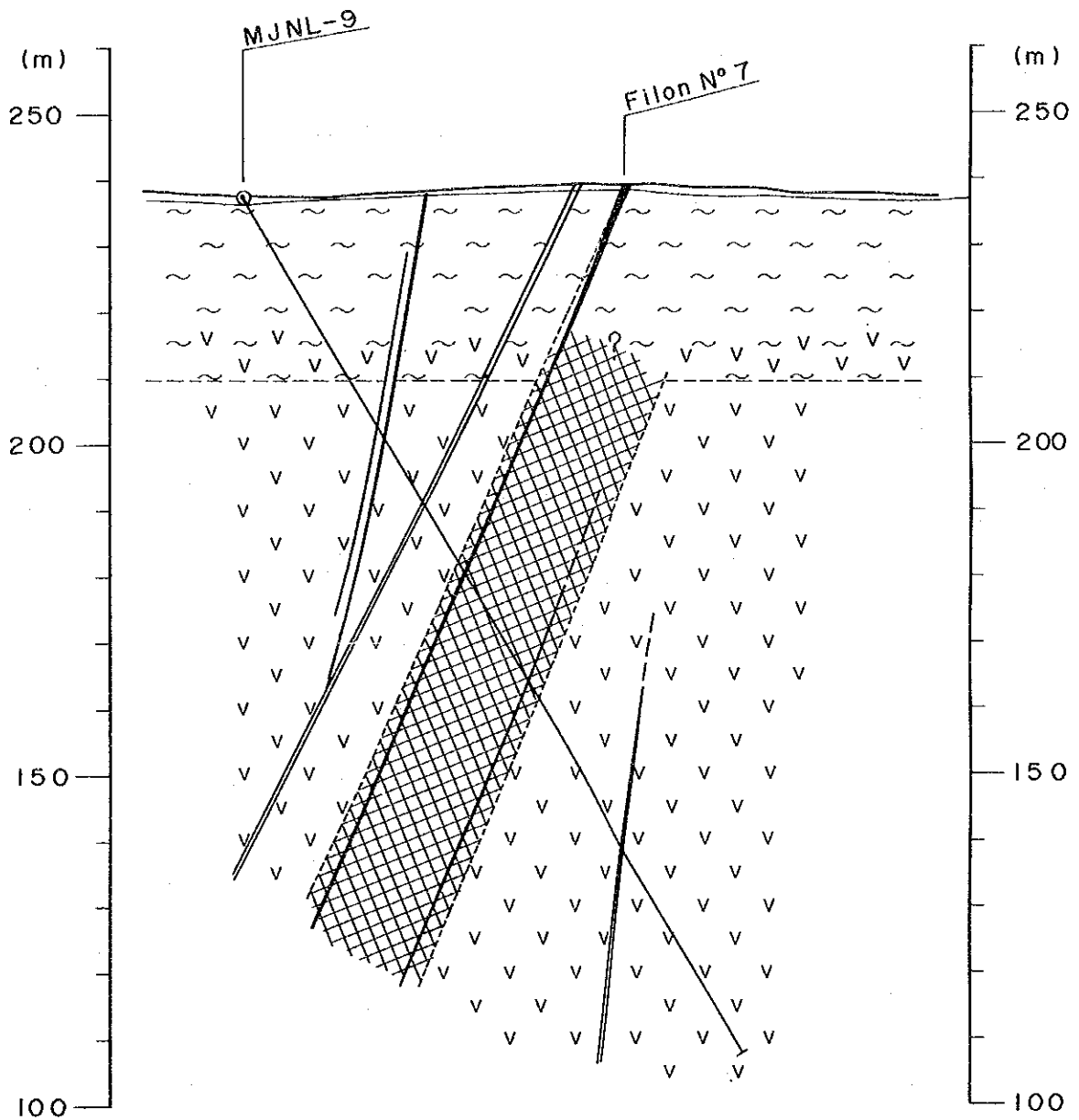
Direction: S, Angle: -60°

Apc. 40(7) Coupe géologique du trou de sondage MJNL-7 à la région de Séfa Nangué



MJNL-8
 Altitude: 245.7m, Profondeur: 152.30m
 Direction: SW 20°, Angle: -60°

Apc. 40 (8). Coupe géologique du trou de sondage MJNL-8 à la région de Séfa Nangue



MJNL - 9

Altitude: 237.3m, Profondeur: 150.50m

Direction: SW 20°, Angle: -60°

Apc. 40 (9) Coupe géologique du trou de sondage MJNL - 9 à la région de Séfa Nangue

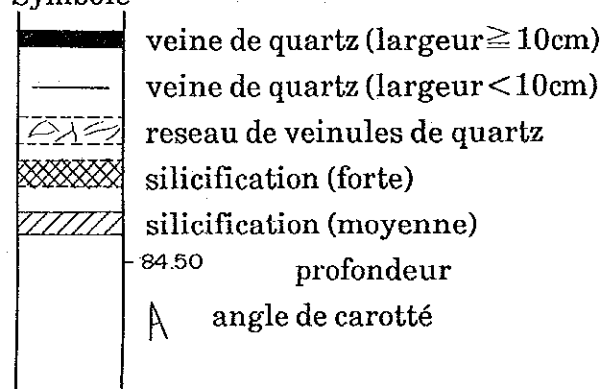
Apc . 4 1 Colonne de sondage (MJNL-1~9)

Localité	Numéro de sondage	Localité de sondage		Altitude (m)	Direction (°)	Angle (°)	Profondeur (m)
		E (km)	N (km)				
Déba	MJNL-1	291.033	1961.425	248.8	NE 70	-60	151.00
Séfa Nangué	MJNL-2	289.637	1467.249	261.6	SW 20	-60	153.80
	MJNL-3	289.823	1467.229	252.7	S	-60	153.50
	MJNL-4	289.423	1467.423	243.3	SW 10	-60	150.50
	MJNL-5	289.290	1467.450	239.1	SW 20	-60	150.40
	MJNL-6	289.687	1467.120	252.8	S	-60	150.70
	MJNL-7	290.109	1467.255	254.0	S	-60	150.30
	MJNL-8	289.582	1467.510	245.7	SW 20	-60	152.30
	MJNL-9	289.316	1467.600	237.3	SW 20	-60	150.50

Abréviation

- Q : veine de quartz
- B : stratification
- S : schistosité
- C : contact de roche
- QV : veine de quartz
- Sld : minéral de sulfure
- Sil : silicification
- Arg : argillisation

Symbole



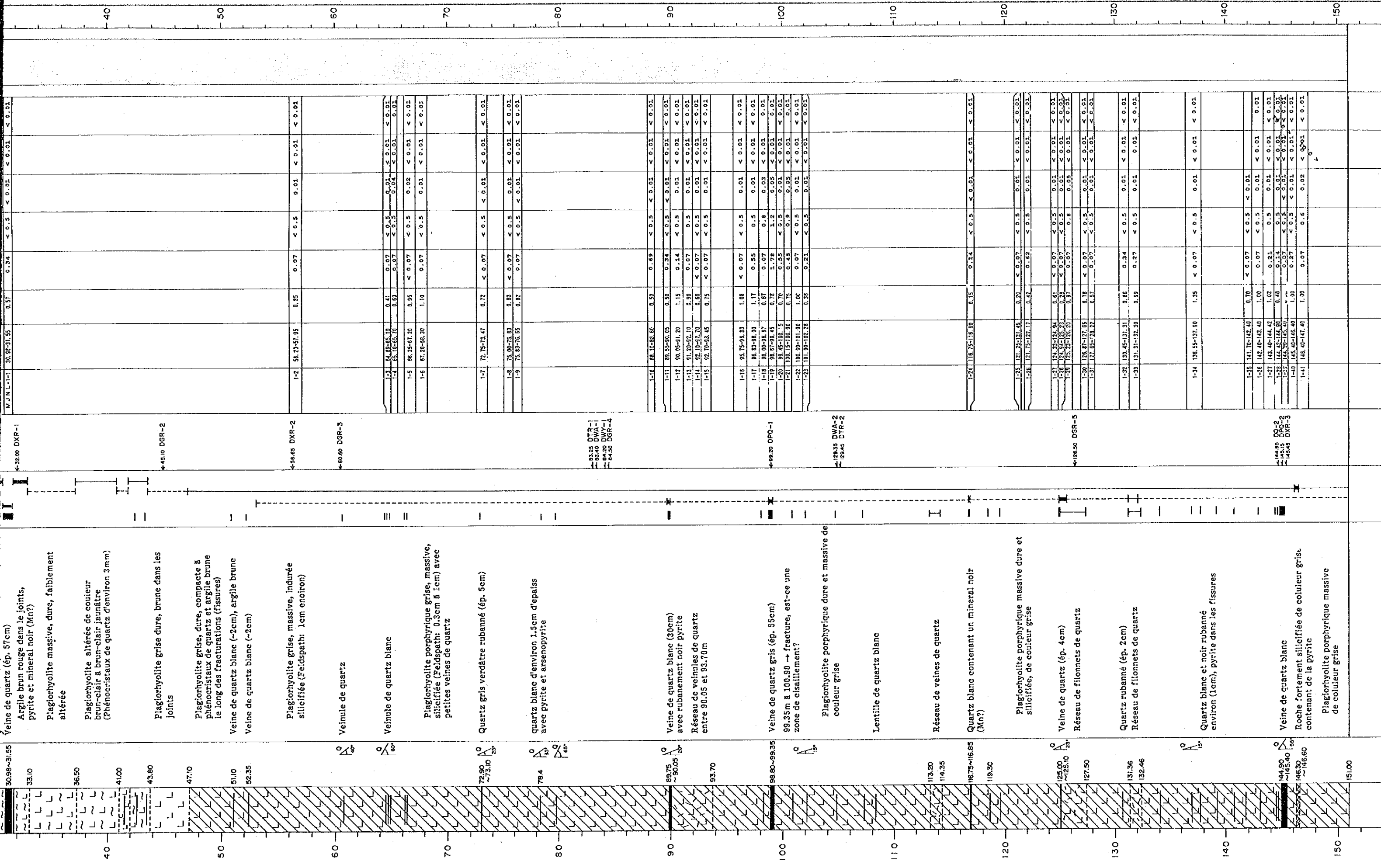
Échantillon d'examen

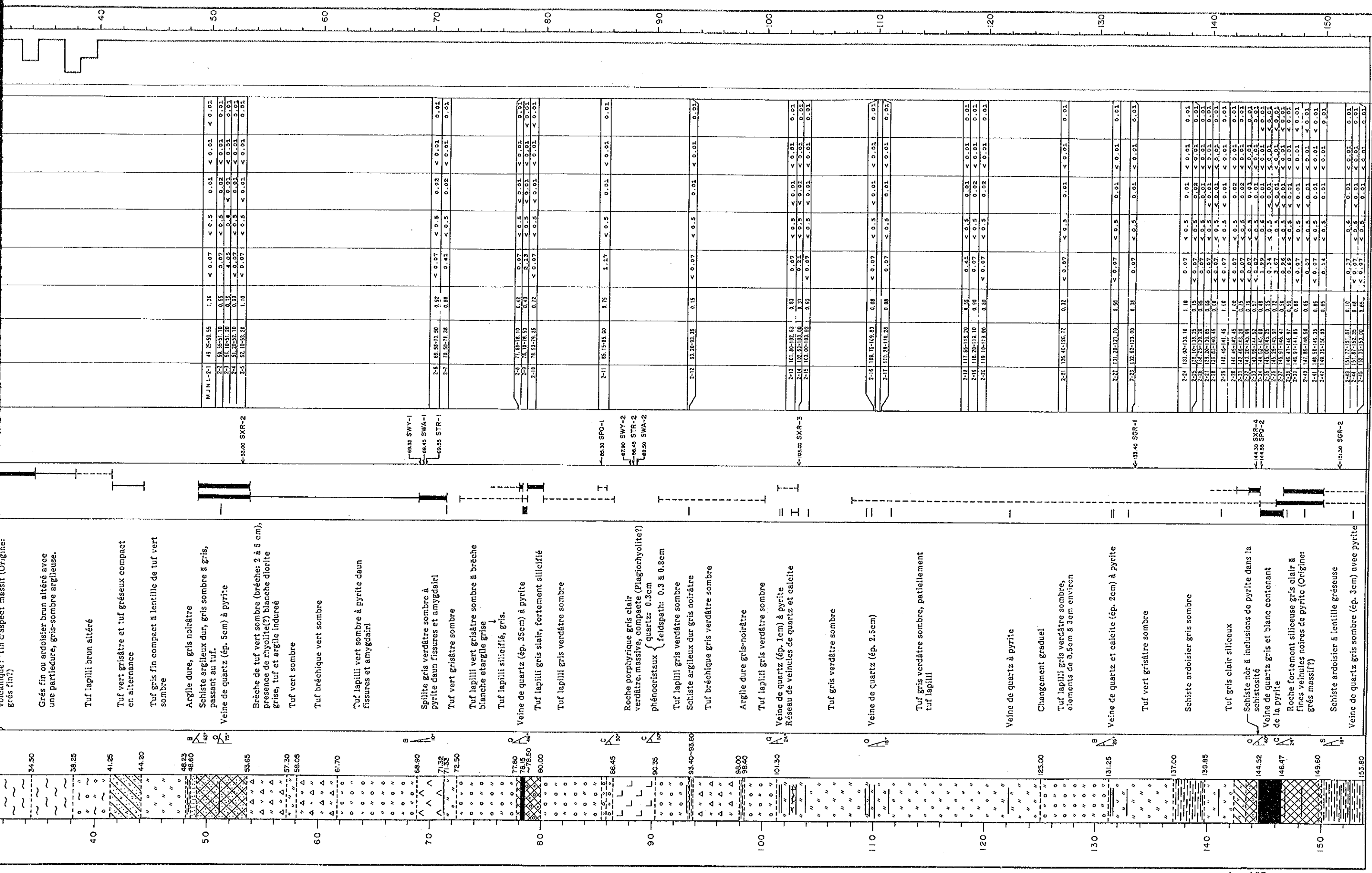
- D : région de Déba
- S : région de Séfa Nangué
- WA : analyse chimique
- TR : lame mince de roche
- XR : rayon X diffraction
- PQ : lame polie de mineraïs
- WR : analyse complète de roche
- WY : la détermination d'âge

Minélarisation et altération

- forte
- moyenne
- faible

Apc.41 Colonne de sondage de MJNL-1 ~ 9





volcanique? In d'aspect massif (Origine: grès fin?)

Grès fin ou ardoisier brun altéré avec une partiedure, gris-sombre argileuse.

Tuf lapilli brun altéré

Tuf vert grisâtre et tuf gréseux compact en alternance

Tuf gris fin compact à lentille de tuf vert sombre

Argile dure, gris noirâtre

Schiste argileux dur, gris sombre à gris, passant au tuf.

Veine de quartz (ép. 5cm) à pyrite

Brèche de tuf vert sombre (brèche: 2 à 5 cm), présence de rhyolite(?) blanche diorite grise, tuf et argile indurée

Tuf vert sombre

Tuf bréchique vert sombre

Tuf lapilli vert sombre à pyrite daun fissures et amygdalair

Spoilite gris verdâtre sombre à pyrite daun fissures et amygdalair

Tuf vert grisâtre sombre

Tuf lapilli vert grisâtre sombre à brèche blanche et argile grise

Tuf lapilli silicifié, gris.

Veine de quartz (ép. 35cm) à pyrite

Tuf lapilli gris slair, fortement silicifié

Tuf lapilli gris verdâtre sombre

Roche porphyrique gris clair verdâtre massive, compacte (Plagioclholite?) phénoocristaux { quartz: 0.3cm

Tuf lapilli gris verdâtre sombre

Schiste argileux dur gris noirâtre

Tuf bréchique gris verdâtre sombre

Argile dure gris-noirâtre

Tuf lapilli gris verdâtre sombre

Veine de quartz (ép. 1cm) à pyrite

Réseau de veinules de quartz et calcite

Tuf gris verdâtre sombre

Veine de quartz (ép. 2.5cm)

Tuf gris verdâtre sombre, patiellement tuf lapilli

Veine de quartz à pyrite

Changement graduel

Tuf lapilli gris verdâtre sombre, éléments de 0.5cm à 3cm environ

Veine de quartz et calcite (ép. 2cm) à pyrite

Tuf vert grisâtre sombre

Schiste ardoisier gris sombre

Tuf gris clair siliceux

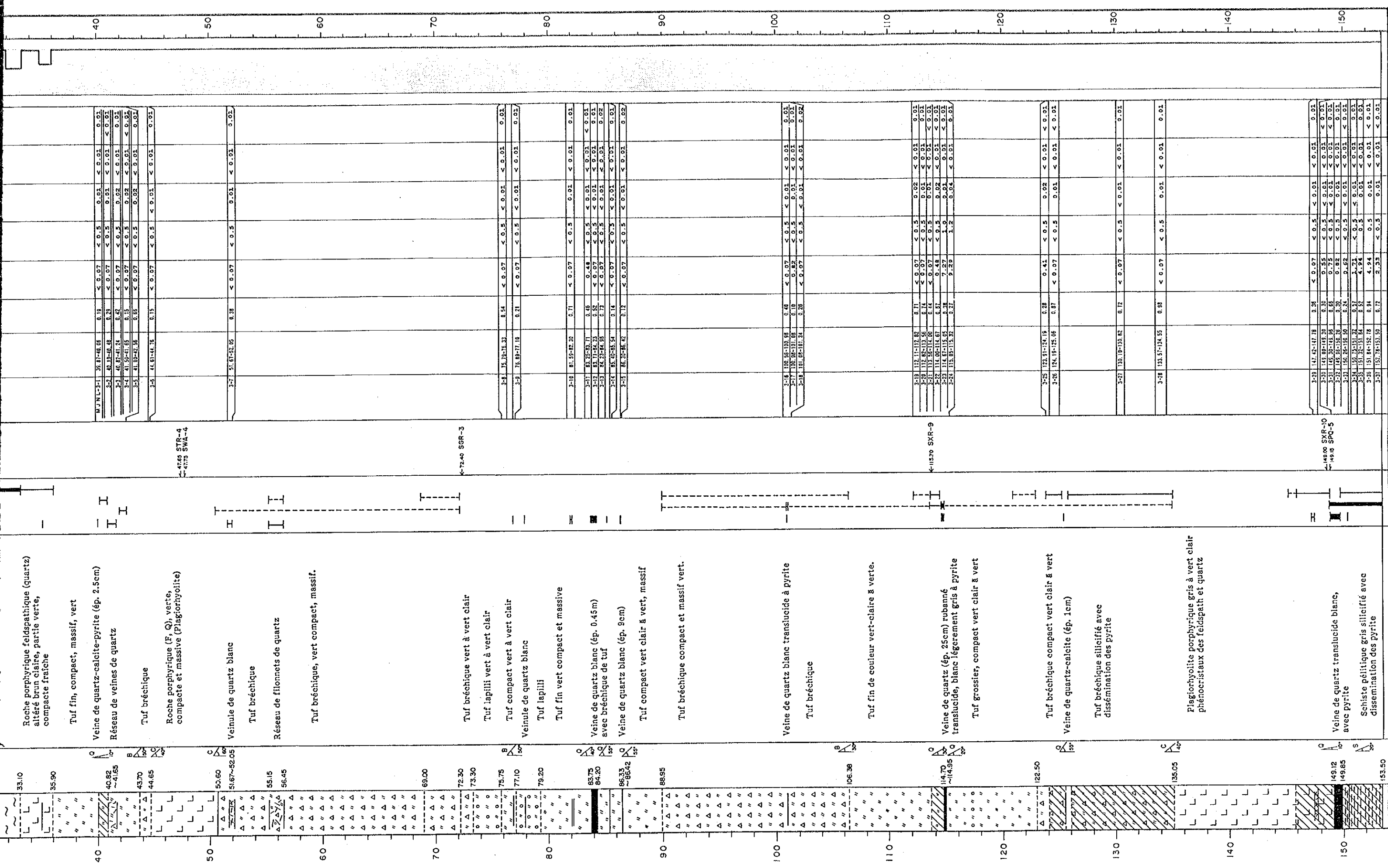
Schiste noir à inclusions de pyrite dans la schistosité

Veine de quartz gris et blanc contenant de la pyrite

Roche fortement siliceuse gris clair à fines veinules noires de pyrite (Origine: grès massif?)

Schiste ardoisier à lentille gréseuse

Veine de quartz gris sombre (ép. 3cm) avec pyrite

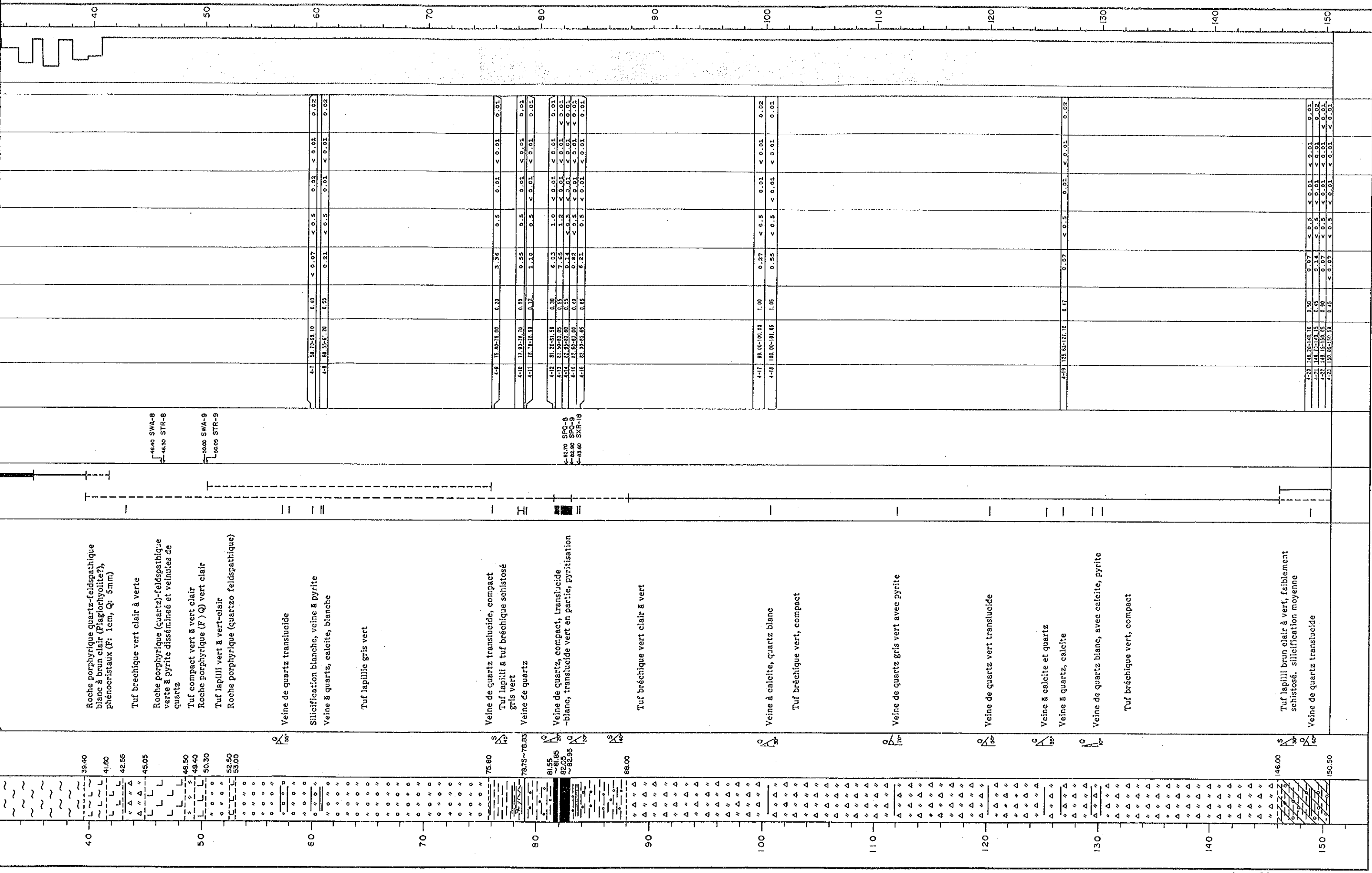


4745 STR-4
4775 SWA-4

7240 SGR-3

11270 SKR-9

14900 SYR-10
14910 SPO-5



4640 SWA-8
4630 STR-6

5000 SWA-9
5005 STR-9

8270 SPQ-8
8280 SWA-9
8290 STR-10

4600

5050

ApC.41(5)

MJNL-5

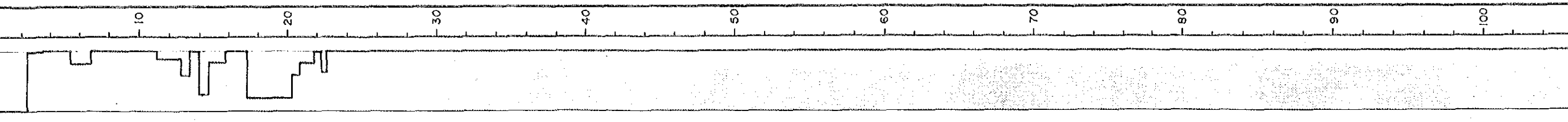
Localité: Séfa Nangue

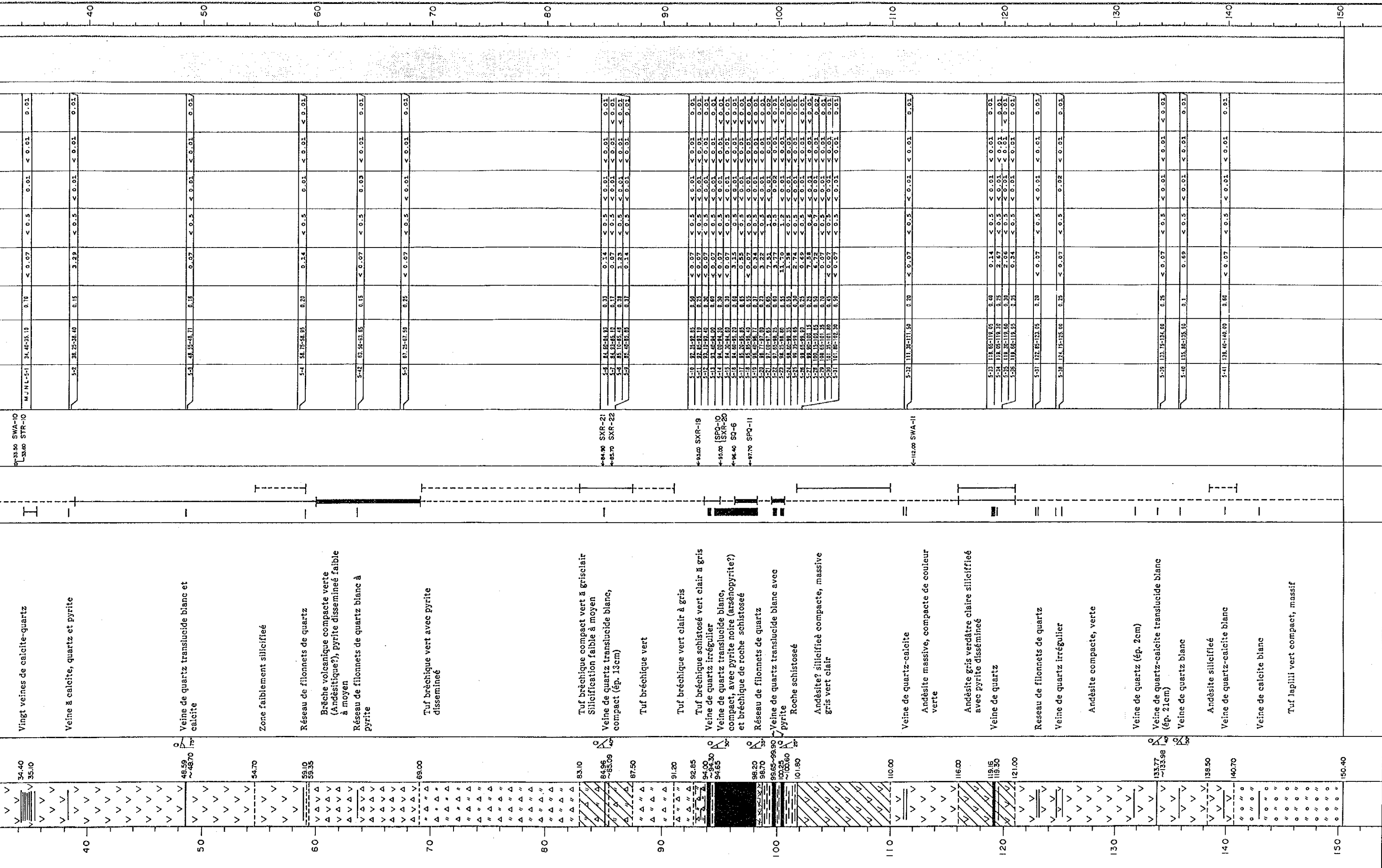
Altitude: 239.1m

Directions: SW20°

Angle: -60° Profondeur: 150.40m

Echelle (m)	Colonne Géologique	Profondeur Angle Carotte (m) (°)	Description des formations géologiques	Minéralisations Alternations	Numero échantillon pour examens	Resultats d'analyse						Récupération Carottes %
						Profondeur échantillon (m)	Longeur échantillon (m)	Au g/t	Ag g/k	Cu %	Pb %	
2.40			Non carotté									
15.00			Roche (argileuse) fortement altérée brun, claire à blanche									
24.70			Andésite verte, compacte, faiblement altérée, massive, à grains fins. Veine de quartz 1cm									
34.40 35.10			Vingt veines de calcite-quartz		3350 SWA-10 3360 STR-10	0.70	< 0.07	< 0.5	0.01	< 0.01	< 0.01	
48.59 48.70			Veine à calcite, quartz et pyrite			0.15	3.29	< 0.5	< 0.01	< 0.01	< 0.01	
54.70			Veine de quartz translucide blanc et calcite			0.18	0.07	< 0.5	< 0.01	< 0.01	< 0.01	
59.10 59.35			Zone faiblement silicifiée			0.20	0.14	< 0.5	0.01	< 0.01	< 0.01	
63.10			Réseau de filonnets de quartz			0.15	< 0.07	< 0.5	0.03	< 0.01	< 0.01	
64.96 65.09 64.65			Brèche volcanique compacte verte (Andésitique?), pyrite disseminée faible à moyen Réseau de filonnets de quartz blanc à pyrite			0.25	< 0.07	< 0.5	< 0.01	< 0.01	< 0.01	
67.50			Tuf bréchique vert avec pyrite disseminée			0.25	< 0.07	< 0.5	< 0.01	< 0.01	< 0.01	
83.10			Tuf bréchique compact vert à grisclair Silicification faible à moyen		4400 SXR-21 4570 SXR-22	0.33	0.14	< 0.5	< 0.01	< 0.01	< 0.01	
84.90 85.09 84.65			Veine de quartz translucide blanc, compact (ép. 13cm)			0.11	0.07	< 0.5	< 0.01	< 0.01	< 0.01	
87.50			Tuf bréchique vert			0.38	3.23	< 0.5	< 0.01	< 0.01	< 0.01	
91.20			Tuf bréchique vert clair à gris			0.37	0.14	< 0.5	< 0.01	< 0.01	< 0.01	
92.85			Tuf bréchique schistosé vert clair à gris			0.34	0.14	< 0.5	< 0.01	< 0.01	< 0.01	
94.90 94.65			Veine de quartz irrégulier Veine de quartz translucide blanc, compact, avec pyrite noire (arséno-pyrite?) et bréchique de roche schistosée			0.39	0.07	< 0.5	< 0.01	< 0.01	< 0.01	
96.20 96.70 96.65-99.90 100.25 100.60 101.80			Réseau de filonnets de quartz Veine de quartz translucide blanc avec pyrite Roche schistosée Andésite? silicifiée compacte, massive gris vert clair			0.46	0.55	< 0.5	< 0.01	< 0.01	< 0.01	





Vingt veines de calcite-quartz

Veine à calcite, quartz et pyrite

Veine de quartz translucide blanc et calcite

Zone faiblement silicifiée

Réseau de filonnets de quartz

Brèche volcanique compacte verte (Andésitique?), pyrite disséminée faible à moyen

Réseau de filonnets de quartz blanc à pyrite

Tuf bréchique vert avec pyrite disséminée

Tuf bréchique compact vert à grisclair
Silicification faible à moyen

Veine de quartz translucide blanc, compact (ép. 13cm)

Tuf bréchique vert

Tuf bréchique vert clair à gris

Tuf bréchique schistosé vert clair à gris
Veine de quartz irrégulier

Veine de quartz translucide blanc, compact, avec pyrite noire (arsénopyrite?) et bréchique de roche schistosée

Réseau de filonnets de quartz

Veine de quartz translucide blanc avec pyrite

Roche schistosée

Andésite? silicifiée compacte, massive gris vert clair

Veine de quartz-calcite

Andésite massive, compacte de couleur verte

Andésite gris verdâtre claire silicifiée avec pyrite disséminée

Veine de quartz

Réseau de filonnets de quartz

Veine de quartz irrégulier

Andésite compacte, verte

Veine de quartz (ép. 2cm)

Veine de quartz-calcite translucide blanc (ép. 21cm)

Veine de quartz blanc

Andésite silicifiée

Veine de quartz-calcite blanc

Veine de calcite blanc

Tuf lapilli vert compact, massif

84.90	84.90-84.93	0.33	0.14	< 0.5	< 0.01	< 0.01	0.01
85.70	84.91-85.12	0.17	0.07	< 0.5	< 0.01	< 0.01	< 0.01
	85.10-85.48	0.38	1.23	< 0.5	< 0.01	< 0.01	< 0.01
	85.48-85.85	0.37	0.14	< 0.5	< 0.01	< 0.01	0.01
	87.35-87.85	0.50	< 0.07	< 0.5	< 0.01	< 0.01	0.01
	87.85-88.19	0.23	< 0.07	< 0.5	< 0.01	< 0.01	0.01
	88.19-89.40	0.30	< 0.07	< 0.5	< 0.01	< 0.01	0.01
	89.40-90.00	0.69	< 0.07	< 0.5	< 0.01	< 0.01	0.01
	90.00-90.40	0.39	< 0.07	< 0.5	< 0.01	< 0.01	0.01
	90.40-90.80	0.64	< 0.07	< 0.5	< 0.01	< 0.01	0.01
	90.80-91.20	0.64	3.15	< 0.5	< 0.01	< 0.01	0.01
	91.20-91.85	0.65	< 0.55	< 0.5	< 0.01	< 0.01	< 0.01
	91.85-92.45	0.55	< 0.07	< 0.5	< 0.01	< 0.01	< 0.01
	92.45-92.77	0.27	0.34	< 0.5	< 0.01	< 0.01	< 0.01
	92.77-93.00	0.27	3.22	< 0.5	< 0.01	< 0.01	< 0.01
	93.00-93.40	0.62	7.54	< 0.5	< 0.01	< 0.01	< 0.01
	93.40-93.80	0.62	13.70	< 0.5	< 0.01	< 0.01	< 0.01
	93.80-94.20	0.55	13.70	< 0.5	< 0.01	< 0.01	< 0.01
	94.20-94.60	0.55	2.74	< 0.5	< 0.01	< 0.01	< 0.01
	94.60-95.00	0.50	2.74	< 0.5	< 0.01	< 0.01	< 0.01
	95.00-95.40	0.25	0.69	< 0.5	< 0.01	< 0.01	< 0.01
	95.40-95.80	0.25	7.58	< 0.5	< 0.01	< 0.01	< 0.01
	95.80-96.20	0.25	0.67	< 0.5	< 0.01	< 0.01	< 0.01
	96.20-96.60	0.20	0.07	< 0.5	< 0.01	< 0.01	< 0.01
	96.60-97.00	0.45	< 0.07	< 0.5	< 0.01	< 0.01	< 0.01
	97.00-97.40	0.50	< 0.07	< 0.5	< 0.01	< 0.01	< 0.01

111.20-111.50	0.20	< 0.07	< 0.5	< 0.01	< 0.01	< 0.01	0.01
---------------	------	--------	-------	--------	--------	--------	------

118.65-118.95	0.40	0.14	< 0.5	< 0.01	< 0.01	< 0.01	0.01
118.95-119.30	0.34	2.64	< 0.5	< 0.01	< 0.01	< 0.01	0.01
119.30-119.60	0.38	2.06	< 0.5	< 0.01	< 0.01	< 0.01	< 0.01
119.60-119.95	0.35	0.34	< 0.5	< 0.01	< 0.01	< 0.01	0.01

122.85-123.05	0.20	< 0.07	< 0.5	< 0.01	< 0.01	< 0.01	0.01
---------------	------	--------	-------	--------	--------	--------	------

124.15-125.00	0.25	< 0.07	< 0.5	0.02	< 0.01	< 0.01	0.01
---------------	------	--------	-------	------	--------	--------	------

133.15-134.00	0.25	< 0.07	< 0.5	< 0.01	< 0.01	< 0.01	< 0.01
---------------	------	--------	-------	--------	--------	--------	--------

135.80-135.90	0.1	0.69	< 0.5	< 0.01	< 0.01	< 0.01	0.01
---------------	-----	------	-------	--------	--------	--------	------

138.40-140.00	0.60	< 0.07	< 0.5	< 0.01	< 0.01	< 0.01	0.01
---------------	------	--------	-------	--------	--------	--------	------

ApC. 41(6)

MJNL-6

Localité: Séfa Nangue

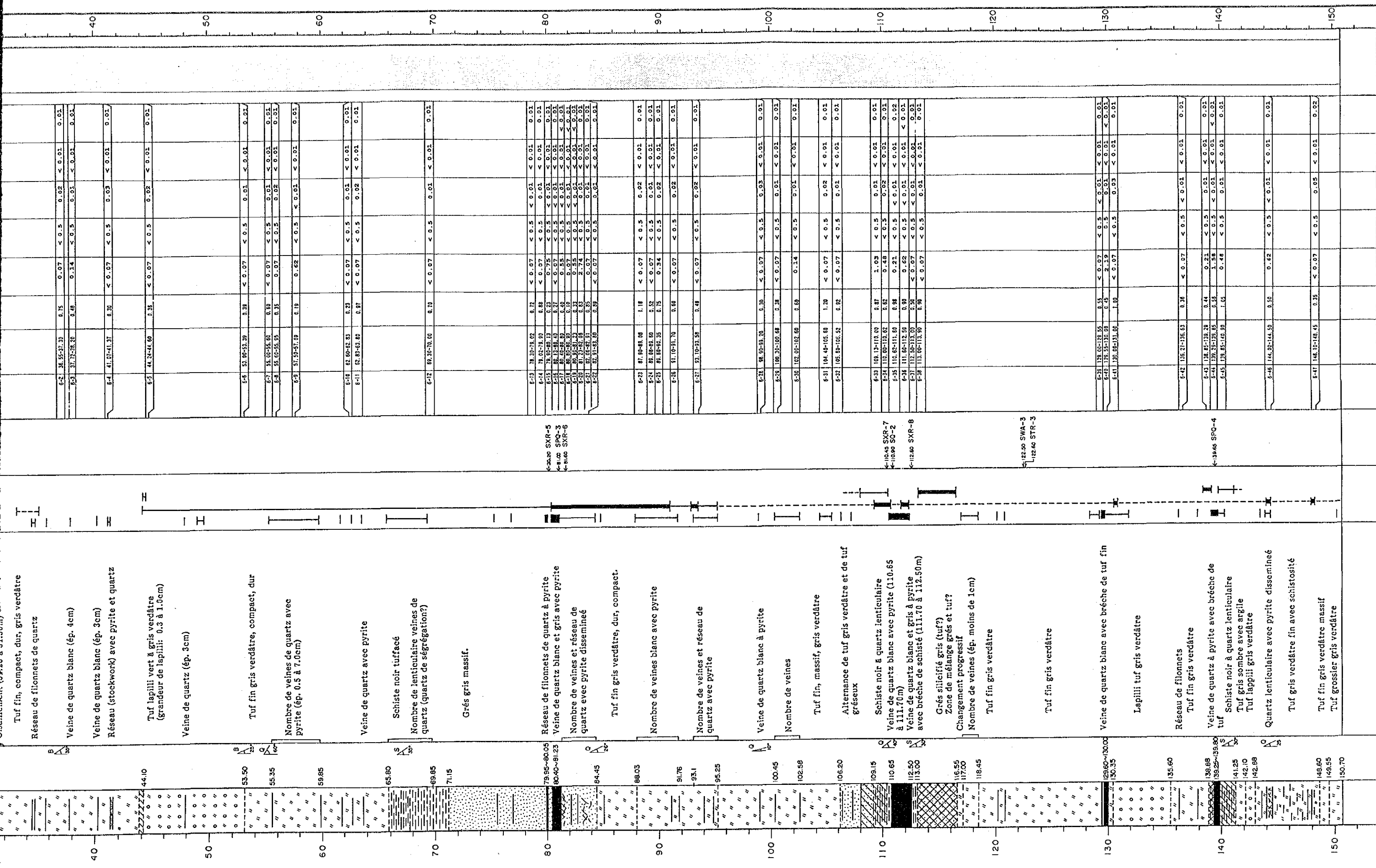
Altitude: 252.8m

Direction: S

Anglet - 60° Profondeur 150.70m

Echelle (m)	Colonne Géologique	Profondeur Angle Carotte (m) (°)	Description des formations géologiques	Minéralisations Alterations	Numero échantillon pour examens	Resultats d'analyse					Récuperation Carottes (%)	
						Numéro échantillon	Profondeur (m)	Longeur échantillon (m)	Au g/t	Ag g/k		Cu %
3.05			Non carotté									
13.70			Roche fortement altérée brune, initialement un tuf ou un tuf lapilli?									
14.90			Tuf fin altéré brun rougeâtre									
18.45			Tuf lapilli fortement altéré brun à brun verdâtre									
23.85			Tuf brun verdâtre clair, faiblement altéré									
29.05			Veine de quartz brun									
31.30			Schiste pélicite brun altéré zone de cisaillement (23.85m à 25.55m)									
44.10			Tuf lapilli à tuf grossier, brun verdâtre faiblement altéré Cisaillement (31.20 à 31.30m)									
53.50			Tuf fin, compact, dur, gris verdâtre									
55.35			Réseau de filonnets de quartz									
59.85			Veine de quartz blanc (ép. 4cm)									
65.80			Veine de quartz blanc (ép. 3cm)									
69.85			Réseau (stockwork) avec pyrite et quartz									
71.15			Tuf lapilli vert à gris verdâtre (grandeur de lapilli: 0.3 à 1.0cm)									
79.95-80.05			Veine de quartz (ép. 3cm)									
80.90-81.25			Tuf fin gris verdâtre, compact, dur									
84.45			Nombre de veines de quartz avec pyrite (ép. 0.5 à 7.0cm)									
88.03			Veine de quartz avec pyrite									
91.76			Schiste noir tuffacé									
93.1			Nombre de lenticulaire veines de quartz (quartz de ségrégation?)									
95.25			Grès gris massif.									
100.45			Réseau de filonnets de quartz à pyrite									
102.58			Veine de quartz blanc et gris avec pyrite									
106.20			Nombre de veines et réseau de quartz avec pyrite disséminé									
			Tuf fin gris verdâtre, dur, compact.									
			Nombre de veines blanc avec pyrite									
			Nombre de veines et réseau de quartz avec pyrite									
			Veine de quartz blanc à pyrite									
			Nombre de veines									
			Tuf fin, massif, gris verdâtre									

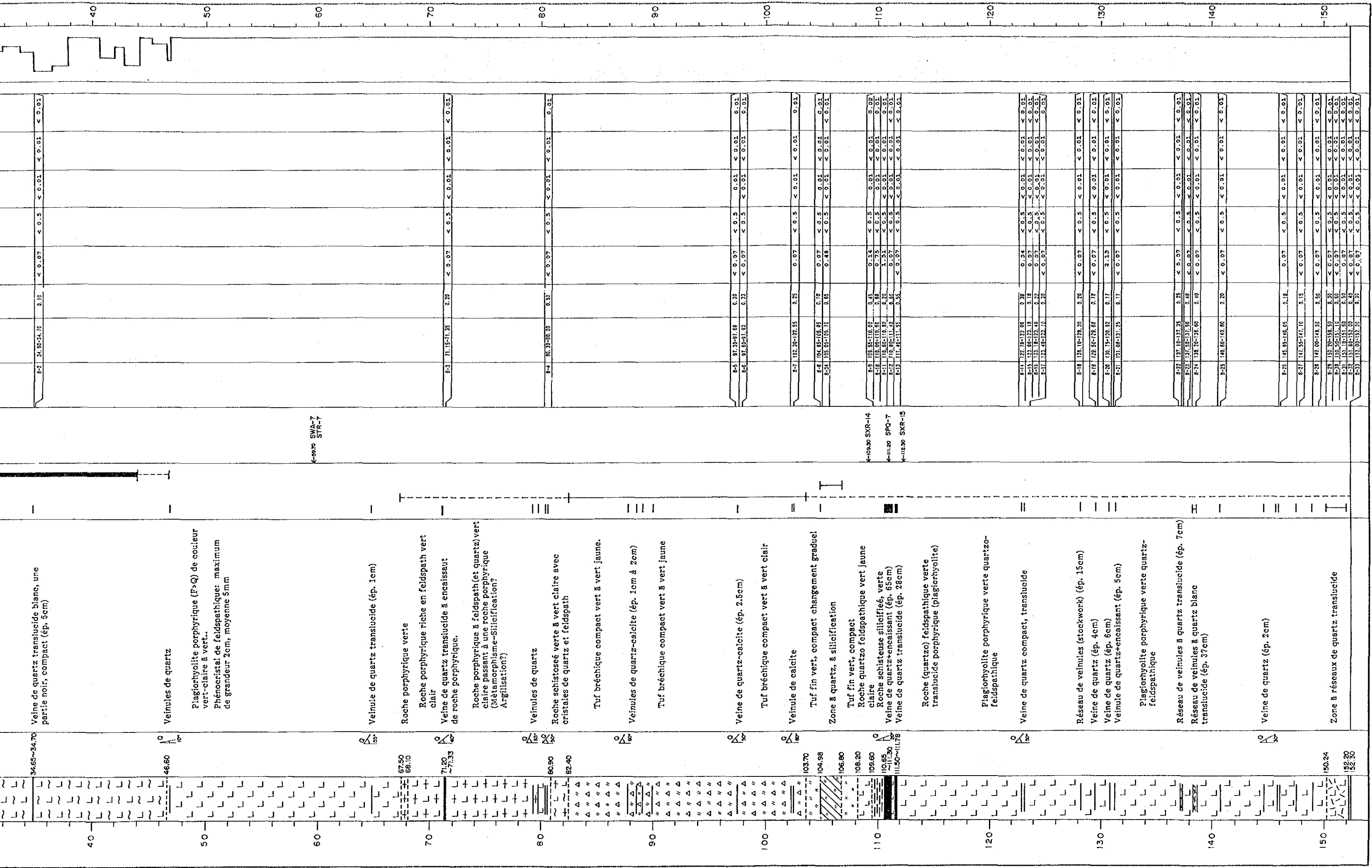
6-200 SXR-5
6-100 SPQ-3
6-100 SXR-6



0-1000 SXR-5
0-1000 SPO-3
0-1000 SXR-6

Tuf fin, compact, dur, gris verdâtre
Réseau de filonnets de quartz
Veine de quartz blanc (ép. 4cm)
Veine de quartz blanc (ép. 3cm)
Réseau (stockwork) avec pyrite et quartz
Tuf lapilli vert à gris verdâtre (grandeur de lapilli: 0.3 à 1.0cm)
Veine de quartz (ép. 3cm)
Tuf fin gris verdâtre, compact, dur
Nombre de veines de quartz avec pyrite (ép. 0.5 à 7.0cm)
Veine de quartz avec pyrite
Schiste noir tuffacé
Nombre de lenticulaire veines de quartz (quartz de ségrégation?)
Grès gris massif.
Tuf fin gris verdâtre, dur, compact.
Nombre de veines blanc avec pyrite
Nombre de veines et réseau de quartz avec pyrite
Veine de quartz blanc à pyrite
Nombre de veines
Tuf fin, massif, gris verdâtre
Alternance de tuf gris verdâtre et de tuf gréseux
Schiste noir à quartz lenticulaire
Veine de quartz blanc avec pyrite (110.65 à 111.70m)
Veine de quartz blanc et gris à pyrite avec brèche de schiste (111.70 à 112.50m)
Grès silicifié gris (tuf?)
Zone de mélange grès et tuf?
Changement progressif
Nombre de veines (ép. moins de 1cm)
Tuf fin gris verdâtre
Tuf fin gris verdâtre
Veine de quartz blanc avec brèche de tuf fin
Lapilli tuf gris verdâtre
Réseau de filonnets
Tuf fin gris verdâtre
Veine de quartz à pyrite avec brèche de tuf
Schiste noir à quartz lenticulaire
Tuf gris sombre avec argile
Tuf lapilli gris verdâtre
Quartz lenticulaire avec pyrite disséminé
Tuf gris verdâtre fin avec schistosité
Tuf fin gris verdâtre massif
Tuf grossier gris verdâtre

6-1 36.55-37.30 0.75 0.07 < 0.5 0.02 < 0.01 0.01
6-2 37.37-38.20 0.83 0.14 < 0.5 0.01 < 0.01 0.01
6-3 41.07-41.31 0.24 < 0.07 < 0.5 0.03 < 0.01 0.01
6-4 44.24-44.60 0.36 < 0.07 < 0.5 0.02 < 0.01 0.01
6-5 51.00-51.39 0.39 < 0.07 < 0.5 0.01 < 0.01 0.01
6-6 53.00-55.00 0.89 < 0.07 < 0.5 0.01 < 0.01 0.01
6-7 55.00-55.55 0.55 0.07 < 0.5 0.02 < 0.01 0.01
6-8 55.55-55.55 0.35 0.07 < 0.5 0.02 < 0.01 0.01
6-9 57.50-57.89 0.39 0.62 < 0.5 < 0.01 < 0.01 0.01
6-10 62.60-62.83 0.23 < 0.07 < 0.5 0.01 < 0.01 0.01
6-11 62.83-63.80 0.97 < 0.07 < 0.5 0.02 < 0.01 0.01
6-12 69.30-70.00 0.70 < 0.07 < 0.5 0.01 < 0.01 0.01
6-13 78.30-78.02 0.72 < 0.07 < 0.5 < 0.01 < 0.01 0.01
6-14 78.02-78.90 0.88 < 0.07 < 0.5 0.03 < 0.01 0.01
6-15 79.95-80.05 0.23 < 0.07 < 0.5 < 0.01 < 0.01 0.01
6-16 80.40-81.23 0.23 < 0.07 < 0.5 < 0.01 < 0.01 0.01
6-17 80.40-81.23 0.40 0.55 < 0.5 < 0.01 < 0.01 0.01
6-18 80.40-81.23 0.10 0.07 < 0.5 < 0.01 < 0.01 0.01
6-19 80.40-81.23 0.10 0.07 < 0.5 < 0.01 < 0.01 0.01
6-20 80.40-81.23 0.10 0.07 < 0.5 < 0.01 < 0.01 0.01
6-21 80.40-81.23 0.10 0.07 < 0.5 < 0.01 < 0.01 0.01
6-22 80.40-81.23 0.10 0.07 < 0.5 < 0.01 < 0.01 0.01
6-23 81.90-84.00 1.10 < 0.07 < 0.5 0.02 < 0.01 0.01
6-24 85.00-85.00 0.52 < 0.07 < 0.5 0.01 < 0.01 0.01
6-25 85.00-85.35 0.75 0.34 < 0.5 0.02 < 0.01 0.01
6-26 91.10-91.70 0.60 < 0.07 < 0.5 0.02 < 0.01 0.01
6-27 93.10-93.58 0.48 < 0.07 < 0.5 0.02 < 0.01 0.01
6-28 95.90-99.70 0.30 < 0.07 < 0.5 0.03 < 0.01 0.01
6-29 100.30-100.68 0.38 < 0.07 < 0.5 0.01 < 0.01 0.01
6-30 102.00-102.60 0.60 0.14 < 0.5 0.01 < 0.01 0.01
6-31 104.40-105.60 1.20 < 0.07 < 0.5 0.02 < 0.01 0.01
6-32 106.90-108.52 0.62 < 0.07 < 0.5 0.01 < 0.01 0.01
6-33 109.15-110.00 0.85 2.03 < 0.5 0.01 < 0.01 0.01
6-34 110.65-112.00 0.62 0.48 < 0.5 0.02 < 0.01 0.01
6-35 112.50-113.00 0.50 0.62 < 0.5 < 0.01 < 0.01 0.01
6-36 113.00-113.90 0.90 < 0.07 < 0.5 < 0.01 < 0.01 0.01
6-37 113.00-113.90 0.90 < 0.07 < 0.5 < 0.01 < 0.01 0.01
6-38 113.00-113.90 0.90 < 0.07 < 0.5 < 0.01 < 0.01 0.01
6-39 139.80-140.00 0.35 < 0.07 < 0.5 < 0.01 < 0.01 0.01
6-40 139.80-140.00 0.35 2.33 0.2 < 0.01 < 0.01 0.01
6-41 139.80-140.00 1.00 < 0.07 < 0.5 0.03 < 0.01 0.01
6-42 139.21-139.63 0.36 < 0.07 < 0.5 < 0.01 < 0.01 0.01
6-43 139.21-139.28 0.44 0.21 < 0.5 0.01 < 0.01 0.01
6-44 139.21-139.65 0.35 1.58 < 0.5 < 0.01 < 0.01 0.01
6-45 139.65-142.90 1.03 0.48 < 0.5 0.01 < 0.01 0.01
6-46 144.00-144.50 0.50 0.62 < 0.5 < 0.01 < 0.01 0.01
6-47 146.10-146.45 0.35 < 0.07 < 0.5 0.05 < 0.01 0.01
6-48 148.55-148.55 0.35 < 0.07 < 0.5 0.05 < 0.01 0.01
6-49 150.70-150.70 0.35 < 0.07 < 0.5 0.05 < 0.01 0.01



34.65-34.70
Veine de quartz translucide blanc, une partie noir, compact (ép. 5cm)

46.60
Veinules de quartz

Plagioclase porphyrique (F+Q) de couleur vert-claire à vert.
Phénocrystal de feldspathique: maximum de grandeur 2cm, moyenne 5mm

67.50
68.10
71.20
~71.33
Veinule de quartz translucide (ép. 1cm)

Roche porphyrique verte

Roche porphyrique riche en feldspath vert clair
Veine de quartz translucide à encaissant de roche porphyrique.

Roche porphyrique à feldspath (et quartz) vert clair passant à une roche porphyrique (Métamorphisme-Silicification? Argilisation?)

80.90
82.40
Veinules de quartz

Roche schistosee verte à vert clair avec cristaux de quartz et feldspath

Tuf bréchique compact vert à vert jaune.

Veinules de quartz-calcite (ép. 1cm à 2cm)

Tuf bréchique compact vert à vert jaune

103.70
104.98
106.80
108.20
109.60
109.85
111.30
111.50-111.78
Veine de quartz-calcite (ép. 2.5cm)

Tuf bréchique compact vert à vert clair

103.70
104.98
106.80
108.20
109.60
109.85
111.30
111.50-111.78
Veinule de calcite

Tuf fin vert, compact changement graduel

Zone à quartz, à silicification

Tuf fin vert, compact

Roche quartzo feldspathique vert jaune clair

Roche schisteuse silicifiée, verte

Veine de quartz-encaissant (ép. 65cm)

Veine de quartz translucide (ép. 28cm)

Roche (quartzo) feldspathique verte translucide porphyrique (plagioclase)

Plagioclase porphyrique verte quartzo-feldspathique

110.90
111.30
111.50-111.78
Veine de quartz compact, translucide

129.30
129.50-129.82
130.10
131.05-131.25
Réseau de veinules (stockwork) (ép. 15cm)

Veine de quartz (ép. 4cm)

Veine de quartz (ép. 6cm)

Veine de quartz-encaissant (ép. 5cm)

Plagioclase porphyrique verte quartzo-feldspathique

150.24
152.30
Réseau de veinules à quartz translucide (ép. 7cm)

Réseau de veinules à quartz blanc translucide (ép. 37cm)

Veine de quartz (ép. 2cm)

Zone à réseaux de quartz translucide

← 9970 SWA-7 STR-7

← 10930 SXR-14

← 11120 SPQ-7

← 11230 SXR-15

